

## بررسی زمین‌شیمی عناصر اصلی، کمیاب و خاکی نادر در پهنه‌های دگرسانی و کانه‌زایی گرمابی منطقه تازه‌کند، شمال شرق زنجان

زهره جبارزاده\*، کمال سیاه‌چشم، علی‌اصغر کلاگری

گروه علوم زمین، دانشکده علوم طبیعی، دانشگاه تبریز، تبریز، ایران

(دریافت مقاله: ۱۴۰۳/۱/۱۵، نسخه نهایی: ۱۴۰۳/۳/۶)

**چکیده:** گستره معدنی تازه‌کند به عنوان بخشی از کمربند فلززایی طارم- هشتجین در ۴۵ کیلومتری شمال شرق شهرستان زنجان، شمال غرب ایران واقع است. بر پایه بررسی‌های صحرایی، سنگ‌نگاری و زمین‌شیمی، ترکیب سنگ‌شناسی توده‌های نفوذی آن از کوارتزمونزونیت، مونزونیت، مونزودیوریت تا گابرویدیوریت متغیر است و ترکیب واحدهای آتشفشانی آن در گستره تراکی آندزیت، آندزیت تا آندزیت بازالتی قرار دارد. رسم نمودارهای شاخص دگرسانی ایشیکاوا (AI)، شاخص کلریت-کرنات-پیریت (CCPI) به نام نمودار جعبه‌ای دگرسانی و شاخص دگرسانی شیمیایی (CIA)، انواع اصلی دگرسانی‌ها و شدت آنها را در این منطقه نشان داده است. بررسی تهی‌شدگی و غنی‌شدگی عناصر با توجه به عامل غنی‌شدگی در پهنه‌های دگرسانی و کانه‌زایی نشان دهنده نقش دمای بالا و pH پایین محلول‌های دگرسان کننده بوده که عامل مهمی در تجزیه کانی‌هایی چون پلاژیوکلاز، فلدسپار قلیایی و کانی‌های فرومنیزین و خروج اکسیدهای  $\text{K}_2\text{O}$ ،  $\text{Na}_2\text{O}$  و  $\text{CaO}$  است. الگوی کلی توزیع عناصر خاکی نادر (REE) به هنجار شده نسبت به کندریت و گوشته اولیه در توده‌های نفوذی و واحدهای آتشفشانی دگرسان شده و به نسبت سالم (به عنوان سنگ‌های میزبان) یک شیب منفی مشخص و غنی‌شدگی از عناصر خاکی نادر سبک (LREE) و عناصر سنگ دوست درشت یون (LILE) و تهی‌شدگی از عناصر خاکی نادر سنگین (HREE) و عناصر با شدت میدان بالا (HFSE) طی فرآیند دگرسانی را نشان می‌دهد. بی‌هنجاری‌های  $\text{Ce}$ ،  $\text{Eu}$  و  $(\text{Pr}/\text{Pr}^* \text{ و } \text{Ce}/\text{Ce}^* \text{ و } \text{Eu}/\text{Eu}^*)$  در کانسنگ‌ها به همراه سنگ میزبان سالم و دگرسان شده بررسی شده‌اند. از بررسی تغییرات عناصر خاکی نادر و الگوی توزیع بهنجار شده آن‌ها می‌توان گفت که هر نوع دگرسانی شرایط فیزیکوشیمیایی ویژه خود را داشته که ناشی از عملکرد تزریق چند باره سیال گرمابی طی هر دو فرآیند درونزاد و برونزاد است. فرآیندهای درونزاد نسبت به فرآیندهای برونزاد نقش بسیار مهم و برجسته‌ای در گسترش و تکامل پهنه‌های دگرسانی گستره معدنی تازه‌کند داشته‌اند.

**واژه‌های کلیدی:** زمین‌شیمی؛ عناصر خاکی نادر؛ عامل غنی‌شدگی؛ شاخص دگرسانی گرمابی؛ بی‌هنجاری  $\text{Ce}$  و  $\text{Eu}$ ؛ تازه‌کند؛ زنجان.

### مقدمه

کانیایی و زمین‌شیمیایی است [۲]. شناسایی رابطه بین کانی‌شناسی، زمین‌شیمی و شدت دگرسانی در سامانه‌های دگرسانی دارای منطقه‌بندی به عنوان ابزاری سودمند برای پی‌جویی این کانسارها به کار می‌رود [۳]. از آنجا که این دگرسانی‌ها با تغییرات کانی‌شناسی، شیمیایی و بافتی سنگ دیواره مشخص می‌شوند، کانی‌های گرمابی متنوع در این پهنه‌های دگرسانی

کانسارهای گرمابی از مهم‌ترین انواع کانسارها هستند که درصد بسیار بالا از فلزهایی چون سرب، روی، مولیبدن، نقره، مس، طلا و اورانیوم مورد نیاز جهان را تأمین می‌کنند [۱]. یکی از موضوع‌های جالب توجه در این کانسارها، دگرسانی گرمابی در ارتباط با کانی‌سازی بوده، که به طور معمول دارای منطقه‌بندی

\*نویسنده مسئول، تلفن: ۰۹۱۴۹۳۱۹۱۱۷، پست الکترونیکی: [Zohreh.Jabarzadeh@gmail.com](mailto:Zohreh.Jabarzadeh@gmail.com)

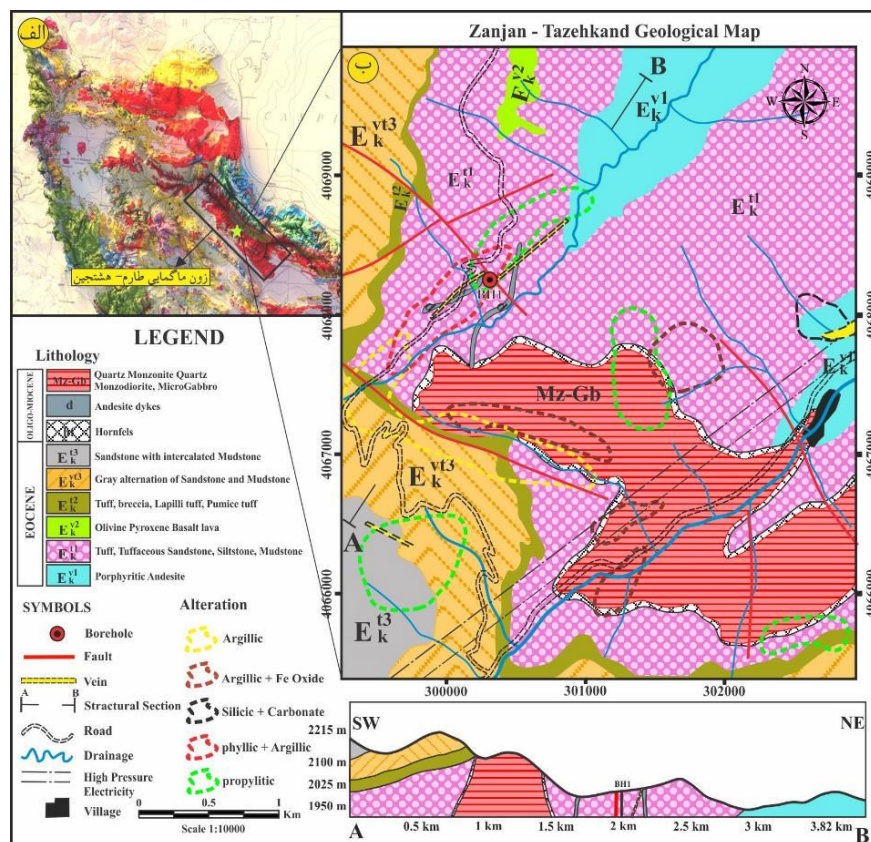
Copyright © 2025 The author(s). This work is licensed under a Creative Commons Attribution-NonCommercial 4.0 International License (<https://creativecommons.org/licenses/by-nc/4.0/>) Non-commercial uses of the work are permitted, provided the original work is properly cited



آباد [۱۰]، چودرچای [۱۱]، مس‌آق‌کند [۱۲] و طلای گلوچه [۱۳] اشاره کرد. گفتنی است که اطلاعات جامع و دقیقی درباره ویژگی‌های زمین‌شیمیایی توده‌های نفوذی گستره تازه-کند بر پایه یافته‌های زیر سطحی وجود ندارد و همچنین تاکنون اثر دگرسانی‌ها بر رفتار و چگونگی توزیع عناصر خاکی نادر بررسی نشده است. از اینرو در این پژوهش، بر پایه بازدیدهای صحرایی و بررسی‌های آزمایشگاهی (سنگ‌نگاری، کانه‌نگاری، محاسبه تغییرات جرم عناصر و ضریب همبستگی پیرسون)، زمین‌شیمی اکسیدهای اصلی، عناصر فرعی، کمیاب و خاکی نادر در پهنه‌های دگرسانی در مقایسه با سنگ‌های به نسبت سالم و شرایط فیزیکوشیمیایی سیال مسئول دگرسانی و کانی‌سازی، شدت دگرسانی و نوع فرآیندهای درونزاد و برونزاد در گسترش سامانه گرمایی دگرسان کننده بررسی شده‌اند. همچنین نقش کانی‌ها و عوامل مختلف زمین‌شیمیایی در تحرک، توزیع و تمرکز عناصر خاکی نادر و دلایل رخداد بی-هنجاری‌های Eu و Ce طی فرآیند دگرسانی گستره معدنی تازه‌کند بررسی شده است.

که اغلب به تغییرات دما و pH حساس هستند [۴] می‌توانند اطلاعات مفیدی درباره ویژگی‌های فیزیکوشیمیایی سیال گرمایی فراهم نمایند [۵]. برای درک بهتر دگرسانی گرمایی و شدت آن می‌توان افزون بر بررسی‌های کانی‌شناسی از یافته‌های زمین‌شیمیایی نمونه‌های دگرسان شده سنگ میزبان و نمودار جعبه‌ای دگرسانی استفاده کرد [۶].

کمربند فلززائی طارم-هشتجین از گستره‌های مهم فعالیت ماگمایی-فلززایی در ایران بوده و گستره معدنی تازه‌کند به عنوان بخشی از کمربند فلززائی طارم-هشتجین با مختصات جغرافیایی  $58^{\circ}45'48''$  طول شرقی و  $36^{\circ}44'29''$  عرض شمالی در ۴۵ کیلومتری شمال‌شرق شهرستان زنجان واقع است (شکل ۱ الف). پهنه ماگمایی طارم-هشتجین میزبان بسیاری از کانسارهای فراگرمایی چندفلزی و Au-Ag در ارتباط با توده‌های نفوذی الیگوسن و واحدهای آتشفشانی-رسوبی ائوسن (معادل سازند کرج) [۷، ۸] است. از کانسارها و رخدادهای مهم موجود در این پهنه می‌توان به کانسار آهن-آپاتیت‌دار مروارید [۷]، مس-طلای رشت‌آباد [۹]، مس‌علی-



شکل ۱ الف) نقشه پهنه‌های ساختاری شمال‌غرب ایران و جایگاه کمربند ماگمایی طارم-هشتجین [۷، ۸]، ب) نقشه زمین‌شناسی تهیه شده با مقیاس ۱:۱۰۰۰۰ برای منطقه تازه‌کند به همراه برونزد پهنه‌های دگرسانی برگرفته از مرجع [۱۴].

## روش پژوهش

به منظور بررسی ماهیت زمین‌شیمیایی دگرسانی‌ها و اکسیدهای اصلی، عناصر فرعی، کمیاب و خاکی نادر توده‌های نفوذی و واحدهای آتشفشانی، بررسی‌ها در دو بخش صحرایی و آزمایشگاهی انجام شد. در بخش صحرایی، زمین‌شناسی منطقه، دگرسانی‌های گرمابی و کانه‌زایی بررسی گردید و نمونه‌برداری اصولی از رگه‌های دربردارنده کانه‌زایی، پهنه‌های دگرسانی و سنگ دیواره سالم و کمتر دگرسان شده سطحی و مغزه‌های حفاری برآمده از یک حلقه گمانه به عمق ۴۷۱ متر انجام شد. در بخش آزمایشگاهی، ویژگی‌های بافتی و کانی‌شناسی به روش مرسوم میکروسکوپی بر روی ۱۳ مقطع صیقلی، ۲۲ مقطع نازک و ۳۲ مقطع نازک صیقلی بررسی شد. برای تعیین فازهای کانیایی غیر قابل تشخیص در پهنه‌های دگرسانی، تعداد ۶ نمونه سطحی و ۵ نمونه زیرسطحی به روش پراش پرتو ایکس (XRD) در مرکز تحقیقات و فرآوری مواد معدنی ایران بررسی شدند. به منظور پی‌جویی‌های زمین‌شیمیایی و بررسی تغییرات اکسیدهای اصلی، عناصر فرعی، جزئی و خاکی نادر، تعداد ۹ نمونه سطحی و ۸۱ نمونه زیرسطحی به روش طیف-سنجی فلورسانس پرتو ایکس (XRF) و طیف سنجی نشری پلاسما جفت شده القایی (ICP-ES) در آزمایشگاه زراآما و مرکز تحقیقات و فرآوری مواد معدنی ایران تجزیه شیمیایی شدند (جدول ۱). نمودارهای مختلف زمین‌شیمیایی با نرم-افزارهای GCDKit، کورل و اکسل ترسیم و تحلیل شدند.

## بحث و بررسی

## زمین‌شناسی گستره تازه کند

توده‌های نفوذی در مرکز تا جنوب شرق گستره معدنی تازه‌کند رخنمون دارند [۱۴]. فعالیت‌های ماگمایی در این گستره به طور عمده شامل مجموعه‌ای از توده‌های نفوذی با ترکیب سنگ‌شناسی کوارتز مونزونیت، مونزونیت، مونزودیوریت تا گابرویدیوریت به سن الیگومیوسن هستند که بر واحدهای آتشفشانی-رسوبی ائوسن اثر گذاشته و آن‌ها را قطع کرده‌اند. پنج واحد سنگی آتشفشانی و آذرآواری ائوسن به ترتیب کاهش سن شامل واحد  $E_k^{v1}$  (گدازه‌های آندزیتی با بافت پورفیری)، واحد  $E_k^{t1}$  (توف بلوری، توف سنگی بلوری و خاکستر توف)، واحد  $E_k^{t2}$  (شامل توف برشی، توف پامیسی و توف جوش خورده در بخش زیرین و توف سنگی، توف بلوری و خاکستر توف در بخش بالا)، واحد  $E_k^{v13}$  (تناوب گدازه‌های آندزیتی و آندزیت بازالتی با بافت پورفیری و توف‌های حدواسط با میان لایه‌هایی از ماسه‌سنگ، لای‌سنگ و گل‌سنگ) و واحد  $E_k^{t3}$

(ماسه سنگ، لای‌سنگ، ماسه سنگ توفی) هستند [۱۰] (شکل ۱ ب).

بر اساس بررسی‌های سنگ‌شناسی، پلاژیوکلاز، فلدسپار قلیایی و کوارتز از کانی‌های اصلی ریزکوارتز مونزونیت هستند که با کانی‌های فرعی چون بیوتیت، هورنبلند و کانی‌های کدر همراهی می‌شوند. همچنین پلاژیوکلاز و فلدسپار قلیایی از کانی‌های اصلی مونزودیوریت و گابرویدیوریت هستند که با کانی‌های فرعی چون الیون، پیروکسن، هورنبلند، کوارتز و کانی‌های کدر همراهی می‌شوند. پلاژیوکلاز، کوارتز، فلدسپار قلیایی و کانی‌های فرومنیزین (کاملاً دگرسان) در خمیره شیشه‌ای از کانی‌های اصلی لاتیت آندزیت، تراکی آندزیت و آندزیت حضور دارند. بافت‌های پورفیری، دانه‌ای، ریز بین‌دانه ای، شعاعی، جانشینی، برونرستی، انتشاری، رگه-رگچه‌ای، داربستی و برشی از جمله بافت‌های همراه با توده‌های نفوذی و واحدهای آتشفشانی گستره معدنی تازه‌کند هستند (شکل‌های ۲ الف و ب). سیال‌های ماگمایی-گرمابی برآمده از توده‌های نفوذی در گستره تازه‌کند مسئول کانه‌زایی و دگرسانی‌های گرمابی در این منطقه هستند. دگرسانی در این منطقه گسترش سطحی متوسط و عمقی به نسبت بالایی دارند و غالب واحدهای سنگی منطقه را دچار کرده و تغییرات شیمیایی و کانی‌شناسی گسترده‌ای در آن‌ها ایجاد کرده است. بررسی‌های بافتی و کانی‌شناسی در این منطقه نشان دهنده دگرسانی گرمابی به دو صورت جانشینی درون کانی‌های پیشین (شکل ۲ پ) و نهشت مستقیم در فضاهای خالی و شکستگی‌هاست. کانی‌های کوارتز، سریسیت، اپیدوت، کلریت، کلسیت، آلونیت، دیکیت، مونتموریلونیت، ایلیت، انیدریت، سنگ گچ، کریستوبالیت و اکسیدها و هیدرواکسیدهای آهن و منگنز از مهم‌ترین کانی‌های ثانویه شناسایی شده در مجموعه‌های دگرسانی هستند (جدول ۲) که به صورت دگرسانی‌های درونزاد کلریت-سریسیت (شکل ۲ ت)، فیلک (شکل ۲ ث)، پروپلیتیک (شکل ۲ ج)، کربناتی، آرژیلیک پیشرفته و متوسط، سیلیسی و برونزاد اکسید و هیدرواکسیدهای آهن در منطقه تظاهر یافته‌اند. کانه‌های تشکیل دهنده کانسنگ‌ها در گستره معدنی تازه‌کند در ۳ دسته شامل کانی‌های سولفیدی (پیریت، کالکوپیریت، گالن، بورنیت، کالکوسیت و کوولیت، شکل‌های ۲ چ و ح)، کربنات‌ها (مالاکیت و آزوریت) و اکسیدها و هیدرواکسیدهای آهن (مگنتیت، هماتیت، اسپیکولاریت، شکل ۲ خ، گوتیت و لیمونیت) قرار می‌گیرند.

جدول ۱ نتایج تجزیه اکسیدهای عنصر اصلی، فرعی و کمیاب توده‌های نفوذی و واحدهای آتشفشانی گستره معدنی تازه‌کند به روش‌های XRF بر حسب درصد و ICP-MS بر حسب ppm، که ۹ نمونه اول سطحی و ۸۱ نمونه زیرسطحی همراه با عمق مشخص شده‌اند (در سرب‌برگ نمونه‌ها علامت × نشانگر توده نفوذی دیوریتی سالم و ×× نشانگر واحد آندزیتی سالم است).

Sample	S-TZK-11	*S-TZK-13	S-TZK-06	S-TZ-T2-1	S-TAK-Si	S-TZK-04	S-TZK-07	S-TZK-14	S-TZ-2-1	BH1-060-070	BH1-070-073	BH1-073-076	BH1-076-079	BH1-079-082	BH1-082-085	BH1-085-088	BH1-088-091	BH1-091-094
SiO <sub>2</sub>	۷۳.۵۳	۴۹.۶۴	۴۹.۸۸	۵۱.۰۸	۸۳.۲۸	۶۲.۹۵	۷۴.۰۱	۶۶.۲	۷۰.۴۳	۵۳.۷۴	۵۳.۱۷	۵۳.۱۶	۵۳.۷۷	۵۳.۳۷	۵۱.۵۸	۵۳.۵۲	۵۱.۵۸	۵۲.۷۷
Al <sub>2</sub> O <sub>3</sub>	۱۲.۷	۱۵.۵۳	۱۵.۹۹	۱۴.۰۲	۶.۹۲	۱۴.۷۶	۱۳.۸۹	۱۲.۳۴	۱۴.۱۶	۱۴.۹۷	۱۴.۵۱	۱۴.۶۳	۱۵.۳۸	۱۵.۰۶	۱۴.۳۴	۱۴.۵۹	۱۴.۲	۱۵.۲۹
BaO	۰.۰۱	۰.۰۵	۰.۰۵	۰.۰۶	۰.۰۳	۰.۰۵	۰.۰۸	۰.۰۷	۰.۰۳	۰.۰۸	۰.۰۷	۰.۰۸	۰.۰۹	۰.۰۸	۰.۰۵	۰.۰۸	۰.۱	۰.۰۶
CaO	۰.۳۲	۶.۶۵	۷.۶۷	۴.۵۳	۰.۲۵	۰.۵۳	۰.۲۷	۲.۷۱	۰.۵۷	۱.۵۳	۱.۳۴	۱.۲۲	۱.۰۱	۱.۰۷	۴.۲۵	۱.۱۷	۱.۳۱	۳.۰۳
Fe <sub>2</sub> O <sub>3</sub>	۳.۴۲	۶.۷۲	۷.۸۲	۵.۱۹	۱.۸۳	۹.۲۵	۳.۱	۵.۶	۶.۱	۱۳.۱۴	۱۵.۱۵	۱۴.۵۳	۱۳.۶۶	۱۴.۱۹	۱۱.۵۳	۱۴.۹۵	۱۶.۰۱	۱۱.۶۴
K <sub>2</sub> O	۳.۰۴	۲.۴۳	۲.۲۴	۳.۶۵	۲.۴۶	۲.۴۶	۴.۶۵	۳.۴	۳.۶۹	۲.۰۴	۲.۲۱	۲.۹۶	۳.۵۳	۲.۹۹	۲.۰۶	۲.۵۹	۲.۹۸	۲.۱۷
MgO	۰.۸۸	۳.۷	۴.۶۹	۳.۷۲	۰.۳۴	۲.۲۸	۱.۰۳	۱.۷۸	۰.۹۰	۴.۱۳	۴.۶۱	۴.۲	۴.۱۲	۴.۷۶	۵.۴۱	۳.۸۳	۳.۴۴	۴.۷۵
MnO	۰.۰۱	۰.۱۲	۰.۱۱	۰.۱۲	۰.۰۷	۰.۱۴	۰.۰۲	۰.۳۷	۰.۰۸	۰.۵	۰.۵۵	۰.۵۳	۰.۵۱	۰.۵۷	۰.۴۴	۰.۴۴	۰.۴۲	۰.۵۴
Na <sub>2</sub> O	۰.۴۴	۳.۱۱	۲.۷۸	۲.۸۴	۰.۲	۴.۰۲	۱.۶۶	۱.۹۷	۱.۲۱	۲.۵۸	۳.۰۶	۲.۷۷	۲.۴۴	۲.۷۵	۳.۱۲	۳.۱۲	۳.۰۳	۳.۱۲
P <sub>2</sub> O <sub>5</sub>	۰.۰۲	۰.۲۱	۰.۲۳	۰.۱۸	۰.۰۹	۰.۲۹	۰.۱	۰.۲۲	۰.۱۱	۰.۲۶	۰.۲۳	۰.۲۵	۰.۲۵	۰.۲۴	۰.۲۵	۰.۲۴	۰.۲۵	۰.۲۵
SO <sub>3</sub>	۰.۱	۰.۲۷	۰.۱۶	۰.۲۵	۰.۰۵	۱.۶۹	۰.۰۵	۱.۶۴	۰.۸۴	۰.۷۳	۰.۱۸	۰.۸۴	۰.۴۲	۰.۲۷	۰.۱	۱.۰۳	۱.۹۷	۰.۱۷
TiO <sub>2</sub>	۰.۲۵	۰.۶۳	۰.۷۷	۰.۵۳	۰.۲۴	۰.۶۲	۰.۳	۰.۷۵	۰.۸۲	۰.۸۷	۰.۹۴	۰.۸۳	۰.۸۵	۰.۸۳	۰.۸۱	۰.۷۸	۰.۷۸	۰.۸۵
مواد فرار (L.O.I)	۲.۵	۸.۹۱	۶.۷۷	۱۱.۷۵	۴.۳۸	۰.۰۷	۰.۹۸	۲.۹۱	۱.۰۳	۴.۲۳	۳.۹۳	۴	۳.۹۶	۳.۷۲	۵.۷۹	۳.۶۳	۳.۹۱	۳.۳۵
مجموع %	۹۹.۲۳	۹۷.۹۸	۹۹.۱۴	۹۹.۹۵	۱۰۰	۱۰۰	۱۰۰	۹۹.۹۷	۹۹.۹۰	۹۹.۹۰	۹۹.۹۵	۱۰۰	۹۹.۹۹	۱۰۰	۹۹.۹۸	۱۰۰	۹۹.۹۸	۱۰۰
Ag	۱	۰.۵	۳.۰۴	۰.۵	۱.۲	۰.۵	۰.۶	۰.۹	۵.۵	۳.۵	۲.۵	۱.۳	۱	۱	۰.۴	۰.۸۰	۱.۶	۰.۷۰
As	۵.۳۹	۲۱.۵۳	۱۳.۶۲	۹.۱	۲۲.۹	۰.۱	۱۷.۳	۸.۶	۵.۶۷۲	۸.۴۳۰	۲۱.۳	۱۱.۱	۷.۴	۶	۰.۴	۴.۱	۹	۵
Ba	۱۲.۱۶	۴۶.۱۳	۴۶.۰۷	۵۲.۲۵	۳۴.۹	۴۵.۵	۷۱.۰	۶۳.۵	۲۷.۴۹	۶۰.۶	۵۲.۸	۶۵.۲	۷۲.۷	۶۲.۱	۴۱.۴	۵۶.۰	۷۶.۱	۴۱.۸
Be	۰.۵۵	۰.۴۶	۰.۵۸	۰.۲۲	۱.۱	۱.۳	۱.۵	۱.۲	۰.۷۳	۱.۴	۱.۸	۱.۵	۱.۳	۱.۳	۱.۴	۱.۴	۱.۱	۱.۳
Bi	۰.۹	۰.۵	۰.۳	۰.۴	۱.۳	۰.۷	۰.۳	۰.۵	۱.۴۸	۰.۸	۰.۵	۰.۶	۰.۵	۰.۶	۰.۶	۰.۷۰	۰.۷۰	۰.۶۰
Cd	۰.۱	۰.۱	۰.۱	۰.۱	۰.۲	۰.۶	۰.۱	۰.۱	۰.۱	۰.۹	۰.۱	۰.۱	۰.۱	۰.۱	۰.۱	۰.۲۲	۰.۱۰	۰.۱۰
Ce	۱.۶۹	۱۷.۸۳	۱۸.۲۸	۱۸.۵	۸.۳	۲.۸	۴.۲	۴.۳	۹.۳۱	۳.۴	۳.۸	۴.۲	۴.۶	۳.۹	۳.۹	۳.۲	۳.۱	۳.۸
Co	۶.۶۴	۲۴.۲۲	۳۰.۴۴	۲۱.۴۵	۳.۱	۸	۲.۶	۱.۶۲	۱۲.۵۴	۴.۱۱	۲۷.۲	۴۲.۲	۲۷.۸	۲۱.۳	۲۵.۱	۴۰	۵۵.۵	۱۹.۵
Cr	۱۷.۱۶	۴۰.۹۵	۲۸.۷۸	۵۲.۴۸	۱۶	۲.۸	۲.۳	۳.۴	۲۹.۴	۶.۷	۶.۱	۵.۳	۶.۰	۷.۷	۱۲.۵	۹.۱	۸.۷	۷.۹
Cs	۰.۹۷	۱.۲	۰.۹	۱.۵	۲.۲	۲.۸	۵.۲	۶.۱	۳.۵۶	۳.۴	۲.۸	۳.۴	۴.۰	۳.۶	۴.۳	۳	۲.۱	۴.۵
Cu	۳.۵۷	۱۰.۵۳	۱۳.۸۶	۸.۲	۹.۴	۷.۴۳	۶.۳	۸.۲۵۵	۷.۴۳۸	۱.۱	۳.۲۴	۵.۶۶	۵.۵۱	۷.۰۳	۸	۱۳.۵۶	۱۸.۹۴	۴.۴۸
Dy	۰.۸۵	۱.۶۹	۱.۹۲	۱.۵۵	۴.۰۳	۱.۷۸	۲.۵۶	۳.۹۹	۰.۹۳	۳.۷۳	۳.۸۷	۳.۴۷	۳.۴۴	0.۷۳	۳.۶۹	۳	۲.۷۵	۳.۲۲
Er	۰.۷۲	۱.۰۷	۱.۲۳	۰.۹	۰.۹۹	۰.۹	۱.۶۱	۲.۲۱	۰.۸۳	۱.۹۶	۲.۰۲	۱.۷۷	۱.۷۵	۱.۶۸	۱.۸۹	۱.۴۶	۱.۳۹	۱.۷
Eu	۰.۳۴	۰.۹	۰.۸۵	۰.۹	۱.۴	۰.۵	۰.۴۷	۰.۴۹	۰.۵۴	۰.۹۹	۰.۸۷	۰.۹۷	۰.۹۷	۰.۸۰	۱.۰۱	۰.۸۱	۰.۸۶	۰.۹۰
Gd	۰.۹	۱.۷۷	۱.۸۳	۱.۵۴	۳.۹۵	۱.۲۲	۱.۹۸	۳.۶۸	۱.۲	۳.۴۲	۳.۵۵	۳.۲۹	۳.۲	۳.۰۲	۳.۳۷	۳.۷۴	۳.۴۵	۳.۰۳
Hf	۰.۴	۲.۰۱	۱.۶۲	۱.۶	۱.۳۳	۰.۸۳	۳.۱۵	۳.۱۵	۱.۲۴	۱.۲۲	۱.۳	۱.۱۵	۱.۶۴	۱.۲۹	۱.۲۲	۰.۶۶	۱.۳۴	۱.۴۴
La	۱.۸	۶.۸۶	۶.۶۷	۷.۲۴	۴.۷	۱.۴	۲.۷	۲.۴	۱۳.۵۴	۱.۷	۱.۸	۲.۰	۲.۲	۱.۸	۱.۷	۱.۷	۱.۶	۱.۸
Li	۱۱.۱	۱۲.۴۳	۱۰.۴۵	۱۲.۹۱	۳.۶	۲.۳	۲.۲	۲.۵	۱۷.۵۷	۴.۱	۴.۱	۳.۸	۳.۶	۳.۸	۳.۶	۳.۰	۳.۲	۳.۶
Lu	۰.۲۱	۰.۳۵	۰.۴۵	۰.۴۹	۰.۱۱	۰.۱۲	۰.۳	۰.۲۷	۰.۱۶	۰.۲۳	۰.۲۳	۰.۱۹	۰.۱۹	۰.۱۹	۰.۲۳	۰.۱۴	۰.۱۸	۰.۲
Mo	۱.۵	۱.۳۱	۱	۱.۴	۱۱.۵	۱.۱	۱.۶	۰.۵	۳.۴۶	۱۵.۲	۰.۵	۰.۱	۰.۱	۰.۱	۰.۱	۰.۵۹	۰.۱	۰.۱
Nb	۴.۵۲	۴.۱۳	۳.۷۳	۵.۶۲	۷	۹.۹	۱۳.۱	۱۵.۲	۶.۱۳	۱.۰۳	۱۱.۸	۱۰.۵	۱۰.۳	۱۰.۵	۹.۳	۸.۷	۸.۴	۹.۷
Nd	۴.۵۶	۱۱.۲۴	۱۱.۰۶	۱۱.۱۳	۳.۶۴	۸.۵	۱۵.۷	۱۹.۹	۵.۷۲	۱.۴۶	۱۵.۱	۱۶.۸	۱۸.۲	۱۹.۹	۱۴.۵	۱۳.۱	۱۲.۹	۱۶.۹
Ni	۱۰.۹۸	۱۷.۰۴	۲۰.۷۱	۱۷.۸۷	۳	۲	۱۷	۹	۱۰.۱۷	۲.۵	۲.۰	۲.۱	۲.۲	۲.۷	۴.۶	۲.۴	۲.۷	۲.۵
Pb	۱۶.۲۷	۳۲.۵۷	۷.۴۳	۹.۵۶	۲.۴۴	۲.۰۱	۱.۶	۱.۰	۱۱.۱۹	۳.۶۴	۸.۱	۳.۸	۲.۶	۲.۴	۲.۳	۱.۷	۲.۷	۶.۵
Pr	۳.۵۱	۱.۴۱	۱.۴۷	۱.۴۹	۹.۲۳	۱.۸۹	۴.۱۴	۴.۷۸	۲.۲۵	۳.۲۴	۳.۶۱	۴.۰۱	۴.۴۵	۳.۵۹	۳.۳۶	۳.۰۴	۲.۹۸	۳.۵۱
Rb	۱۰.۵۸	۱۰.۳۶	۹.۰۷	۲۰.۲۵	۱.۰۴	۹.۹	۱.۴۱	۱.۴۷	۶.۱۱۹	۷.۷	۵.۳	۷.۶	۷.۷	۷.۴	۵.۷	۶.۹	۶.۹	۶.۱
Sb	۱.۶	۱.۴۷	۱.۲۳	۱	۵.۲	۱.۲	۱.۱	۹.۵	۷.۰۵	۳.۵	۳.۹	۴	۳.۸	۲.۲	۲.۹	۲	۲.۲	۳.۷
Sc	۱.۸۸	۷.۹۸	۹.۷۷	۶.۴۳	۳.۵	۱۷.۴	۵.۷	۸.۹	۶.۴۳	۲.۲۷	۲.۴۲	۲.۲۵	۲.۲۸	۲.۵۷	۲.۸۴	۲.۰۹	۲.۱۴	۲.۵۳
Sm	۰.۹۳	۱.۶۷	۱.۷۱	۱.۴۹	۰.۰۲	۱.۶۳	۲.۵۵	۳.۹	۰.۹۶	۳.۶۳	۳.۶۲	۳.۷۲	۳.۹۳	۳.۴۵	۳.۵۹	۳.۱۲	۳.۰۱	۳.۴۱
Sn	۱.۱۳	۰.۶	۰.۵	۰.۸	۱.۲	۱.۳	۱.۳	۱.۴	۱.۳۷	۱.۵	۱.۳	۱.۲	۱.۲	۱.۲	۱.۲	۱.۲	۱.۳	۱.۲
Sr	۱۶.۰۸	۴۲.۴۰۴	۴۰.۴۷۲	۳۱.۴۰۳	۲.۷۶	۱۱.۰۲	۶.۷۲	۱۱.۲۳	۱۵.۲۴۴	۱۰.۱۴	۹.۵۲	۹.۶۱	۱۰.۴۶	۱۲.۰۲	۱۶.۱۴	۱۱.۱	۸.۴۳	۱۰.۳۵
Ta	۰.۴۸	۰.۵	۰.۸	۰.۹	۰.۵۲	۰.۶۷	۰.۸۶	۰.۸۵	۰.۶۷	۰.۷۱	۰.۷۸	۰.۷	۰.۶۸	۰.۷۱	۰.۶۴	۰.۵۶	۰.۶۰	۰.۶۲
Tb	۰.۴۵	۰.۴۲	۰.۴۶	۰.۵۳														

ادامه جدول ۱

Sample	BH1-094-097	BH1-097-100	BH1-100-103	BH1-103-106	BH1-106-109	BH1-109-112	BH1-112-115	BH1-115-118	BH1-118-121	BH1-121-124	BH1-124-127	BH1-127-130	BH1-130-133	BH1-133-136	BH1-141-146	BH1-146-151	BH1-151-154	BH1-154-157
SiO <sub>2</sub>	۵۲.۷۹	۵۱.۸۲	۴۹.۳۵	۵۲.۲۴	۵۲.۷۵	۵۵.۸۲	۵۳.۵۹	۵۴.۲	۵۶.۵۶	۵۳.۴۴	۵۵.۰۶	۵۵.۳۱	۵۵.۴	۵۵.۲۵	۶۳.۹۶	۶۴.۳۴	۶۲.۳	۶۲.۱۹
Al <sub>2</sub> O <sub>3</sub>	۱۵.۲۱	۱۴.۷۱	۱۳.۷۵	۱۴.۸۹	۱۵.۴۴	۱۶.۱۷	۱۴.۹۵	۱۵.۸۲	۱۵.۷۷	۱۵.۲۹	۱۵.۷۱	۱۵.۱۳	۱۵.۰۴	۱۵.۸۳	۱۴.۹۲	۱۵.۰۷	۱۵.۴۹	۱۱.۹۴
BaO	۰.۰۵	۰.۰۵	۰.۰۵	۰.۰۵	۰.۰۵	۰.۰۵	۰.۰۵	۰.۰۵	۰.۰۵	۰.۰۵	۰.۰۹	۰.۰۵	۰.۰۵	۰.۰۵	۰.۰۷	۰.۰۸	۰.۰۸	۰.۰۷
CaO	۱.۴۶	۱.۸۳	۱.۲۴	۲.۲۶	۵.۵۴	۱.۵۱	۱.۱۲	۱.۶	۳.۲۱	۴.۵۸	۲.۷۷	۲.۳۶	۱.۴۵	۴.۰۳	۱.۷۴	۲.۰۵	۱.۸۷	۱.۱۹
Fe <sub>2</sub> O <sub>3</sub>	۱۴.۷۷	۱۶.۸۸	۱۷.۸۹	۱۳.۵۱	۸.۴۶	۱۰.۴۹	۱۳.۸۷	۱۳.۵۵	۹.۱۲	۹.۵۵	۹.۳۱	۱۰.۸۶	۱۳.۶۹	۸.۹۲	۵.۷۳	۵.۱۸	۵.۹۴	۱۱.۱۹
K <sub>2</sub> O	۲.۱۹	۲	۰.۹۲	۰.۷۷	۱.۶۴	۱.۵۳	۱.۱۲	۱.۵۸	۰.۹۳	۲.۲۱	۲.۱۳	۲.۱۵	۲.۰۶	۲.۹۶	۴.۸	۴.۸۵	۵.۱۷	۳.۷۸
MgO	۴.۳۳	۳.۴۴	۴.۸۹	۴.۷۲	۴.۱	۴.۳۸	۴.۳۳	۳.۵۴	۳.۸۱	۴.۱۴	۳.۵	۳.۴۸	۲.۵۵	۳.۴۷	۱.۹۲	۱.۹۱	۱.۸۸	۱.۶۳
MnO	۰.۵۱	۰.۴۵	۰.۵۴	۰.۵۷	۰.۴۳	۰.۳۳	۰.۴۱	۰.۳۶	۰.۴	۰.۳۶	۰.۳۱	۰.۳۸	۰.۲۵	۰.۲۹	۰.۲۲	۰.۲۱	۰.۲۱	۰.۲۳
Na <sub>2</sub> O	۲.۷۴	۲.۶۲	۲.۴۳	۲.۷۱	۲.۳۱	۲.۱۷	۲.۰۳	۲.۶۴	۴.۳۶	۳.۵۶	۳.۷۷	۳.۵	۳.۰۹	۳.۳۵	۲.۴	۲.۵۶	۲.۵۱	۲.۵۹
P <sub>2</sub> O <sub>5</sub>	۰.۳۸	۰.۳۷	۰.۲۴	۰.۲۵	۰.۲۷	۰.۲۲	۰.۲۱	۰.۲۱	۰.۲۱	۰.۲۲	۰.۲۲	۰.۲۰	۰.۲	۰.۱۹	۰.۱۱	۰.۱۲	۰.۱۲	۰.۱۱
SO <sub>3</sub>	۰.۳۷	۰.۴۱	۲.۵۹	۰.۲	۰.۰۸	۰.۸۱	۰.۲۶	۰.۵۵	۰.۲۰	۰.۴۱	۰.۸۱	۱.۱	۰.۹	۰.۵۲	۰.۱۹	۰.۰۵	۰.۵۳	۱.۹۲
TiO <sub>2</sub>	۰.۸۵	۰.۸۲	۰.۸۴	۰.۹۱	۰.۸۸	۰.۹	۰.۹۸	۰.۸۴	۰.۹۱	۰.۹۲	۰.۸۳	۰.۹	۰.۷۶	۰.۷۶	۰.۶۸	۰.۴۹	۰.۵	۰.۲۹
L.O.I	۴.۴۴	۴.۷۲	۵.۲۷	۴.۹۲	۷.۰۳	۴.۶۲	۴.۹۷	۴.۰۶	۴.۴۶	۵.۲۶	۴.۴۸	۴.۵۸	۳.۵۶	۴.۳۸	۲.۴۶	۲.۰۹	۲.۴	۲.۷۷
مجموع %	۹۹.۹۹	۹۹.۹۹	۱۰۰	۱۰۰	۹۹.۹۸	۱۰۰	۹۹.۹۹	۱۰۰	۹۹.۹۹	۹۹.۹۹	۹۹.۹۹	۱۰۰	۱۰۰	۱۰۰	۱۰۰	۱۰۰	۱۰۰	۱۰۰
Ag	۰.۵۰	۰.۴۰	۰.۴۰	۰.۶۰	۰.۴۰	۰.۴۰	۱.۵	۱.۳	۰.۹۰	۰.۶۰	۱	۱.۷	۰.۵	۰.۷	۰.۸	۰.۵	۰.۹	۰.۴۹
As	۶.۸	۶.۵	۶.۶	۵.۴	۳.۷	۲	۲.۷	۱.۸	۵.۸۰	۳.۲۰	۲.۲۰	۲.۷	۳.۸	۵.۱	۲.۹	۳.۹	۴.۴	۳.۴
Ba	۳.۸۴	۱.۷۳	۱.۱۱	۱.۱۲	۱.۱۹۷	۱.۳۳	۱.۸	۱.۲۵	۷.۹	۳.۹۲	۸.۸۵	۵.۰۵	۴.۱۵	۸.۱۹	۶.۱	۷.۳۴	۷.۰۷	۵.۸
Be	۱.۳	۱.۳	۱.۲	۱.۴	۱.۴	۱.۳	۱.۳	۱.۳	۱.۴	۱.۴	۱.۲	۱.۳	۱.۷	۱.۳	۱.۵	۱.۵	۱.۴	۱.۳
Bi	۰.۷۰	۰.۶۰	۰.۷۰	۰.۶۰	۰.۶۰	۱.۵	۱.۱	۱	۰.۵	۰.۵	۰.۵	۰.۵	۰.۵	۷.۸	۰.۴	۰.۴	۰.۷	۰.۷
Cd	۰.۱۰	۰.۱۰	۰.۱۰	۰.۱۰	۰.۱۰	۰.۱۰	۰.۱۰	۰.۱۰	۰.۱۰	۰.۱۰	۰.۱۰	۰.۱۰	۰.۱	۰.۷	۰.۱	۰.۱	۰.۱	۰.۱
Ce	۳.۸	۳.۶	۲.۷	۳.۵	۴.۰	۲.۷	۴.۰	۳.۰	۴.۳	۴.۲	۳.۶	۴.۶	۴.۸	۳.۹	۵.۴	۵.۸	۵.۹	۳.۸
Co	۱۹.۳۰	۲۰.۴	۶۶.۲	۲۱.۴	۱۲.۱	۲۱.۴	۱۸.۸	۱۹.۸	۱۶.۲	۱۸.۷	۱۷.۱	۱۵.۹	۲۲.۵	۲.۴	۱۰.۷	۹.۵	۱۳.۵	۶.۱
Cr	۷.۲	۶.۲	۷.۲	۶.۵	۴.۸	۵.۹	۵.۲	۴.۴	۳.۷	۴.۱	۵.۳	۳.۶	۲.۸	۲.۱	۱.۰	۱.۱	۱.۱	۲.۵
Cs	۴.۵	۵.۱	۳.۷	۵.۱	۷	۵.۶	۴.۸	۴.۱	۴.۸	۴.۵	۳.۸	۴.۲	۴.۶	۶	۲.۷	۲	۲.۲	۲.۲
Cu	۱۱.۰	۱۰.۸	۶.۱	۸.۷	۸	۱۰.۶	۹.۷۱	۱۰.۲۵	۷.۳۵	۱۲.۵۱	۲۸.۲۳	۳۶.۷۳	۳.۹۶	۲۰.۱	۱۹.۰	۵.۱	۱۰.۴۴	۵.۵
Dy	۳.۴۲	۳.۰۸	۴.۰۱	۳.۶۵	۳.۴۲	۲.۳۵	۳.۷۶	۳.۰۳	۳.۳۸	۳.۳۵	۳.۱۶	۴.۶۱	۴.۸۷	۳	۳.۳	۳.۱۵	۳.۱۴	۲.۵۸
Er	۱.۷۴	۱.۶۱	۲.۰۲	۱.۹۳	۱.۷۱	۱.۲۲	۲	۱.۵۶	۱.۶۶	۱.۷۵	۱.۶۶	۱.۹	۱.۶۶	۱.۶۴	۱.۸۸	۱.۷۳	۱.۷۷	۱.۵۲
Eu	۱.۰۴	۰.۷۱	۰.۹۴	۰.۸۸	۰.۹۹	۰.۴۴	۰.۹۸	۰.۶۴	۰.۸۰	۰.۹۸	۰.۸۴	۰.۹	۰.۸۴	۰.۹	۰.۷۶	۰.۷۸	۰.۸۳	۰.۵۳
Gd	۳.۴۳	۲.۸۹	۳.۴۹	۳.۳۸	۳.۲۱	۱.۸۹	۳.۵۸	۲.۵۵	۳.۱۴	۳.۱۹	۲.۷	۳.۴۳	۲.۹۴	۲.۶۶	۲.۷۹	۲.۸۷	۲.۸۵	۱.۸۸
Hf	۱.۱۷	۱.۰۹	۱.۰۴	۱.۰۶	۰.۹۷	۰.۸۱	۱.۱۶	۰.۵۸	۰.۸۳	۱.۴۳	۱.۰۵	۱.۱۴	۰.۷۳	۱.۷۹	۳.۰۴	۲.۷۹	۲.۸۸	۲.۴۷
La	۱۹	۱۷	۱۳	۱۶	۱۸	۱۳	۱۹	۱۳	۲۱	۲۰	۱۷	۲۲	۲۳	۱۸	۲۶	۳۰	۳۰	۲۰
Li	۳.۵	۳.۰	۴.۶	۴.۳	۴.۰	۴.۳	۴.۳	۳.۴	۳.۶	۳.۵	۳.۰	۳.۵	۳.۵	۲.۲	۱.۷	۱.۴	۱.۴	۱.۶
Lu	۰.۲	۰.۱۷	۰.۲۲	۰.۲۲	۰.۱۸	۰.۱۴	۰.۲۳	۰.۱۸	۰.۱۹	۰.۱۹	۰.۱۹	۰.۲۲	۰.۱۷	۰.۲۳	۰.۲۹	۰.۲۵	۰.۲۵	۰.۴۴
Mo	۰.۱	۰.۱	۰.۱	۰.۱	۰.۱	۰.۱	۰.۱	۰.۴	۰.۱	۰.۷	۰.۴	۱	۰.۱	۰.۳	۳.۴	۳.۱	۲.۸	۵.۵
Nb	۹.۱	۱۰.۶	۱۰.۲	۱۰.۹	۱۰.۵	۱۲.۴	۱۱.۸	۱۱.۴	۱۳.۲	۱۱.۶	۱۰.۱	۱۳.۲	۱۳.۹	۹.۷	۱۳	۱۳.۵	۱۲.۹	۱۰.۲
Nd	۱۵.۶	۱۳.۸	۱۲.۲	۱۴.۵	۱۴.۸	۹.۵	۱۶.۷	۱۱.۱	۱۶.۳	۱۵.۶	۱۲.۴	۱۷.۱	۱۷.۴	۱۳	۱۵.۸	۱۶.۷	۱۶.۸	۱۰.۶
Ni	۲.۳	۲.۱	۲.۵	۲.۲	۱.۹	۲.۶	۲.۸	۲.۰	۱.۵	۱.۵	۲.۲	۱.۲	۱.۱	۱.۵	۶	۷	۸	۱.۱
Pb	۲.۸	۳.۸	۳.۴	۴.۸	۲.۵	۱.۹	۶.۴	۱.۳۵	۱.۷	۱.۴	۲.۲	۲.۰	۲.۱	۸.۳	۲.۶	۵.۰	۲.۰	۲.۲
Pr	۳.۵۹	۳.۲۶	۲.۷۲	۳.۲۳	۳.۴۴	۲.۱۸	۳.۹۱	۲.۵۱	۴.۰۳	۳.۷	۲.۹۸	۴.۲۳	۴.۲۴	۳.۱۶	۴.۳۱	۴.۵۷	۴.۶	۲.۸۳
Rb	۶.۸	۷.۱	۳.۸	۲.۷	۵.۷	۵.۶	۴.۱	۵.۸	۲.۹	۵.۳	۶.۲	۵.۲	۹.۲	۷.۹	۱۰.۴	۱۰.۱	۱۰.۲	۸.۸
Sb	۳.۳	۲.۹	۲.۴	۴.۳	۳.۴	۲.۹	۳.۳	۲.۳	۶	۶.۵	۳.۳	۵.۴	۲.۳	۱.۷	۳.۲	۳.۲	۳.۸	۲.۶
Sc	۲.۴۱	۲.۱۸	۲.۲۷	۲.۵۲	۲.۲۶	۲.۰	۲.۴۸	۱.۹۳	۱.۹۸	۲.۰۹	۱.۹۳	۱.۰۲	۱.۶	۱.۹	۱.۰	۱.۰۳	۱.۰۳	۷.۷
Sm	۳.۶۹	۳.۱۷	۳.۳۱	۳.۶۱	۳.۶۳	۲.۲۳	۳.۸۷	۲.۷۱	۳.۵	۳.۴۴	۳.۱۲	۳.۸۴	۳.۶۶	۳.۱۱	۳.۳۳	۳.۴۴	۳.۴۸	۲.۲۸
Sn	۱.۳	۱.۳	۱.۳	۱.۲	۱.۳	۱.۱	۱.۲	۱.۹	۱.۸	۱.۵	۱.۲	۱.۷	۱.۶	۱.۲	۱	۱.۱	۱	۱
Sr	۷.۳۵	۶.۱۲	۴.۴۴	۹.۱۹	۱۱.۵۵	۸.۰۲	۷.۴۷	۸.۲۳	۱۵.۱۲	۱۹.۸۴	۱۴.۰۹	۱۰.۹۵	۴.۸۳	۲۰.۶۱	۱۳.۴۹	۱۵.۸۸	۱۳.۴۹	۷.۵
Ta	۰.۶۵	۰.۶۸	۰.۶۶	۰.۶۸	۰.۶۶	۰.۷۳	۰.۷۴	۰.۷۰	۰.۷۹	۰.۷۴	۰.۶۳	۰.۷۷	۰.۸۱	۰.۶۵	۰.۸۶	۰.۹۸	۰.۸۸	۰.۶۵
Tb	۰.۵۸	۰.۵۳	۰.۶۳	۰.۶	۰.۵۷	۰.۴۲	۰.۶۲	۰.۵۲	۰.۵۶	۰.۵۷	۰.۵۴	۰.۶۱	۰.۵۱	۰.۵۱	۰.۵۴	۰.۵۵	۰.۵۵	۰.۴۴
Te	۰.۱	۰.۱	۰.۲۲	۰.۱	۰.۱	۰.۱۴	۰.۱	۰.۲۱	۰.۱	۰.۱۹	۰.۱	۰.۱۲	۰.۱	۰.۱۲	۰.۱	۰.۱۲	۰.۱۴	۰.۱۵
Th	۲.۸۳	۳.۱	۲.۷۸	۳.۲۱	۲.۸۹	۳.۲۰	۳.۴۲	۳	۳.۷۲	۳.۷	۳.۴۲	۴.۶۳	۴.۳۹	۵.۴۵	۱۴.۳۶	۱۳.۶۹	۱۳.۴۵	۱۱.۴۶
Ti	۵۰.۰۳	۴۷.۹۳	۴۸.۱۹	۵۲.۲۰	۴۸.۶۴	۴۹.۷۴	۵۵.۷۳	۴۷.۱۷	۵۰.۳۶	۵۰.۹۹	۴۷.۰۴	۵۰.۹۲	۴۴.۴۹	۴۳.۹۸	۲۸.۷۶	۲۸.۴۴	۲۸.۳۸	۴۴.۲۷
Tl	۰.۳۷	۰.۳۸	۰.۲۰	۰.۱۴	۰.۲	۰.۳۰	۰.۲۲	۰.۱۸	۰.۲۶	۰.۳۰	۰.۴۱	۰.۲۹	۰.۵۱	۰.۴۸	۰.۴۶	۰.۴۶	۰.۴۹	۰.۴۳
Tm	۰.۲۷	۰.۲۵	۰.۳	۰.۲۹	۰.۲۷	۰.۲۱	۰.۳۱	۰.۲۵	۰.۲۵	۰.۲۷	۰.۲۷	۰.۳	۰.۲۳	۰.۲۷	۰.۳۱	۰.۲۹	۰.۲۸	۰.۲۶
U	۰.۹	۰.۹	۰.۸	۰.۸	۰.۸	۰.۷۵	۱	۰.۷	۰.۹	۱.۱	۱	۱.۱۱	۰.۹	۱.۶	۳.۸	۳.۷	۳.۶	۲.۹
V	۱.۶۲	۱.۵۵	۱.۵۳	۱.۶۵	۱.۶۴	۱.۶۰	۱.۷۷	۱.۴۳	۱.۵۰	۱.۷۷	۱.۳۹	۱.۴۰	۱.۱۷	۱.۵۰	۷.۸	۸.۰	۷.۹	۶.۸
W	۵.۵	۱۳.۲	۱۴.۴	۵.۶	۲.۸	۴.۳	۷.۵	۱۱.۴	۳.۸									

ادامه جدول ۱

Sample	BH1-157-160	BH1-160-163	BH1-163-166	BH1-166-169	BH1-169-172	BH1-172-175	BH1-175-178	BH1-178-181	BH1-181-184	BH1-184-187	BH1-187-190	BH1-190-193	BH1-193-196	BH1-196-199	BH1-199-202	BH1-202-206	BH1-206-210	BH1-210-214
SiO <sub>2</sub>	۵۹,۴۳	۵۲,۲۷	۵۳,۴۵	۵۵,۷۴	۶۳,۸۶	۵۵,۴۷	۵۳,۲۷	۴۹,۶۱	۵۰,۳۵	۵۰,۱۸	۵۰,۱	۵۰,۴	۵۱,۰۸	۴۹,۸۸	۴۹,۶۴	۵۱,۱۸	۵۱,۵۵	۵۰,۹۱
Al <sub>2</sub> O <sub>3</sub>	۱۲,۴۴	۱۵,۷۱	۱۵,۵۸	۱۵,۱۲	۱۴,۹۱	۱۶,۰۳	۱۶,۱۴	۱۶,۲۹	۱۷,۰۲	۱۷,۰۷	۱۶,۵۱	۱۷,۱۰	۱۶,۴۴	۱۵,۹	۱۵,۸	۱۶,۴۱	۱۶,۵۶	۱۶,۴
BaO	۰,۰۷	۰,۱	۰,۰۸	۰,۰۹	۰,۰۷	۰,۰۸	۰,۰۸	۰,۰۸	۰,۰۷	۰,۰۷	۰,۰۸	۰,۰۶	۰,۰۷	۰,۰۶	۰,۰۷	۰,۰۷	۰,۰۵	۰,۰۵
CaO	۱,۸۷	۲,۰۶	۲,۸۶	۱,۹۶	۱,۵۵	۳,۵۵	۳,۷۳	۴,۹۱	۶,۵۱	۶,۸۱	۵,۸۹	۷,۰۷	۳,۷۹	۶,۲۹	۴,۹۵	۶,۷۲	۸,۱۲	۷,۵۲
Fe <sub>2</sub> O <sub>3</sub>	۱۱,۹۱	۱۳,۵۳	۱۱,۸۱	۱۱,۰۶	۶,۲۶	۹,۵۶	۱۰,۰۴	۱۲,۵۸	۱۰,۰۳	۹,۸۳	۱۱,۰۴	۱۰,۴	۱۲,۱۵	۱۲,۱۹	۱۲,۰۸	۹,۹۳	۹,۴۶	۱۰,۰۱
K <sub>2</sub> O	۳,۹۲	۴,۷۵	۳,۸۰	۴,۲۴	۴,۲۳	۳,۹۳	۳,۶۷	۲,۸۹	۲,۷۱	۲,۸۱	۳,۰۲	۲,۴	۳,۲۱	۲,۴۲	۳,۰۴	۲,۵۷	۱,۹۵	۲,۱۹
MgO	۲,۳۵	۴,۰۵	۴,۱۶	۴,۵۳	۲,۰۳	۴	۴,۱۶	۴,۹۴	۵,۱۴	۵,۱۱	۴,۸۷	۴,۵۸	۵,۰۳	۴,۷۵	۴,۷۶	۴,۸۷	۴,۹۱	۴,۵۷
MnO	۰,۳۷	۰,۵۹	۰,۵۸	۰,۵	۰,۲۴	۰,۵۲	۰,۴۷	۰,۶	۰,۵۲	۰,۵۱	۰,۵۶	۰,۴۹	۰,۶۴	۰,۶۴	۰,۶	۰,۴۷	۰,۳۶	۰,۴۶
Na <sub>2</sub> O	۱,۸۳	۱,۲۱	۱,۵۵	۱,۸۵	۳,۳۷	۲,۳۸	۲,۰۳	۲,۰۵	۳,۲۴	۲,۹۴	۲,۱۲	۲,۴۷	۲,۴۳	۱,۷۳	۲,۱۹	۲,۶۸	۲,۹۱	۲,۶۹
P <sub>2</sub> O <sub>5</sub>	۰,۱۲	۰,۱۹	۰,۱۸	۰,۱۷	۰,۱۱	۰,۱۸	۰,۲	۰,۲۱	۰,۲۲	۰,۲۳	۰,۲۰	۰,۲۰	۰,۲۲	۰,۲۲	۰,۲۲	۰,۲۳	۰,۲۱	۰,۲۳
SO <sub>3</sub>	۱,۵	۰,۳۸	۰,۶۴	۰,۶۷	۰,۲۳	۰,۱۹	۰,۲۷	۰,۵۵	۰,۱۵	۰,۱۲	۰,۴۵	۰,۱۵	۰,۲۵	۰,۱۷	۰,۱۷	۰,۱۴	۰,۱	۰,۱۴
TiO <sub>2</sub>	۰,۴۸	۰,۷۴	۰,۷۴	۰,۶۷	۰,۵	۰,۷۳	۰,۷۷	۰,۸۳	۰,۹	۰,۹	۰,۸۲	۰,۸۸	۰,۹۲	۰,۹۲	۰,۸۹	۰,۹۱	۰,۸۹	۰,۹۱
L.O.I	۳,۷	۴,۴۱	۴,۵۷	۳,۳۹	۲,۶۴	۳,۳۸	۴,۶۳	۴,۴۵	۳,۱۴	۳,۴۲	۴,۳۳	۳,۷۹	۳,۹۳	۴,۷۵	۵,۵۹	۳,۸۲	۲,۹۳	۳,۹۲
مجموع %	۹۹,۹۹	۹۹,۹۹	۱۰۰	۹۹,۹۹	۱۰۰	۱۰۰	۹۹,۹۹	۹۹,۹۹	۱۰۰	۱۰۰	۹۹,۹۹	۹۹,۹۹	۱۰۰	۱۰۰	۱۰۰	۱۰۰	۱۰۰	۱۰۰
Ag	۱,۳	۰,۶	۰,۴۷	۰,۴	۰,۹	۰,۷	۱,۳	۰,۷	۰,۳	۰,۳	۰,۷	۰,۴	۰,۷	۰,۵	۰,۶	۰,۳	۰,۲	۰,۵
As	۱,۷	۴,۳	۵,۷	۵,۶	۴,۸	۲,۳	۸,۴	۶,۲	۱۸,۸	۱۱,۵	۱۴	۱۳,۷	۱۵,۸	۵	۱۴,۷	۱۵,۲	۱۴,۸	۱۴,۸
Ba	۹,۵۴	۹,۵۵	۷,۶۰	۷,۴۸	۷,۸۳	۸,۹۳	۶,۵۵	۶,۳۳	۷,۵۱	۶,۸۹	۵,۳۰	۶,۹۰	۵,۰۳	۶,۱۲	۶,۰۲	۴,۶۶	۴,۶۱	۴,۶۱
Be	۱,۱	۱,۴	۱,۷	۱,۵	۱,۴	۱,۳	۱,۵	۱,۳	۱,۱	۱,۱	۱,۲	۱,۲	۱,۴	۱,۵	۱,۳	۱,۲	۱	۱,۱
Bi	۰,۸	۰,۵	۰,۵	۰,۶	۰,۵	۰,۵	۰,۵	۰,۷	۰,۵	۰,۵	۰,۶	۰,۵	۰,۶	۰,۹	۰,۸	۰,۵	۰,۴	۰,۶
Cd	۰,۱	۰,۱	۰,۲۶	۰,۱	۰,۱	۰,۱	۰,۱	۰,۳	۰,۴	۰,۳	۰,۱	۰,۱	۰,۱	۰,۱	۰,۱	۰,۲	۰,۱	۰,۲
Ce	۳,۵	۳,۲	۲,۶	۳,۲	۳,۲	۵,۵	۳,۶	۲,۷	۲,۷	۲,۸	۲,۷	۲,۶	۲,۴	۲,۵	۲,۴	۲,۷	۲,۷	۲,۷
Co	۳,۹۹	۲,۰۸	۲,۶	۳,۸۲	۲,۰۳	۹,۵	۱,۹۴	۳,۱۴	۲,۸۳	۲,۶۶	۲,۸	۲,۵۲	۲,۲۳	۲,۴۸	۲,۸۷	۲,۶۸	۲,۶۳	۲,۶
Cr	۱,۵	۲,۱	۴,۵	۲,۰	۱,۹	۱,۳	۱,۸	۲,۳	۴,۳	۳,۳	۲,۴	۵,۱	۲,۵	۲,۶	۲,۴	۲,۸	۲,۶	۵,۳
Cs	۳,۳	۵,۶	۴,۴	۶,۸	۴,۴	۲,۵	۴,۳	۶,۳	۷,۲	۸	۵,۲	۵,۳	۳,۹	۴,۷	۵,۲	۶,۹	۶,۵	۷,۷
Cu	۱۴,۱۱	۳,۲۶	۶,۷۱	۱۳,۸	۱۴,۹۳	۵,۷۹	۳,۴۱	۴,۸۶	۱۰,۰	۱۵,۴	۴,۶۳	۲,۲۵	۲,۴۱	۴,۸۵	۲,۵۳	۱۳,۲	۹,۷	۱۷,۸
Dy	۲,۶۶	۳,۰۵	۳,۲۹	۳,۰۷	۲,۹۵	۳,۰۱	۳,۰۲	۲,۹۴	۲,۹۶	۴,۵۳	۳,۱۶	۳,۱۷	۳,۱۱	۳,۳	۳,۱۵	۳,۰۳	۳,۰۶	۳,۰۸
Er	۱,۵۴	۱,۶۶	۱,۷۳	۱,۷۱	۱,۷۲	۱,۷۶	۱,۶۴	۱,۶۵	۱,۶۹	۲	۱,۷۶	۱,۸۱	۱,۶۸	۱,۸	۱,۶۹	۱,۷۶	۱,۷۶	۱,۷۵
Eu	۰,۵۵	۰,۷۸	۰,۸۳	۰,۸۳	۰,۵۹	۰,۶۳	۰,۸۴	۰,۹۹	۱,۰۶	۱,۲۶	۱,۱	۱,۱۵	۱,۰۸	۱,۱۹	۱,۰۹	۱,۰۳	۱,۰۴	۱,۰۴
Gd	۲,۰۳	۲,۵۷	۲,۶۲	۲,۶۹	۲,۴۱	۲,۵۷	۲,۵۴	۲,۱۸	۲,۲	۲,۹۴	۲,۴۲	۲,۴۱	۲,۳۴	۲,۷۸	۲,۴۵	۲,۴۳	۲,۳۳	۲,۴۵
Hf	۲,۰۶	۱,۶۴	۱,۰۵	۱,۷۷	۲,۰۵	۳,۴۱	۱,۹۲	۱,۲۶	۱,۲	۱,۴۹	۱,۴۲	۱,۴۹	۱,۲	۰,۹۶	۱,۰۶	۱,۲۵	۱,۲۹	۱,۳۵
La	۱,۷	۱,۶	۱,۴	۱,۶	۱,۶	۲,۶	۱,۸	۱,۴	۱,۱۳	۱,۴	۱,۴	۱,۳	۱,۲	۱,۲	۱,۲	۱,۳	۱,۳	۱,۳
Li	۲,۲	۳,۲	۴,۰	۳,۲	۳,۱	۱,۹	۲,۵	۳,۳	۲,۷	۲,۹	۳,۳	۲,۹	۳,۱	۲,۹	۲,۹	۲,۲	۱,۷	۲,۳
Lu	۰,۲۲	۰,۲	۰,۱۸	۰,۲۱	۰,۲۳	۰,۲۷	۰,۲۳	۰,۱۷	۰,۱۹	۰,۲۲	۰,۲	۰,۱۹	۰,۱۵	۰,۱۵	۰,۱۷	۰,۱۹	۰,۱۸	۰,۱۸
Mo	۲,۳	۱	۰,۹۱	۱,۵	۲,۸	۵,۴	۱,۸	۱	۰,۱	۰,۱	۰,۱	۰,۱	۰,۱	۰,۱	۰,۱	۰,۱	۰,۱	۰,۱
Nb	۱,۰۱	۷	۴,۷	۷,۳	۸,۴	۱۱,۵	۷,۸	۵,۵	۴,۲	۴,۹	۵,۱	۴,۸	۴,۵	۴,۳	۴,۴	۴,۴	۴,۴	۴,۶
Nd	۱۱,۲	۱۰,۹	۱۰,۶	۱۱,۹	۱۱	۱۴,۷	۱۱,۷	۹,۹	۹,۶	۱۲,۵	۱۰,۷	۱۰,۶	۱۰,۱	۱۰,۷	۱۰	۱۰,۱	۹,۸	۱۰,۴
Ni	۹	۱۵	۲,۴	۱,۵	۱,۲	۷	۱,۴	۱,۷	۳,۰	۲,۴	۱,۹	۳,۱	۱,۹	۱,۹	۱,۹	۲,۰	۱,۹	۲,۹
Pb	۲,۳	۲,۷	۲,۳	۳,۲	۱,۸	۱,۶	۲,۲۸	۹,۴	۶,۹	۴,۵	۲,۰	۱,۶	۲,۳	۳,۴	۳,۵	۳,۹	۱,۸	۱,۹
Pr	۲,۸۳	۲,۶	۲,۲۹	۲,۷۹	۲,۷۷	۴,۰۶	۲,۸۷	۱,۹۶	۱,۸۸	۲,۵۵	۲,۱۹	۲,۱۶	۱,۹۴	۲,۱۳	۲,۰۲	۱,۹۸	۱,۹۱	۲,۰۱
Rb	۹,۲	۹,۳	۹,۲	۹,۷	۱۰,۱	۶,۶	۷,۶	۵,۸	۵,۵	۷,۸	۷,۷	۶,۵	۸,۲	۶,۳	۸,۰	۶,۳	۴,۱	۵,۱
Sb	۹,۸	۴,۱	۲,۷	۵,۹	۳	۳,۲	۶,۱	۵	۲,۶	۵,۸	۱۲,۴	۶,۷	۸,۹	۲,۳	۹,۹	۵,۲	۳,۵	۶,۱
Sc	۱۱,۵	۲,۰۱	۲,۴۳	۱,۹۷	۱,۶۳	۱۰,۷	۱,۹۶	۲,۳۶	۲,۶۲	۲,۶۵	۲,۳۸	۲,۵	۲,۵۶	۲,۴۸	۲,۴۹	۲,۵۴	۲,۵۳	۲,۵۷
Sm	۲,۴۸	۲,۸۱	۲,۹۳	۲,۸۶	۲,۶	۳,۰۷	۲,۸۵	۲,۷	۳,۴۹	۲,۹۶	۲,۹۳	۲,۹۳	۲,۸۸	۳,۰۱	۲,۹	۲,۸۱	۲,۷۸	۲,۸۶
Sn	۱,۲	۱	۱	۱,۱	۱	۱,۱	۱	۰,۹	۰,۸	۰,۹	۰,۹	۰,۸	۰,۹	۰,۹	۱,۱	۰,۹	۰,۸	۰,۸
Sr	۷,۶۸	۱۶,۸۵	۱,۹۱	۱,۹۶۲	۱۲,۸۹	۱۱,۸۸	۳,۱۲۹	۳,۰۰۵	۴,۹۸	۴,۹۸	۴,۳۶۶	۴,۳۶۲	۳,۶۹۷	۴,۵۴۵	۲,۵۸۸	۴,۴۰۳	۴,۹۳۶	۵۱,۰۳
Ta	۰,۷۹	۰,۵۹	۰,۴۶	۰,۶۱	۰,۶۴	۰,۸	۰,۵۹	۰,۵۳	۰,۴	۰,۴۲	۰,۴۵	۰,۴۴	۰,۴۴	۰,۳۹	۰,۴۲	۰,۳۹	۰,۴۰	۰,۴۱
Tb	۰,۴۵	۰,۵۲	۰,۵۶	۰,۵۳	۰,۴۹	۰,۵	۰,۵	۰,۴۶	۰,۴۶	۰,۵۶	۰,۵	۰,۵	۰,۴۹	۰,۵۴	۰,۵	۰,۴۹	۰,۴۸	۰,۵
Te	۰,۲۱	۰,۱۵	۰,۱	۰,۱	۰,۱۱	۰,۱۲	۰,۱	۰,۱۲	۰,۱	۰,۱	۰,۱	۰,۱	۰,۱	۰,۱	۰,۱	۰,۱	۰,۱۲	۰,۱
Th	۹,۰۳	۴,۵۱	۱,۶۳	۴,۸۴	۷,۲۴	۱۲,۳۳	۵,۶۸	۲,۱۵	۱,۳۲	۲,۱۹	۲,۵۶	۲,۱۱	۱,۵۳	۱,۱۳	۱,۲۵	۱,۵۶	۱,۴۹	۱,۵۶
Ti	۲۸,۲۷	۴۳,۷۷	۴۹,۵۰	۴۲,۲۷	۳۹,۱۹	۲۹,۶۶	۴۳,۵۷	۴۸,۳۲	۵۱,۱۴	۵۲,۳۹	۴۸,۱۸	۴۹,۳۹	۵۰,۳۴	۵۰,۵۴	۴۹,۹۴	۵۰,۷۵	۵۰,۲۷	۵۱,۷۰
Tl	۰,۴۹	۰,۶۸	۰,۵۷	۰,۶۱	۰,۵۹	۰,۴۷	۰,۵۱	۰,۴۷	۰,۳۹	۰,۴۹	۰,۴۵	۰,۴۵	۰,۴۹	۰,۳۹	۰,۵	۰,۳۸	۰,۲۵	۰,۲۹
Tm	۰,۲۶	۰,۲۷	۰,۲۷	۰,۲۸	۰,۲۸	۰,۳۱	۰,۲۸	۰,۲۹	۰,۳	۰,۳۴	۰,۳۱	۰,۳۱	۰,۳	۰,۳	۰,۳	۰,۳۲	۰,۳۱	۰,۳
U	۲,۲۷	۱,۴	۰,۷	۱,۵	۱,۹	۳,۶	۱,۶۹	۰,۹	۰,۶	۰,۹	۱	۰,۹	۰,۷	۰,۷	۰,۷	۰,۸	۰,۷۲	۰,۷
V	۹,۵	۱,۶۲	۲,۱۶	۱,۶۰	۱,۳۶	۸,۲	۱,۶۰	۱,۹۱	۲,۰۱	۲,۰۶	۱,۹۲	۱,۹۸	۲,۰۳	۲,۰۲	۲,۰۰	۲,۰۱	۲,۰۲	۲,۰۳
W	۲,۴۳	۹,۱	۸,۶	۴,۸	۴,۲	۲,۹	۱,۷	۷,۸	۱,۳	۱,۲	۳,۳	۱,۷	۲,۷	۳,۵				

ادامه جدول ۱

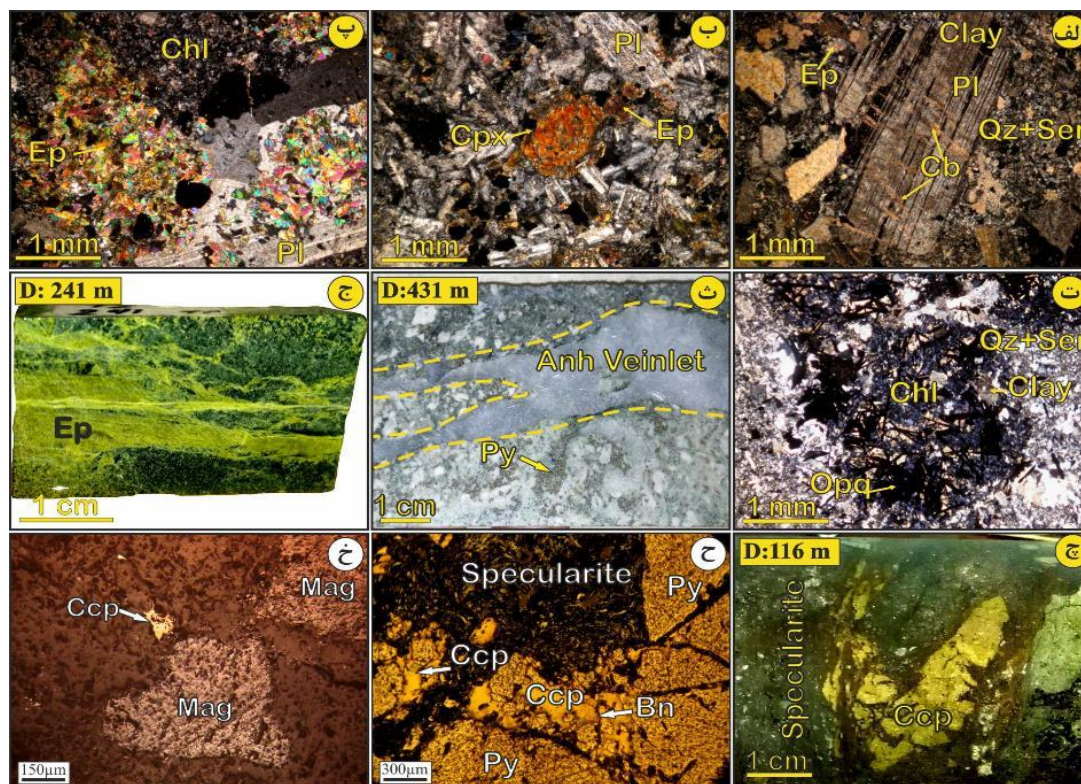
Sample	BH1-214-218	BH1-218-222	BH1-222-226	BH1-226-230	BH1-230-234	BH1-234-238	BH1-238-242	BH1-242-246	BH1-246-250	BH1-250-254	BH1-254-258	BH1-258-262	BH1-262-266	BH1-266-270	BH1-270-274	BH1-274-278	BH1-278-282	BH1-282-286
SiO <sub>2</sub>	۴۹.۲۶	۴۸.۸۹	۴۸.۶۳	۵۰.۱۳	۴۹.۹۱	۵۱.۰۷	۵۰.۴	۴۹.۴۴	۵۰.۴۸	۴۹.۳۶	۴۸.۷۱	۴۹.۸۴	۵۰.۴۵	۵۰.۰۵	۴۹.۲۶	۵۴.۱۳	۵۹.۸۵	۶۰.۶۶
Al <sub>2</sub> O <sub>3</sub>	۱۵.۷۶	۱۶.۱	۱۶.۰۷	۱۶.۲۳	۱۶.۰۶	۱۶.۲۳	۱۶.۳۳	۱۵.۹۹	۱۶.۴	۱۶.۰۶	۱۵.۹۸	۱۶.۰۸	۱۶.۱۵	۱۶.۴۲	۱۵.۸۲	۱۵.۵	۱۵.۰۳	۱۴.۷۹
BaO	۰.۱	۰.۰۷	۰.۰۵	۰.۰۸	۰.۰۶	۰.۰۸	۰.۰۷	۰.۰۶	۰.۰۷	۰.۰۶	۰.۰۵	۰.۰۶	۰.۰۶	۰.۰۷	۰.۱۱	۰.۱	۰.۱۱	۰.۱۱
CaO	۲۵.۱	۲۱.۴	۷.۰۲	۲۶.۸	۶.۳۲	۳.۱۲	۵.۶۶	۶.۳۱	۴.۹۳	۳.۱	۷.۳۷	۷.۱۲	۷.۰۶	۵.۸۲	۲.۳۳	۲.۸	۳.۲۱	۲.۷۵
Fe <sub>2</sub> O <sub>3</sub>	۱۵.۲۶	۱۵.۲۹	۱۲.۱۷	۱۳.۵۸	۱۰.۵	۱۳.۱۳	۱۱.۷۸	۱۳.۱	۱۲.۱۹	۱.۴	۹.۷۷	۹.۲۴	۹.۳۷	۱۰.۲۹	۱۳.۸۸	۹.۵۱	۶.۵۴	۵.۹
K <sub>2</sub> O	۳.۸۷	۳.۰۳	۱.۴۶	۳.۴	۳.۲۱	۳.۴۲	۲.۳۸	۲.۳۸	۲.۷	۲.۵۸	۲	۲.۱۷	۲.۰۳	۲.۸۸	۵.۱۵	۵.۲۶	۵.۸	۵.۱۱
MgO	۴.۸۳	۵.۳۹	۴.۴۸	۵.۲۵	۴.۹۳	۴.۹۲	۴.۸۸	۴.۸۸	۴.۸۲	۴.۹۶	۴.۶۳	۵.۰۸	۵.۰۹	۴.۹۲	۴.۷۸	۴.۶۳	۱.۷۸	۱.۴۵
MnO	۰.۵۳	۰.۵۶	۰.۵۳	۰.۴۹	۰.۴۱	۰.۵۷	۰.۷	۰.۶۹	۰.۶۶	۰.۵۵	۰.۳۸	۰.۳۳	۰.۳۳	۰.۴۴	۰.۴۲	۰.۳۲	۰.۲۴	۰.۲۱
Na <sub>2</sub> O	۱.۳۳	۱.۲۴	۱.۵۷	۱.۷۵	۲.۲۳	۱.۷۴	۱.۸۶	۱.۵۷	۲.۱۶	۲.۵۹	۲.۶۸	۲.۳۱	۲.۳۲	۳.۰۳	۱.۴۶	۱.۰۵	۱.۵۹	۳.۱۲
P <sub>2</sub> O <sub>5</sub>	۰.۲۴	۰.۲۲	۰.۲۲	۰.۲۱	۰.۲۲	۰.۲۳	۰.۲۳	۰.۲۲	۰.۲۲	۰.۲۲	۰.۲۲	۰.۲۱	۰.۲۲	۰.۲۲	۰.۲۳	۰.۲۱	۰.۲۲	۰.۲۴
SO <sub>3</sub>	۰.۴۶	۰.۶۹	۰.۳۲	۰.۱۴	۰.۱۴	۰.۱۹	۰.۱۴	۰.۳۵	۰.۳۴	۰.۷۶	۰.۹	۰.۶۳	۰.۶۸	۰.۶۱	۳.۰۳	۲.۱	۰.۸۶	۱.۱۳
TiO <sub>2</sub>	۰.۸۴	۰.۹۱	۰.۹۱	۰.۹۴	۰.۹۱	۰.۹	۰.۸۹	۰.۹۲	۰.۹	۰.۹۲	۰.۸۶	۰.۸۸	۰.۸۷	۰.۸۹	۰.۸۹	۰.۸۴	۰.۸۱	۰.۷۸
L.O.I	۵	۵.۴۶	۶.۵۷	۵.۱۲	۶.۱	۴.۴	۴.۴۳	۴.۲۹	۴.۱۳	۴.۸۳	۶.۴۴	۵.۰۴	۴.۲۶	۴.۳۵	۲.۷۴	۲.۵۴	۲.۹۶	۳.۷۴
مجموع %	۹۹.۹۹	۹۹.۹۹	۱۰۰	۹۹.۹۹	۱۰۰	۱۰۰	۱۰۰	۱۰۰	۱۰۰	۹۹.۹۹	۹۹.۹۹	۹۹.۹۹	۹۹.۹۹	۱۰۰	۱۰۰	۹۹.۹۹	۱۰۰	۹۹.۹۹
Ag	۰.۴۷	۰.۵	۰.۳	۰.۳	۰.۳	۰.۶	۰.۷	۰.۴	۰.۶	۰.۳	۰.۲	<۰.۱	۰.۴	۰.۴	۰.۷	۰.۷	۰.۴	۰.۲۱
As	۵.۷	۴.۳	۱۳.۲	۴.۵	۵.۶	۷	۱۱.۳	۱۵.۳	۱۱.۴	۶.۲	۴.۲	۹.۲	۱۹.۶	۱۳.۲	۷.۲	۹.۹	۶	۶.۱
Ba	۷۶۰	۱۲۲۳	۳۶۸	۲۷۰۶	۵۴۰	۱۱۷۵	۵۹۰	۴۷۶	۶۲۷	۵۲۵	۴۵۲	۵۲۸	۴۶۹	۶۰۳	۸۳۸	۸۶۹	۹۸۷	۸۷۳
Be	۱.۷	۱.۵	۱.۵	۱.۵	۱.۴	۱.۶	۱.۴	۱.۵	۱.۶	۱.۶	۱.۲	۱	۱.۱	۱.۳	۱.۲	۱.۴	۱.۸	۲.۳
Bi	۰.۵	۰.۸	۰.۷	۰.۶	۰.۶	۰.۵	۰.۷	۱	۱.۱	۰.۸	۰.۵	۰.۴	۰.۵	۰.۶	۲	۱.۳	۰.۶	۰.۷
Cd	۰.۲۶	۰.۱	۰.۱	۰.۱	۰.۲	۰.۲	۰.۲	۰.۱	۰.۶	۰.۲	۰.۸	۰.۱	۰.۶	۰.۳	۰.۱	۰.۱	۰.۲	۰.۲۷
Ce	۲۶	۲۵	۲۹	۲۴	۲۸	۲۶	۲۸	۲۷	۲۶	۲۶	۲۶	۲۴	۲۵	۲۶	۲۳	۴۰	۶۴	۶۳
Co	۲۶	۳۳.۱	۲۶۶	۲۲۶	۲۴۸	۲۱.۴	۲۵.۳	۲۹.۸	۲۸.۴	۳۰.۹	۲۶.۲	۲۵.۶	۲۷.۲	۳۰	۵۸.۵	۲۵.۴	۱۰.۶	۱۴
Cr	۴۵	۲۳	۲۶	۲۹	۲۹	۳۰	۲۴	۲۴	۲۵	۳۰	۲۶	۳۱	۳۰	۳۲	۴۲	۲۶	۱۴	۱۵
Cs	۴.۴	۴.۳	۶.۹	۳.۲	۵.۹	۴.۵	۳.۸	۳.۹	۳.۲	۴.۱	۶.۲	۵.۹	۳.۶	۳.۱	۳.۱	۲.۳	۴.۳	۴.۶
Cu	۶۷۱	۱۳۱	۸۰	۱۱۲	۱۵۴	۲۱۳	۱۲۸	۱۰۲	۴۱۴	۴۵۴	۱۲۸	۱۳۶	۱۰۸	۱۰۰	۸۷	۲۷۹	۳۷۴	۴۰
Dy	۳.۲۹	۳.۱۶	۳.۵	۲.۷۵	۳.۱۳	۲.۹۷	۳.۱۲	۳.۱۳	۲.۹۴	۳.۳۱	۳.۳۴	۳.۰۳	۲.۹۹	۳.۱۲	۲.۷۹	۳.۷	۴.۳۹	۴.۱۷
Er	۱.۷۳	۱.۷۸	۱.۷۳	۱.۴۷	۱.۷۳	۱.۶۹	۱.۷۲	۱.۶۴	۱.۷۲	۱.۷	۱.۸۲	۱.۷۲	۱.۷۳	۱.۷	۱.۵۳	۲.۰۴	۲.۵۷	۲.۳۸
Eu	۰.۹۳	۰.۹۷	۱.۰۵	۱.۱۲	۱.۱۱	۰.۹۷	۰.۹۹	۱.۰۷	۱.۰۹	۱.۰۶	۱.۰۹	۱	۱.۰۴	۱.۰۲	۱.۱	۱.۱۴	۱.۲۳	۱.۰۵
Gd	۲.۹۲	۲.۳۷	۲.۸۲	۲	۲.۵۶	۲.۱۳	۲.۵۳	۲.۴۹	۲.۴۱	۲.۸۵	۲.۶۹	۲.۲۶	۲.۲۸	۲.۴۳	۲.۲۱	۳.۱۳	۴.۲۶	۳.۶۳
Hf	۱.۰۵	۱.۱	۱.۰۱	۰.۸۹	۱.۰۶	۱.۲۵	۱.۲۲	۰.۹۹	۱.۱۳	۰.۸۳	۰.۹۱	۰.۹۳	۰.۹۵	۱.۱	۰.۹۴	۱.۹۱	۱.۹۵	۲.۰۹
La	۱.۴	۱.۳	۱.۵	۱.۲	۱.۴	۱.۳	۱.۳	۱.۴	۱.۳	۱.۴	۱.۳	۱.۲	۱.۲	۱.۳	۱.۲	۲.۰	۳.۱	۳.۱
Li	۴۰	۵۵	۴۰	۴۰	۳۲	۳۷	۲۹	۲۹	۳۱	۴۱	۳۳	۲۶	۲۲	۲۵	۳۹	۲۲	۵	۱۶
Lu	۰.۱۸	۰.۱۶	۰.۱۵	۰.۱۲	۰.۱۶	۰.۱۵	۰.۷	۰.۱۶	۰.۱۵	۰.۱۵	۰.۱۸	۰.۱۸	۰.۱۶	۰.۱۶	۰.۱۳	۰.۲	۰.۲۶	۰.۲۶
Mo	۰.۹۱	۰.۹	۰.۴	۰.۱	۰.۱	۰.۱	۰.۴	۰.۷	۰.۱	۰.۱	۰.۱	۰.۱	۰.۱	۰.۱	۱.۲	۳.۴۴	۲.۳	۱.۲۷
Nb	۴.۷	۴.۳	۴	۳.۸	۳.۹	۴	۴.۵	۳.۵	۴.۴	۳.۷	۳.۹	۳.۹	۴.۱	۴	۴.۵	۸	۱۵.۱	۱۲.۸
Nd	۱۰.۶	۹.۳	۱۰.۵	۸.۸	۱۰.۴	۹.۴	۱۰.۵	۱۰.۴	۹.۷	۱۰.۵	۱۰.۴	۹.۵	۹.۷	۹.۹	۹.۳	۱۵	۲۱.۳	۱۹
Ni	۲.۴	۲.۰	۱.۹	۲.۳	۲.۲	۲.۱	۲.۰	۱.۸	۱.۹	۲.۰	۱.۹	۲.۰	۲.۰	۱.۹	۲.۱	۱.۳	۵	۶
Pb	۲۳	۳۱	۲۶	۴۵	۸۵	۷۲	۴۳	۲۷	۹۱	۸۹	۱۰۴	۲۰	۷۴	۵۳	۲۵	۱.۸	۳.۱	۲۰
Pr	۲.۲۹	۱.۸۲	۲.۲	۱.۶۳	۲.۰۷	۱.۸۱	۲.۰۴	۲.۰۲	۱.۹۵	۲.۰۹	۱.۹۹	۱.۷۶	۱.۸۲	۲	۱.۸۶	۳.۲۹	۵.۲۵	۴.۶۹
Rb	۹.۲	۸.۱	۴.۳	۸.۰	۵.۲	۷.۹	۶.۴	۵.۵	۶.۵	۶.۸	۵.۴	۴.۹	۷	۶.۸	۱۰.۶	۱۱.۷	۱۲.۸	۱۲.۲
Sb	۲.۷	۴	۱.۵۵	۶.۴	۴.۶	۴.۱	۱۳.۳	۲۱.۴	۱۵.۱	۷.۲	۱.۲	۱.۸	۸.۷	۷.۱	۴.۳	۶.۲	۶.۹	۴.۳
Sc	۲.۴۳	۲.۶۲	۲.۶۲	۲.۷۷	۲.۶۹	۲.۶۶	۲.۵۸	۲.۶۴	۲.۵۸	۲.۶۴	۲.۵۷	۲.۵۵	۲.۶۶	۲.۵۷	۲.۵۴	۲.۰۱	۱.۳۶	۱.۲۲
Sm	۲.۹۳	۲.۸۸	۲.۹۸	۲.۸۶	۲.۹۸	۲.۸	۲.۹۵	۲.۸۳	۲.۸	۳.۰۸	۲.۹۵	۲.۷۸	۲.۶۹	۲.۸۴	۲.۶۹	۲.۹۶	۴.۸۴	۴.۴
Sn	۱	۰.۹	۱.۳	۱.۱	۱.۵	۰.۹	۰.۹	۱	۰.۸	۰.۸	۰.۹	۱	۱	۰.۹	۱	۱.۳	۱.۳	۱.۴
Sr	۱۹.۱	۱۶.۷۵	۴۱.۷۱	۲۵.۷۷	۳۵.۶۹	۲۸.۵۷	۴۲.۹۴	۴۷.۴۶	۳۶.۱۲	۲۲.۴۸	۳۰.۲۳	۴۴.۴	۵۳.۷۷	۴۰.۶۶	۱۴.۹۴	۲۷.۲۳	۲۱.۸۸	۱۷.۵
Ta	۰.۴۶	۰.۳۷	۰.۳۵	۰.۳۲	۰.۳۶	۰.۳۶	۰.۳۸	۰.۳۳	۰.۳۶	۰.۳۸	۰.۳۵	۰.۳۴	۰.۳۶	۰.۳۱	۰.۳۱	۰.۵۸	۰.۹	۰.۶۴
Tb	۰.۵۶	۰.۵۱	۰.۵۵	۰.۴۵	۰.۵۱	۰.۴۷	۰.۵۳	۰.۵	۰.۴۹	۰.۵۳	۰.۵۵	۰.۴۹	۰.۴۸	۰.۴۹	۰.۴۷	۰.۵۹	۰.۷۲	۰.۶۶
Te	۰.۱	۰.۱	۰.۱	۰.۱	۰.۱	۰.۱	۰.۱	۰.۱	۰.۱	۰.۱	۰.۱	۰.۱	۰.۱	۰.۱۳	۰.۱	۰.۱	۰.۱	۰.۱
Th	۱.۶۳	۱.۴۷	۱.۰۸	۰.۹۱	۱.۰۱	۱.۴۹	۱.۶۹	۱.۲۴	۱.۳۹	۰.۹۴	۰.۸۷	۱.۰۶	۱.۱۲	۱.۳۱	۰.۸۴	۳.۴۸	۶.۵۵	۶.۱۵
Ti	۴۹.۵۰	۵۰.۵۵	۵۳.۴۲	۵۲.۸۵	۵۲.۴۷	۵۲.۶۳	۵۱.۷۷	۵۲.۰۵	۵۰.۹۳	۵۱.۵۰	۴۹.۶۵	۵۰.۴۹	۵۰.۵۵	۵۱.۲۳	۴۹.۹۵	۴۸.۳۳	۴۸.۳۴	۴۸.۶۵
Tl	۰.۵۷	۰.۴۵	۰.۲	۰.۴۶	۰.۳۱	۰.۴۸	۰.۴۴	۰.۳۶	۰.۳۹	۰.۳۷	۰.۲۷	۰.۲۸	۰.۲۷	۰.۳۹	۰.۶۲	۰.۶۱	۰.۵۷	
Tm	۰.۲۷	۰.۳۱	۰.۳۱	۰.۲۷	۰.۳۱	۰.۲۹	۰.۳۱	۰.۳۱	۰.۳۰	۰.۳۰	۰.۳۳	۰.۲	۰.۳۱	۰.۳۱	۰.۲۸	۰.۳۵	۰.۴۲	۰.۴
U	۰.۷	۰.۷	۰.۷	۰.۵۸	۰.۷	۰.۷	۰.۸	۰.۷	۰.۷	۰.۶	۰.۶	۰.۵۸	۰.۶	۰.۷	۰.۶	۱.۲	۲	۱.۹
V	۲.۱۶	۲.۰۴	۲.۰۶	۲.۱۷	۲.۱۳	۲.۰۹	۲.۰۶	۲.۱۰	۲.۰۳	۲.۰۷	۲.۰۱	۲.۰۰	۲.۰۱	۱.۹۸	۱.۸۴	۱.۴۵	۸.۹	۹.۲
W	۸.۶	۵.۵	۶.۴	۹.۴	۴.۹	۵	۱.۸	۱.۸	۲	۵.۱	۱.۱	۰.۹	۰.۹	۳.۱	۹.۱	۳.۱	۲.۶	۳.۶
Y	۱.۸	۱.۷۲	۱.۷۹	۱.۵۵	۱.۷۷	۱.۶۸	۱.۷۱	۱.										

Sample	BH1-286-290	**BH1-290-294	BH1-294-298	BH1-298-304	BH1-5-400-410	BH1-400-410	BH1-5-410-420	BH1-410-420	BH1-5-420-430	BH1-420-430	BH1-5-430-440	BH1-430-440	BH1-5-440-450	BH1-440-450	BH1-5-5450-460	BH1-450-460	BH1-5-460-470	BH1-460-470
SiO <sub>2</sub>	۶۱.۸۱	۶۰.۸۹	۶۳.۸۴	۶۱.۶۶	۵۸.۰۲	۵۹.۰۲	۵۸.۵۱	۵۹.۵۱	۵۳.۹۶	۵۴.۹۶	۵۴.۳	۵۶.۳	۵۴.۹۷	۵۶.۹۷	۶۱.۳۳	۶۱.۳۳	۶۱.۶۶	۶۱.۶۶
Al <sub>2</sub> O <sub>3</sub>	۱۵.۲۱	۱۴.۸۴	۱۴.۴۲	۱۴.۴۹	۱۴.۳۶	۱۴.۹۶	۱۴.۵۸	۱۵.۵۲	۱۴.۲۱	۱۳.۵۷	۱۵.۲	۱۴.۶۶	۱۵.۱	۱۳.۸۶	۱۴.۲۲	۱۴.۲۲	۱۴.۵۱	۱۳.۴۳
BaO	۰.۱۱	۰.۱۱	۰.۱۳	۰.۰۹	۰.۰۵	۰.۰۳	۰.۰۵	۰.۰۴	۰.۰۵	۰.۰۲	۰.۰۵	۰.۰۲	۰.۰۵	۰.۰۳	۰.۰۵	۰.۰۶	۰.۰۸	۰.۰۷
CaO	۲۹.۳	۳۶	۲۷.۸	۳۷.۷	۳۷.۸	۴۴.۱	۴۱.۱	۴۲.۷	۵۷.۸	۵۴.۶	۴۸.۶	۴۶.۵	۴۵.۴	۵۱.۵	۳۲.۵	۳۵.۵	۳۲.۱	۴۳.۲
Fe <sub>2</sub> O <sub>3</sub>	۵.۳	۵.۳۴	۴.۶۹	۵.۲۶	۵.۱۱	۴.۸۵	۴.۶۹	۵.۶۱	۴.۲۴	۴.۲۴	۴.۴	۴.۱	۴.۱۶	۴.۱۷	۵.۱	۴.۸۵	۵.۶۴	۵.۲
K <sub>2</sub> O	۵.۱۱	۴.۵۵	۴.۶۲	۴.۴	۱.۱۵	۲.۱۱	۱.۷۶	۱.۸	۱.۷۱	۲.۴۹	۱.۴۹	۲.۶۲	۲.۱۴	۲.۰۸	۲.۲	۲.۴۸	۲.۷۴	۴.۲۷
MgO	۱.۳۵	۱.۶۵	۱.۴۱	۱.۷۹	۲.۵۹	۲.۲	۱.۸	۲.۱	۱.۷۷	۱.۶۷	۱.۵۴	۱.۳۸	۱.۳۱	۰.۹۹	۲.۰۶	۱.۹۴	۱.۸۳	۱.۷
MnO	۰.۱۵	۰.۱۷	۰.۱۵	۰.۱۴	۰.۰۷	۰.۰۴	۰.۰۷	۰.۰۷	۰.۰۵	۰.۰۷	۰.۰۵	۰.۰۵	۰.۰۵	۰.۰۵	۰.۰۹	۰.۰۵	۰.۱۳	۰.۰۹
Na <sub>2</sub> O	۲.۷۳	۳.۰۱	۲.۴۵	۲.۹۳	۴.۷۲	۳.۴	۴.۲	۳.۴۷	۴.۶	۴.۶۷	۵.۳۳	۵.۸۸	۴.۱۶	۴.۵۶	۳.۹۲	۴.۱	۳.۲۱	۳.۱۷
P <sub>2</sub> O <sub>5</sub>	۰.۲۲	۰.۲۱	۰.۲۲	۰.۲۲	۰.۲۲	۰.۲۸	۰.۲۲	۰.۲۸	۰.۲۳	۰.۲۶	۰.۲۵	۰.۲۹	۰.۲۵	۰.۲۹	۰.۲۳	۰.۲۶	۰.۲۵	۰.۲۶
SO <sub>3</sub>	۱.۵	۱.۹	۲.۴	۱.۷۷	۸.۱۶	۶.۱۶	۷.۹۴	۵.۴۴	۱.۰۶۸	۹.۶۸	۹.۷	۷.۷	۱۰.۴۷	۷.۴۶	۵.۲۷	۵.۲۷	۱.۲۱	۱.۲۲
TiO <sub>2</sub>	۰.۸۳	۰.۸۱	۰.۸	۰.۸	۰.۸۲	۰.۸۷	۰.۸۱	۰.۸۳	۰.۷۶	۰.۷۸	۰.۸۸	۰.۸۳	۰.۸۹	۰.۸۵	۰.۷۹	۰.۸	۰.۸۲	۰.۸
L.O.I	۲.۷۵	۲.۹۲	۲.۰۹	۲.۶۸	۰.۹۵	۱.۶۶	۱.۲۵	۰.۵۶	۱.۹۵	۲.۱۲	۱.۹۵	۱.۵	۱.۹۱	۲.۵۴	۱.۴۷	۱.۰۷	۳.۷	۳.۸۲
مجموع %	۱۰۰	۱۰۰	۱۰۰	۱۰۰	۱۰۰	۹۹.۹۹	۹۹.۹۹	۱۰۰	۹۹.۹۹	۱۰۰	۱۰۰	۹۹.۹۹	۱۰۰	۹۹.۹۹	۹۹.۹۸	۹۹.۹۸	۹۹.۹۹	۱۰۰
Ag	۰.۵	۰.۴	۰.۵	۰.۲	۰.۴	۰.۱	۰.۵	۰.۱	۰.۲	۰.۱	۰.۲	۰.۱	۰.۵	۰.۱	۰.۲	۰.۱	۰.۲۷	۰.۵
As	۶.۵	۴.۴	۴.۳	۶.۱	۳	۶.۲	۱.۵	۱.۰۴	۳.۹	۷.۸	۳.۴	۶.۳	۴.۳	۱۱.۹	۱۱	۱۱.۱	۶	۱۲.۲
Ba	۹۵.۹	۸۹.۳	۸۱.۶	۷۵.۱	۱۵۳	۲۸۷	۲۵۶	۳۶۶	۱۹۰	۱۹۲	۱۶۷	۱۹۹	۱۴۴	۳۶۹	۵۱.۸	۵۱.۹	۵۵.۵	۵۵.۵
Be	۱.۹	۱.۹	۱.۹	۱.۹	۲.۳	۳.۹	۲.۲	۲.۷	۳.۵	۲.۸	۲.۱	۲.۴	۲.۲	۲.۷	۲	۱.۹	۲.۵	۱.۷
Bi	۰.۶	۰.۷	۰.۷	۰.۵	۰.۹	۰.۱	۰.۸	۱.۱	۰.۸	۰.۴	۱.۱	۰.۷	۰.۸	۰.۵	۰.۸	۰.۱	۰.۵	۰.۱
Cd	۰.۱	۰.۱	۰.۱	۰.۱	۰.۱	۰.۱	۰.۱	۰.۱	۰.۳۴	۰.۱	۰.۱	۰.۱	۰.۱	۰.۱	۰.۱	۰.۱	۰.۲۶	۰.۱
Ce	۶.۶	۶.۲	۶.۰	۶.۵	۷.۵	۷.۱	۶.۷	۷.۶	۶.۰	۶.۸	۶.۳	۶.۰	۶.۹	۶.۰	۶.۱	۵.۹	۶.۴	۵.۹
Co	۱۲.۷	۱۲.۳	۱۱.۴	۱۰.۱	۱۴.۵	۱۲.۹	۱۳.۵	۲۰.۱	۱.۴	۱۵.۴	۱۶.۳	۱۵.۲	۱۴.۹	۱۷.۱	۱۱.۳	۱۰.۴	۹	۱۰.۷
Cr	۱.۵	۱.۴	۲.۰	۱.۷	۱.۲	۱.۸	۱.۱	۱.۳	۱.۲	۹	۱.۳	۱.۱	۱.۳	۱.۲	۱.۳	۱.۰	۱.۷	۱.۹
Cs	۴.۲	۴.۱	۵.۴	۳.۸	۲.۷	۴.۳	۳.۶	۹	۲.۸	۴.۱	۲.۶	۴	۴.۳	۷.۳	۳.۴	۵.۲	۳.۸	۶.۷
Cu	۵.۷	۲.۹	۵.۱	۴.۱	۲.۸	۱.۸	۳.۳	۱.۹۷	۲.۸	۴.۵	۹.۰	۱۱.۴	۴.۹	۳.۶	۵.۰	۱۱.۲	۵.۳	۱۱.۱
Dy	۴.۴۳	۴.۰۱	۴.۱۸	۴.۲۸	۴.۳۱	۵.۶۱	۴.۰۸	۷.۱۹	۳.۹۶	۶.۰۶	۴.۳۱	۵.۸۳	۴.۹۶	۵.۸۶	۴.۱۹	۵.۸۹	۴.۱	۶.۲۶
Er	۲.۴۴	۲.۲۸	۲.۲۹	۲.۴۵	۲.۲۱	۲.۷۱	۲.۰۹	۴.۱۴	۱.۸۷	۲.۹۹	۲.۰۸	۲.۷۷	۱.۹۹	۲.۹	۲.۱۶	۳.۱	۲.۱۸	۳.۳۵
Eu	۱.۱۶	۱.۰۷	۱.۰۸	۱.۱۷	۱.۰۲	۱.۷۹	۱.۰۱	۱.۲۲	۱.۰۴	۱.۸۳	۱.۱۳	۱.۵۶	۱.۰۳	۱.۹۹	۱.۰۴	۱.۵۶	۱.۰۹	۱.۲۲
Gd	۴.۰۴	۳.۷۵	۳.۸۳	۴.۰۴	۴.۴۴	۶.۱۹	۴.۰۵	۷.۲۹	۴.۱۴	۶.۵۳	۵.۰۲	۶.۴۴	۴.۲۱	۶.۲۷	۳.۹۷	۶	۳.۷۷	۶.۳
Hf	۲.۴۸	۲.۳۱	۲.۷۴	۲.۹۲	۲.۲۸	۲.۷۵	۱.۶۲	۵.۳۷	۰.۶۹	۲.۶۳	۰.۷۲	۲.۴۴	۱.۵۱	۳.۰۳	۱.۹	۴.۰۱	۲.۲	۴.۰۸
La	۳.۱	۲.۹	۲.۸	۳.۱	۳.۴	۳.۶	۳.۱	۳.۹	۳.۳	۳.۶	۳.۱	۳.۰	۳.۱	۳.۱	۲.۹	۲.۹	۳.۰	۳.۰
Li	۲.۰	۲.۰	۲.۳	۲.۰	۲.۵	۲.۹	۲.۰	۳.۴	۱.۶	۲.۰	۱.۴	۱.۶	۱.۳	۱.۲	۱.۷	۲.۲	۱.۵	۲.۱
Lu	۰.۲۶	۰.۲۲	۰.۲۶	۰.۲۴	۰.۲۲	۰.۲۲	۰.۱۹	۰.۵۷	۰.۱۵	۰.۲۴	۰.۱۷	۰.۲۲	۰.۱۶	۰.۳۲	۰.۱۸	۰.۲۷	۰.۲۱	۰.۴
Mo	۱.۵	۱.۷	۱.۹	۱.۴	۰.۷	۱.۹	۰.۹	۲.۳	۱.۱۴	۱.۸	۲.۱	۲.۷	۵.۸	۵.۶	۱.۶	۲.۱	۱.۳۳	۳.۲
Nb	۱۵.۱	۱۲.۴	۱۱.۸	۱۳.۸	۱۰.۴	۱۸.۹	۱۲.۷	۲.۰	۱۶.۱	۱۸.۳	۱۹.۴	۲۱.۲	۱۶.۵	۲۲.۸	۱۷.۱	۱۹.۷	۱۴.۷	۲۰.۳
Nd	۲.۱	۱.۹۳	۲.۱۸	۲.۰۸	۲.۵۶	۳.۷۲	۲.۲۴	۴.۲۳	۲.۲۸	۳.۹۶	۲.۶۴	۳.۷۶	۲.۲۳	۲.۸	۲.۰۹	۳.۴۳	۱.۹۸	۳.۶۳
Ni	۵	۵	۵	۴	۴	۴	۵	۳	۵	۳	۶	۴	۶	۴	۵	۳	۶	۴
Pb	۱.۰	۱.۲	۱.۲	۱.۰	۷	۹	۵	۷	۶	۲	۱.۶	۱.۴	۱.۲	۹	۷	۳	۱.۱	۱.۷
Pr	۵.۰۷	۴.۷۲	۵.۴۴	۵.۱۱	۶.۳۷	۸.۷	۵.۶۹	۱۰.۱۵	۵.۵۶	۹.۴۴	۶.۴۷	۸.۵۵	۵.۹۱	۹.۰۲	۵.۲۹	۸	۴.۸۸	۸.۴۴
Rb	۱۱.۲	۱۰.۱	۱۱.۳	۹.۸	۴.۸	۷.۷	۷.۰	۱۰.۰	۶.۴	۹.۵	۶.۵	۱۰.۲	۸.۵	۴.۲	۷.۰	۱۲.۱	۹.۶	۱۵.۹
Sb	۲.۵	۲.۶	۲.۵	۲.۱	۱.۱	۱.۲	۱	۱.۷	۱	۱.۳	۰.۹	۱.۲	۱	۱.۷	۱.۱	۱.۷	۱.۲	۲.۲
Sc	۱۳.۵	۱۴.۱	۱۴.۲	۱۳.۲	۱۳.۳	۱۰.۳	۱۲.۸	۱۲.۶	۹.۹	۱۱.۴	۱۲.۷	۱۲	۱۴.۲	۱۰.۵	۱۲.۱	۱۱.۸	۱۰.۳	۱۲.۴
Sm	۴.۵۹	۴.۲۳	۴.۲۳	۴.۶۲	۵.۰۹	۷.۴۷	۴.۸۱	۸.۵۷	۴.۸۶	۷.۸۸	۵.۶۹	۷.۷۴	۴.۹۲	۷.۵۸	۴.۵۶	۷.۰۹	۴.۲۵	۷.۲۷
Sn	۱.۴	۱.۴	۱.۴	۱.۴	۱.۷	۳.۱	۲.۱	۲.۴	۲.۱	۳.۵	۱.۸	۳.۵	۲.۲	۳.۷	۱.۹	۳.۱	۱.۸	۲.۸
Sr	۲۱.۱۷	۲۲.۷۷	۲۱.۴۹	۲۶.۱۳	۳۲.۹	۳۹.۹۱	۲۶.۵۵	۲۷.۸۴	۳۲.۸	۳۴.۱۱	۲۳.۲۴	۲۶.۰	۲۲.۴۱	۲۴.۸	۲۰.۳۹	۲۱.۰۱	۱.۸۱	۲۱.۵۶
Ta	۰.۹۲	۰.۸	۰.۷۹	۰.۹۳	۰.۶۵	۱.۱۶	۰.۷۲	۱.۳	۰.۶۶	۱.۱۳	۱.۱۷	۱.۳۱	۰.۹۶	۱.۴۱	۰.۹۷	۱.۰۹	۰.۷۵	۱.۰۷
Tb	۰.۶۹	۰.۶۴	۰.۶۶	۰.۶۸	۰.۷۱	۰.۸۸	۰.۶۹	۱.۰۸	۰.۶۶	۰.۹۵	۰.۷۵	۰.۹۴	۰.۶۷	۰.۹۲	۰.۶۵	۰.۸۹	۰.۶۳	۰.۹۶
Te	۰.۱	۰.۱	۰.۱۴	۰.۱	۰.۱	۰.۷۴	۰.۱۶	۰.۵۷	۰.۲۱	۰.۵۴	۰.۱۴	۰.۶۱	۰.۱	۰.۵۴	۰.۱۷	۰.۴۹	۰.۱	۰.۴۵
Th	۶.۹۶	۶.۰۴	۶.۷۹	۷.۱۱	۶.۳۳	۹.۳۶	۶.۱۷	۱۱.۳۱	۶.۱۴	۱۰.۵۳	۸.۰۹	۱۱	۷.۵۸	۱۰.۵۶	۶	۹.۹۱	۵.۱۶	۱۰.۳۷
Ti	۴۹.۴۹	۴۸.۵۵	۴۶.۶۶	۴۸.۴۸	۴۶.۵۷	۵۲.۳۳	۴۵.۹۶	۴۹.۴۷	۴۵.۱۴	۴۰.۲	۴۵.۴۶	۵۰.۶۵	۴۶.۷۴	۵۹.۶۵	۴۶.۱۸	۴۸.۱۲	۴۶.۸۰	۴۷.۸۸
Tl	۰.۹	۰.۴۸	۰.۴۹	۰.۴۲	۰.۲	۰.۴۳	۰.۲۷	۰.۵	۰.۲۴	۰.۴۸	۰.۲۵	۰.۴۸	۰.۲۹	۰.۵۷	۰.۲۴	۰.۵۲	۰.۳۶	۰.۶۳
Tm	۰.۴	۰.۳۸	۰.۴	۰.۴۱	۰.۳۷	۰.۴۵	۰.۳۵	۰.۶۷	۰.۳۳	۰.۴۸	۰.۳۳	۰.۴۶	۰.۳۱	۰.۴۷	۰.۳۶	۰.۵۲	۰.۳۶	۰.۵۴
U	۲.۰۸	۱.۸	۲	۲.۱	۱.۵	۱.۸	۱.۴	۳	۱.۱۱	۲.۱۲	۱.۳	۲.۱	۱.۶	۲.۳	۱.۵	۲.۵	۱.۵	۲.۵
V	۸.۸	۹.۷	۸.۵	۸.۵	۸.۷	۹.۸	۸.۴	۹.۷	۸.۸	۹.۶	۹.۱	۹.۶	۹.۰	۹.۵	۸.۳	۹.۲	۸.۷	۹.۱
W	۸.۷	۴.۹	۷.۱	۲.۱	۱.۴	۱.۹	۲	۵	۱.۳	۲.۸	۳.۵	۴	۴	۵.۴	۲.۱	۲.۹	۱.۹	۳
Y	۲.۵۳	۲.۴۲	۲.۲۳	۲.۵۱	۲.۵۵	۲.۰۷	۲.۴۹	۲.										



جدول ۲ نتایج تجزیه نمونه‌های سطحی و زیر سطحی گستره معدنی تازه‌کند به روش XRD.

ردیف	نوع	شماره نمونه	نوع دگرسانی	کانی‌ها
۱	سطحی	S-T2-3	به نسبت سالم-کلریتی	کوارتز، اندزین، ارتوکلاز، کلینوکلر، مگنزیوهورنبلند
۲		S-5-1	به نسبت سالم-سریسیتی	آلبیت، ارتوکلاز، دیوپسید، ساندین، سریسیت
۳		S-TZK-4	فیلک-آرژیلی	آلبیت، پیریت، کوارتز، سریسیت، ورمیکولیت، ایلیت
۴		S-TZK-5	کلریتی	کوارتز، آلبیت، کلینوکلر، مالاکیت، کاماسیت
۵		S-TZK-9	آرژیلی پیشرفته	کوارتز، آلونیت، دیکیت، کلسیت، انیدریت
۶		S-2-3	آرژیلی بیرونزاد	کوارتز، سریسیت، آلبیت، مونتموریلونیت، جاروسیت
۷	زیر سطحی	BH1-241	پروپیلیتی	کوارتز، اپیدوت، کلینوکلر، کلسیت
۸		BH1-343	پروپیلیتی-فیلک	انیدریت، کوارتز، آلبیت، پیریت، سریسیت، سنگ گچ، کلسیت
۹		BH1-344	فیلک	سنگ گچ، کوارتز، کلسیت، انیدریت
۱۰		BH1-431	فیلک	کلسیت، سنگ گچ، کوارتز، انیدریت، سریسیت، کریستوبالیت
۱۱		BH1-445	فیلک	آلبیت، پیریت، سنگ گچ، ایلیت، سریسیت، کوارتز



شکل ۲ تصاویر ماکروسکوپی و میکروسکوپی از دگرسانی‌های گرمایی و کانه‌زایی در گستره معدنی تازه‌کند، (الف) توده نفوذی ریز کوارتز مونزونیتی با بافت پورفیری دربردارنده درشت بلورهای شکل‌دار پلاژ کلاز رسی شده، که با رگچه‌های کربناتی قطع شده و متن سنگ را ریز بلورهای سریسیت و کوارتز شکل داده‌اند (در نور قطبیده متقاطع، XPL)، (ب) توده نفوذی مونزودیوریت به نسبت سالم دربردارنده بلورهای پلاژیوکلاز و پیروکسن همراه با اپیدوت‌های ریز بلور که در فضای بین پلاژیوکلازها جایگیری کرده‌اند (XPL)، (پ) اپیدوت‌های ریز بلور که درون کانی‌های پلاژیوکلاز طی دگرسانی پروپیلیتی شکل گرفته‌اند (XPL)، (ت) کانی کلریت که جانشین کانی‌های فرومنیزین شده و در سطح آن کانی کدر طی دگرسانی کلریتی - سریسیتی تشکیل شده است (XPL)، (ث) رگچه‌های دربردارنده انیدریت و سنگ گچ با ضخامت متغیر ۱ تا ۲٫۵ سانتی‌متر به رنگ سفید به همراه کوارتز، سریسیت و پیریت‌های ریز بلور پراکنده در متن سنگ توده نفوذی مونزونیتی که طی دگرسانی فیلک تشکیل شده‌اند، (ج) رگه - رگچه‌های اپیدوتی با ضخامت ۱ سانتی‌متر که در توده نفوذی دیوریتی طی دگرسانی پروپیلیتی شکل گرفته‌اند، (چ) بافت برشی دارای سیمان کالکوپیریت و اسپکیولاریت، (ح) بلورهای بی‌شکل کالکوپیریت که از لبه به بورت تبدیل شده و شکستگی‌های بلورهای نیمه شکل‌دار پیریت را پر کرده‌اند (XPL)، (خ) کانه‌زایی زیرسطحی پراکنده مگنتیت به همراه کالکوپیریت در دگرسانی فراگیر پروپیلیتی (XPL)، (نشانه‌های اختصاری کانی - ها برگرفته از مرجع [۱۵]) هستند.

### بررسی شاخص‌های دگرسانی گرمایی

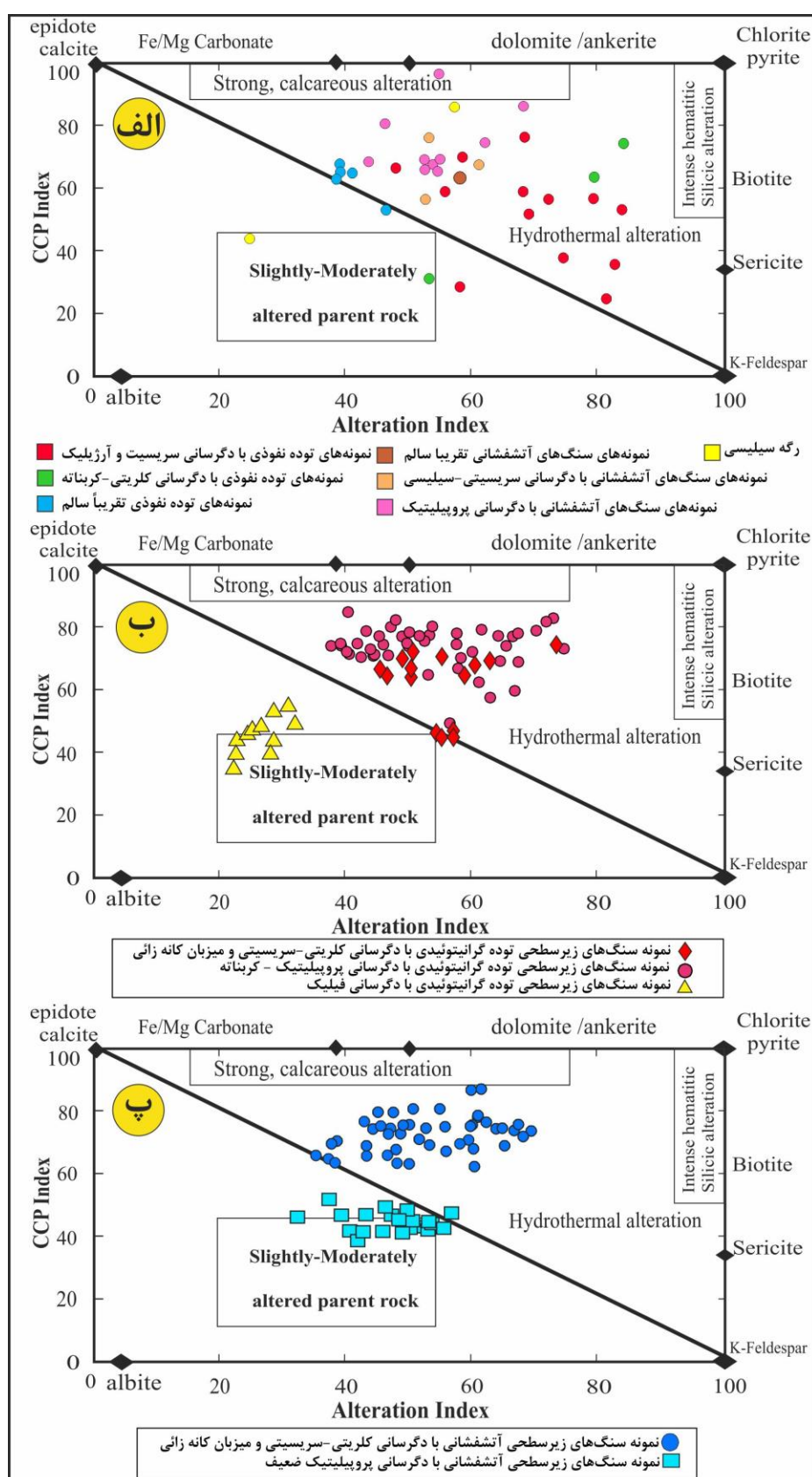
برای درک بهتر دگرسانی گرمایی و تغییرات زمین‌شیمیایی ایجاد شده در گستره معدنی تازه‌کند از یافته‌های زمین‌شیمیایی سنگ دیواره و نمودار جعبه‌ای دگرسانی که دگرسانی را با استفاده از شاخص‌های ایشیکاوا (AI) و کلریت-کربنات-پیریت (CCPI) نمایش می‌دهد استفاده شد [۶]. شاخص AI نخستین بار، برای کانسارهای سولفید توده‌ای مطرح شد [۱۶] و سپس همراه با شاخص CCPI [۳] برای کانسارهای گرمایی استفاده گردید. همچنین شاخص دگرسانی شیمیایی (CIA) برای نمونه‌های سطحی و زیرسطحی محاسبه و بررسی شد.

**شاخص دگرسانی ایشیکاوا:** این شاخص بر اساس رابطه  $AI = 100(MgO + K_2O) / (CaO + Na_2O + MgO + K_2O)$  به بیان کمی شدت دگرسانی‌های سریسیتی و کلریتی با استفاده از نسبت عناصر سنگ‌ساز افزوده شده به مجموع عناصر طی دگرسانی‌ها می‌پردازد [۳]؛ این شاخص ۲۰ تا ۶۰ در سنگ‌های دگران نشده، ۵۰ تا ۹۹ برای سنگ‌های دگران شده و ۱۰۰ در سنگ‌های کامل دگران شده است [۶].

**شاخص دگرسانی کلریت-کربنات-پیریت:** از آنجا که شاخص AI در محاسبه دگرسانی کربناتی و تفکیک دگرسانی‌های کلریتی و سریسیتی از هم ناتوان است، از شاخص CCPI بر اساس رابطه  $CCPI = 100(MgO + FeO) / (MgO + FeO + K_2O + Na_2O)$  برای تعیین شدت دگرسانی‌های کلریتی، کربناتی و پیریتی استفاده می‌شود [۳]. این شاخص قادر به تعیین MgO و FeO افزوده شده به سنگ طی جانشینی کلریت به جای آل‌بیت، فلدسپار پتاسیم و سریسیت است.

شاخص‌های دگرسانی براساس نتایج تجزیه به روش‌های طیف‌سنجی جرمی و نشر نوری پلاسما جفت شده القایی (ICP-MS و ICP-OES) ۳۷ نمونه سطحی، ۴۴ نمونه واحد آتشفشانی زیرسطحی و ۷۲ نمونه از توده نفوذی زیرسطحی دگران شده محاسبه و به تفکیک بر نمودار جعبه‌ای دگرسانی پیاده گردیدند. مقادیر شاخص دگرسانی در نمونه‌های سطحی توده نفوذی با دگرسانی آرژیلیکی - سریسیتی برابر با ۸۳/۶۲ - ۴۷/۹۷  $AI = 24/84 - 76/10$  و  $CCPI = 30/25 - 85/01$  و کربناتی برابر با ۴۳/۶۸ - ۶۴/۳۹  $AI = 43/68 - 64/39$  و  $CCPI = 30/25 - 85/01$  و در سنگ‌های آندزیتی با دگرسانی پروپیلیتی برابر با ۷۴ - ۶۰/۷۲  $AI = 60/72$  و با دگرسانی سریسیتی - سیلیسی ۵۰/۵۹ - ۵۲/۶۰  $AI = 52/60 - 50/59$  و  $CCPI = 60/40 - 71$  هستند.

همچنین مقادیر شاخص دگرسانی در نمونه‌های توده نفوذی به نسبت سالم برابر با ۳۸/۵۱ - ۴۶/۳۳  $AI = 38/51 - 46/33$  و ۷۰/۰۴ - ۵۳/۲۲  $CCPI = 53/22$  بوده که روی خط مرز واقع هستند (شکل ۳ الف). با توجه به موقعیت کانی‌های آل‌بیت، سریسیت، فلدسپار پتاسیم، کلریت، پیریت، کربنات‌های Fe و Mg دار، کلسیت و اپیدوت بر نمودار جعبه‌ای دگرسانی [۳]، نمونه‌های مورد بررسی در قلمرو دگرسانی گرمایی قرار دارند و با افزایش پیشرونده دگرسانی گرمایی به سمت دگرسانی‌های سریسیتی، کلریتی و کربناتی متمایل شده‌اند و دارای پلاژیوکلازهایی با بیشترین شدت دگرسانی هستند؛ این با شواهد سنگ‌نگاری بیانگر ظهور و فراوانی کانی‌های گرمایی سریسیت، کلریت، ایلیت و کربنات‌ها همخوانی دارد. مقادیر شاخص دگرسانی در نمونه‌های زیرسطحی توده نفوذی با دگرسانی کلریتی - سریسیتی برابر با ۴۵/۲۱ - ۷۲/۹۱  $AI = 45/21 - 72/91$  و  $CCPI = 43/86 - 73/43$  و با دگرسانی پروپیلیتی برابر با ۳۸/۷۲ - ۳۵/۹۱  $AI = 38/72 - 35/91$  و  $CCPI = 50/83 - 21/59$  هستند، که نشان دهنده قرارگیری نمونه‌ها در قلمرو دگرسانی گرمایی است و روند اصلی دگرسانی کلریتی - اپیدوتی - کربناتی را نشان می‌دهد؛ این با شواهد سنگ‌نگاری گویای ظهور و فراوانی کانی‌های گرمایی اپیدوت، کلریت، سریسیت و کربنات‌ها همخوانی دارد. همچنین مقادیر شاخص دگرسانی در نمونه‌های توده مونزونیتی با دگرسانی فیلک برابر با ۲۲/۹۲ - ۳۱/۸۲  $AI = 22/92 - 31/82$  و  $CCPI = 39/20 - 55/05$  بوده که در گستره سنگ مادر با دگرسانی کم تا متوسط واقع هستند (شکل ۳ ب). مقادیر شاخص دگرسانی در نمونه‌های زیرسطحی سنگ‌های آندزیتی با دگرسانی کلریتی - سریسیتی دربردارنده کانه‌زایی سولفیدی - اکسیدی برابر با ۶۸/۹۲ - ۳۵/۱۲  $AI = 35/12$  و  $CCPI = 63/66 - 86/24$  بوده، که نشان دهنده قرارگیری نمونه‌ها در قلمرو دگرسانی گرمایی هستند و روند اصلی دگرسانی کلریتی - کربناتی را نشان می‌دهد. در نمونه‌های آندزیتی با دگرسانی پروپیلیتی - کربناتی، مقادیر این شاخص‌ها برابر با ۳۲/۶۰ - ۲۷/۳۱  $AI = 32/60 - 27/31$  و  $CCPI = 38/94 - 62/51$  بوده که در گستره سنگ مادر با دگرسانی کم واقع هستند (شکل ۳ پ). شاخص ایشیکاوا هر دو واحد آندزیتی در گستره مشابهی قرار دارند، اما بر اساس شاخص دگرسانی کلریت - کربنات - پیریت به دلیل کاهش شدت دگرسانی پروپیلیتی و کانی‌های اپیدوت - کلریت - کربنات از هم تفکیک شده‌اند که با نتایج کانی‌شناسی همخوانی دارد.



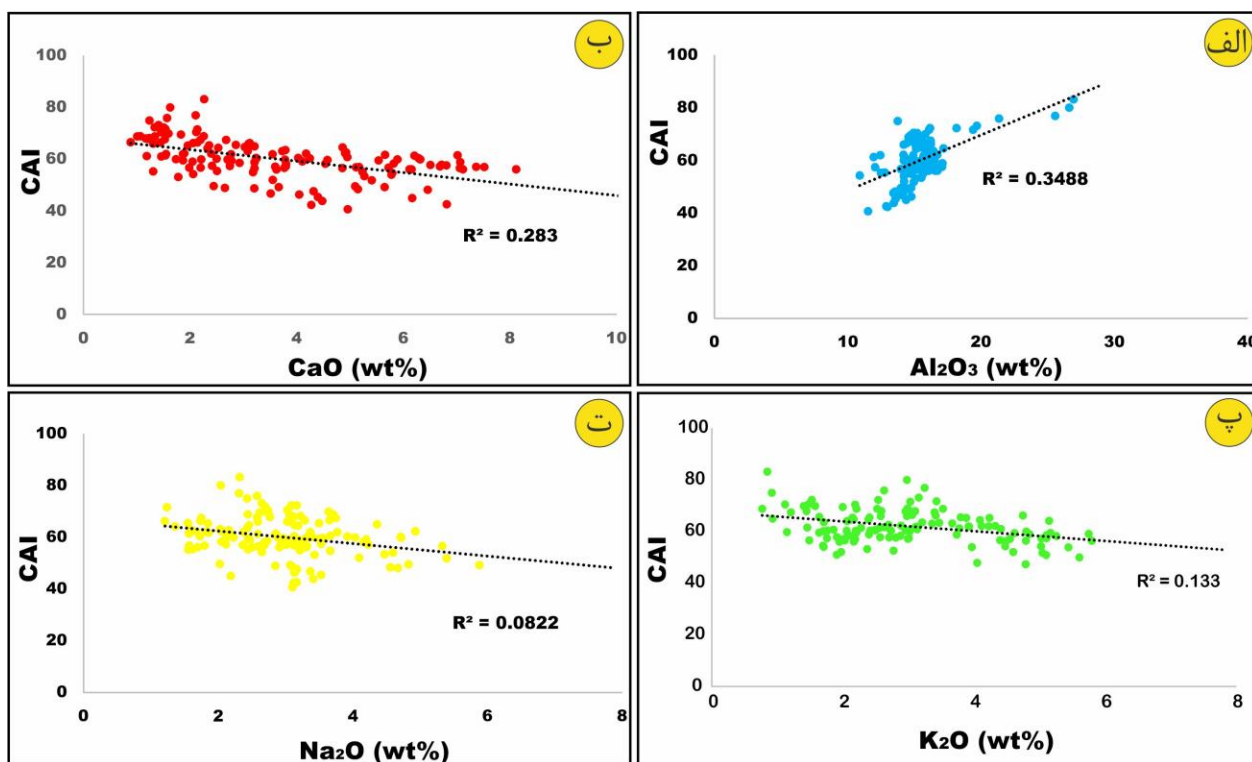
شکل ۳ نمودار جعبه‌ای دگرسانی AI نسبت به CCPI برای یافته‌های تجزیه شیمیایی نمونه‌های (الف) سطحی، (ب) توده نفوذی زیرسطحی، (پ) واحدهای آتشفشانی زیرسطحی گستره معدنی تازه‌کند.



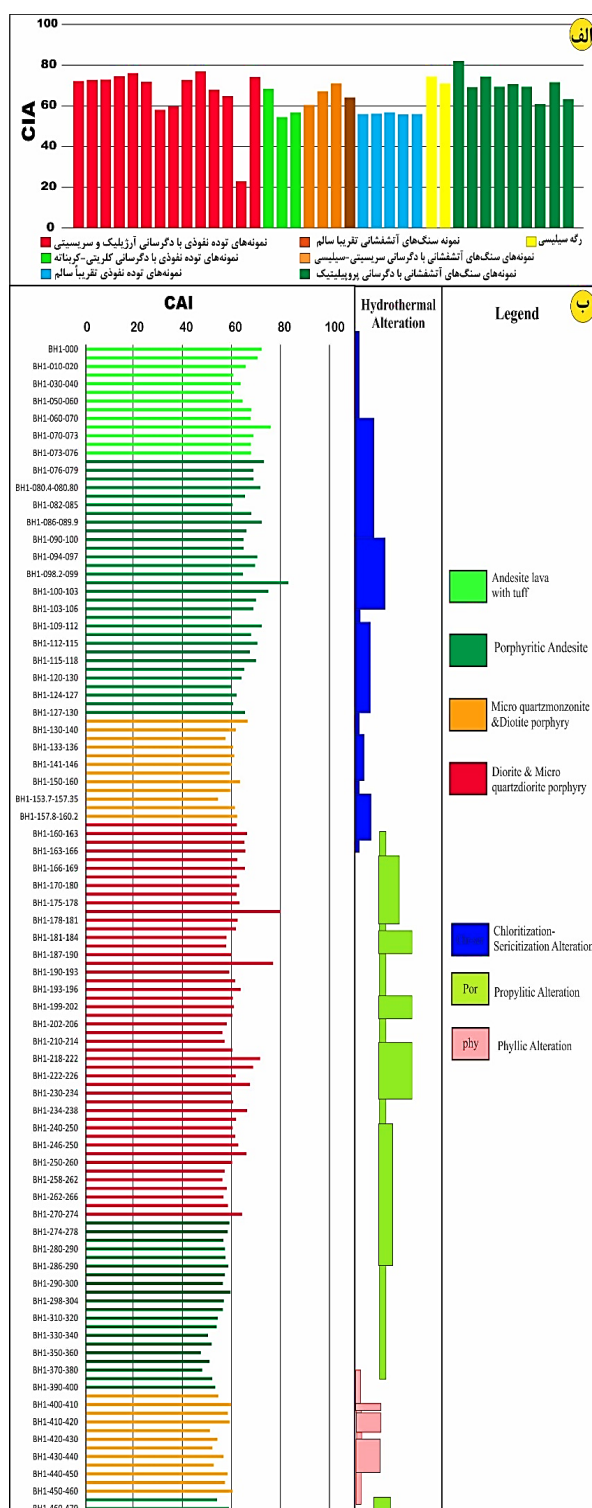
های توده نفوذی با دگرسانی آرژیلی و سریسیتی حدود ۶۶/۹۶، توده نفوذی با دگرسانی کلریتی-کربناتی حدود ۶۷/۲۷، توده نفوذی تقریباً سالم حدود ۵۶/۱۴، سنگ آندزیتی تقریباً سالم ۶۴/۲۳، سنگ آندزیتی با دگرسانی سریسیتی-سیلیسی حدود ۶۶/۱۶، سنگ آندزیتی با دگرسانی پروپیلیتی حدود ۷۰/۱۴ و برای رگه سیلیسی ۷۲/۷۴ هستند (شکل ۵ الف). همچنین با توجه به نتایج تجزیه شیمیایی نمونه‌های زیرسطحی، مقدار  $CAI$  برای واحدهای آندزیتی همراه با دگرسانی کلریتی-سریسیتی در گستره ۸۳/۲۱-۵۹/۶۳ (به طور میانگین ۶۶/۶۴)، در توده نفوذی با دگرسانی کلریتی-سریسیتی در گستره ۶۶/۴۳-۵۴/۲۷ (به طور میانگین ۶۰/۶۵)، توده نفوذی با دگرسانی پروپیلیتیک در بازه ۸۰/۰۱-۵۶/۰۶ (به طور میانگین ۶۲/۲۶)، در سنگ آندزیت پورفیری با دگرسانی ضعیف پروپیلیتی در گستره ۵۹/۴۱-۴۷/۲۸ (به طور میانگین ۵۴/۵۴) و در توده نفوذی با دگرسانی فلیک در گستره ۵۹/۸۱-۵۱/۰۰ (به طور میانگین ۵۵/۲۵) هستند. نمودار تغییرات  $CAI$  با افزایش عمق در پهنه‌های دگرسانی گستره معدنی تازه‌کند در شکل ۵ ب ارائه شده است.

شاخص شیمیایی دگرسانی: این شاخص بر اساس رابطه  $CAI=100 \times Al_2O_3 / (Al_2O_3 + CaO + Na_2O + K_2O)$  شدت دگرسانی را اندازه‌گیری می‌نماید. مقدار  $CAI$  برای کانی‌های اولیه و غیر دگرسان اغلب ۵۰ و کمتر از آن است. با پیشروی هوازدگی سنگ، کانی‌های اولیه از بین رفته و کانی‌های ثانویه تولید می‌شوند، در نتیجه مقدار  $CAI$  افزایش می‌یابد [۱۷].

مقدار  $CAI$  تابعی از مقادیر اکسیدهای  $CaO$ ،  $Al_2O_3$ ،  $Na_2O$  و  $K_2O$  است و مقادیر  $Al_2O_3$  و  $CaO$  نقش مهمی در کانی‌شناسی نمونه‌های این منطقه دارند. بررسی تغییرات جرم اکسیدهای نام برده نسبت به  $CAI$  (شکل ۴) نشان می‌دهد که با افزایش جرم  $Al_2O_3$ ،  $CAI$  نیز با شیب آرام و مثبت افزایش یافته است که با حضور کانی‌های آلومینوسیلیکاتی چون ایلیت و مونت‌موریلونیت در پهنه‌های دگرسانی همخوانی دارد. تغییر جرم  $CaO$  و  $K_2O$  نسبت به  $CAI$  روند خطی بسیار خوب و منطقی با شیب منفی نشان می‌دهد که به دلیل خروج  $Ca$  و  $K$  طی پیشرفت فرآیند دگرسانی است. تغییر  $Na_2O$  نسبت به  $CAI$  روند خطی با شیب بسیار کم و منفی را نشان می‌دهد که بیانگر اثر بسیار کم  $Na$  بر  $CAI$  است. با توجه به نتایج تجزیه شیمیایی نمونه‌های سطحی، مقادیر میانگین  $CAI$  برای نمونه -



شکل ۴ نمودار دو متغیره تغییرات اکسیدهای الف)  $Al_2O_3$ ، ب)  $CaO$ ، پ)  $K_2O$  و ت)  $Na_2O$  نسبت به  $CAI$ .



شکل ۵ الف) میانگین CAI در پهنه‌های دگرسانی نمونه‌های سطحی، ب) روند تغییرات CAI با افزایش عمق در پهنه‌های دگرسانی زیرسطحی گستره معدنی تازه‌کند.

عناصر نمونه سنگ سالم/عناصر نمونه‌های سنگ  $E.F. = [ \times 100 ]$  (1- دگرسان)

برای محاسبه عامل غنی‌شدگی از نتایج تجزیه ۵۷ نمونه‌ی توده نفوذی سطحی و زیرسطحی با دگرسانی کلریت-سربیت،

بررسی زمین‌شیمیایی و محاسبه عامل غنی‌شدگی در پهنه‌های دگرسانی برای بررسی رفتار عناصر و اکسیدها طی فرآیند دگرسانی، عامل غنی‌شدگی (E.F.) بر پایه رابطه زیر برای نمونه‌های گستره تازه‌کند محاسبه شد [۱۸]:

پروپیلیتی، فلیک و آرژیلی و دو نمونه به نسبت سالم (با نشانه اختصاری F.R) و ۳۱ نمونه از سنگ‌های آندزیتی سطحی و زیرسطحی با دگرسانی کلریت-سریسیت، کربناتی، پروپیلیتی و سیلیسی استفاده شد. سپس عامل غنی‌شدگی برای آنها بر اساس یک نمونه سنگ مادر دیوریتی و یک نمونه سنگ آندزیتی تقریباً سالم انتخاب شده بر پایه بررسی‌های سنگ-نگاری و شاخص‌های دگرسانی، محاسبه شد. نتایج به دست آمده اطلاعات با ارزشی از شرایط فیزیکوشیمیایی و تغییرات کانیایی طی گسترش رخداد دگرسانی در گستره معدنی تازه-کند ارائه می‌دهد.

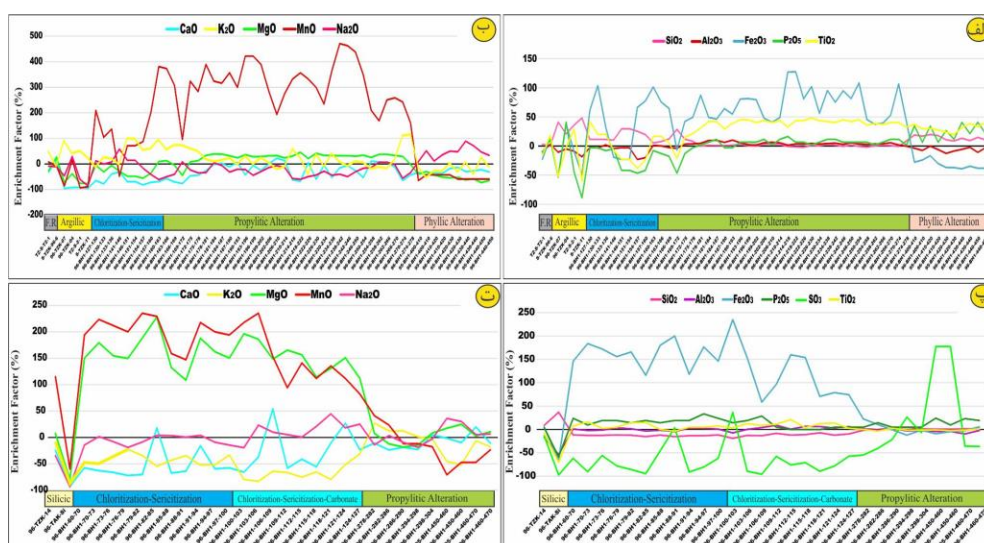
**عناصر اصلی و فرعی:** بیشترین مقادیر غنی‌شدگی در بین اکسید عناصر اصلی به ترتیب مربوط به  $\text{MgO}$ ،  $\text{MnO}$  و  $\text{Fe}_2\text{O}_3$  و  $\text{SO}_3$  است (شکل ۶). در پهنه دگرسانی سیلیسی با سنگ میزبان آندزیتی و دگرسانی آرژیلیک، کلریتی-سریسیتی و فلیک با سنگ میزبان توده نفوذی غنی‌شدگی نشان می‌دهد و در پهنه‌های دگرسانی کلریتی-سریسیتی و پروپیلیتیک با سنگ میزبان آندزیتی و دگرسانی پروپیلیتی با سنگ میزبان توده نفوذی تهی‌شده است. در واقع، میزان غنی‌شدگی از پهنه سیلیسی به سمت پهنه پروپیلیتی کاهش می‌یابد. کاهش جرم  $\text{SiO}_2$  گویای کائولینیتی شدن فلدسپارهای سنگ‌های آندزیتی و توده نفوذی و آزاد شدن بخشی از سیلیس به درون محلول-های دگرسان کننده است. طی فرآیند دگرسانی،  $\text{Al}_2\text{O}_3$  و  $\text{P}_2\text{O}_5$  رفتار دوگانه افزایشی و کاهش‌ی نشان می‌دهند، که می‌تواند با عواملی چون pH پایین سیال‌های دگرسان کننده، نسبت بالای سیال به سنگ، تغییر در شدت دگرسانی و فعالیت بالای یون‌های کمپلکس‌ساز در سیال در ارتباط باشد [۱۹-۲۱].  $\text{Al}_2\text{O}_3$  در پهنه سیلیسی بیشترین و در پهنه آرژیلیک کمی تهی‌شدگی نشان می‌دهد که می‌تواند به دلیل ماهیت اسیدی شدید ( $\text{pH} < 2$ ) سیال گرمابی در پهنه سیلیسی باشد [۲۲، ۲۳]. در پهنه دگرسانی کلریتی-سریسیتی و پروپیلیتی غنی‌شدگی و در سایر پهنه‌های دگرسانی تهی‌شدگی نشان می‌دهد. تهی‌شدگی  $\text{P}_2\text{O}_5$  به دلیل تخریب کانی‌های فسفاتی (چون آپاتیت) و غنی‌شدگی آن به دلیل وجود کانی-های ثانویه فسفاتی در این پهنه‌هاست.  $\text{TiO}_2$  تقریباً از روند  $\text{Fe}_2\text{O}_3$  پیروی می‌کند، اما مقدار غنی‌شدگی آن نسبت به آهن کمتر بوده و  $\text{Fe}_2\text{O}_3$  در پهنه دگرسانی‌های فلیک، آرژیلیک و سیلیسی و  $\text{TiO}_2$  در پهنه آرژیلیک و سیلیسی تهی شده است که نشانگر دگرسانی کانی‌های فرومنیزین چون بیوتیت و هورنبلند و آزاد شدن آهن و تیتان و خروج آن‌ها از محیط

است. همچنین تهی‌شدگی  $\text{Fe}_2\text{O}_3$  در پهنه دگرسانی فلیک می‌تواند در ارتباط با اکسایش پیریت‌های توده نفوذی و تولید اسید سولفوریک و سولفات فروی محلول باشد که سبب خروج  $\text{Fe}_2\text{O}_3$  از سامانه شده است [۲۳]. تهی‌شدگی  $\text{TiO}_2$  نیز می‌تواند دلیلی بر ماهیت درون‌زاد سیال‌های دگرسان کننده باشد [۲۴].  $\text{Fe}_2\text{O}_3$  در پهنه دگرسانی کلریتی-سریسیتی و پروپیلیتی به دلیل حضور کانی‌های اسپیکولاریت، هماتیت و مگنتیت غنی‌شدگی نشان می‌دهد. افزایش جرم  $\text{MnO}$  در دگرسانی پروپیلیتی و کلریتی-سریسیتی می‌تواند دلیلی بر تبدیل  $\text{Mn}^{2+}$  به  $\text{Mn}^{4+}$  و تثبیت این عنصر به صورت اکسید و هیدرواکسیدهای غیرقابل حل در این سامانه باشد [۲۵]. افزون بر آن، تخریب کانی‌های فرومنیزین طی دگرسانی‌های آرژیلیک و سیلیسی شدن شرایط لازم برای خروج بخشی  $\text{Mn}$  از سامانه را فراهم نموده است [۲۳، ۲۶]. خروج  $\text{K}_2\text{O}$ ،  $\text{Na}_2\text{O}$  و  $\text{CaO}$  از سامانه نشانگر دگرسانی فلدسپارها به ویژه پلاژیوکلاز و آزاد شدن بخشی از این عناصر به درون محلول‌های دگرسان کننده است. نهشته شدن کانی‌های کربناتی و کلسیت به صورت رگچه‌ای در برخی از نمونه‌های دگرسانی کلریتی-سریسیتی-کربناتی و پروپیلیتی با سنگ میزبان آندزیتی می‌تواند دلیلی بر افزایش جرم  $\text{CaO}$  باشد.  $\text{Na}_2\text{O}$  در پهنه دگرسانی‌های پروپیلیتی و فلیک غنی‌شدگی نشان می‌دهد که دلیل آن شستشوی به نسبت کم سدیم و وارد شدن آن در کانی‌های سدیم‌دار چون آلبیت و تا حدی مونتموریلونیت است [۲۷].  $\text{K}_2\text{O}$  در دگرسانی‌های آرژیلیک و کلریتی-سریسیتی با سنگ میزبان توده نفوذی غنی‌شدگی نشان می‌دهد و به نظر می‌رسد که پتاسیم ناشی از هوازدگی فلدسپارهای پتاسیم درون کانی-هایی چون ایلیت، مونتموریلونیت و سریسیت تثبیت شده است.  $\text{K}_2\text{O}$  در دگرسانی‌های سیلیسی و کلریتی-سریسیتی با سنگ میزبان آندزیتی تهی‌شدگی نشان می‌دهد که می‌تواند به دلیل دگرسانی فلدسپارهای پتاسیم باشد. غنی‌شدگی  $\text{MgO}$  در دگرسانی‌های کلریتی-سریسیتی و پروپیلیتیک می‌تواند به دلیل تثبیت منیزیم در کانی کلریت و کلینوکلر باشد (شکل ۶).  $\text{SO}_3$  در همه پهنه‌های دگرسانی نمونه‌های توده نفوذی به ویژه دگرسانی فلیک غنی‌شدگی نشان می‌دهد که به دلیل حضور کانی‌های گوگرددار چون سولفیدها (پیریت) و سولفات‌ها (سنگ گچ و انیدریت) است.

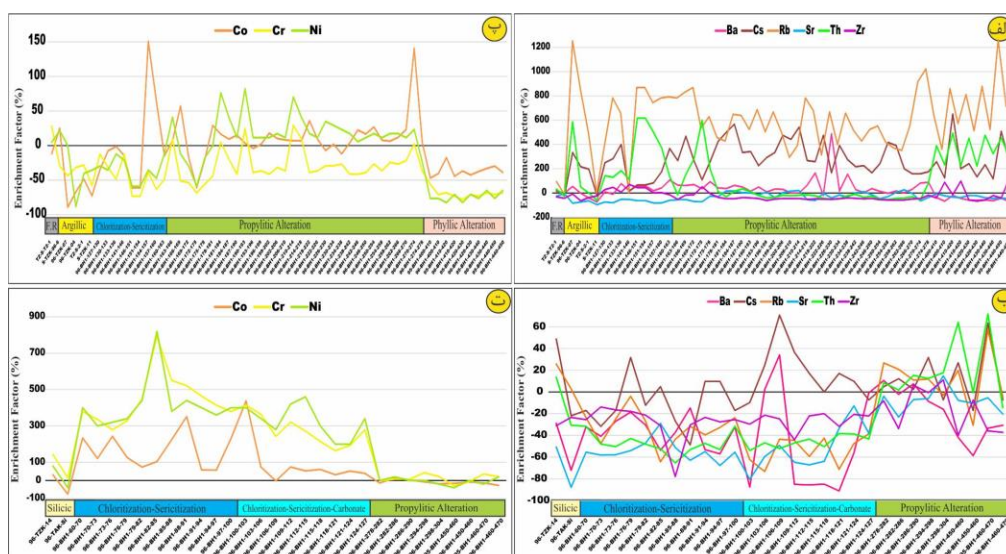
**بررسی تغییرات عناصر سنگ دوست درشت یون:**  $\text{Sr}$  به دلیل تخریب پلاژیوکلازها و آزاد شدن آن به سیال گرمابی در همه پهنه‌های دگرسانی تهی‌شدگی نشان می‌دهد [۲۸]. کاهش جرم

حال این عنصر نیز دچار تهی‌شدگی و غنی‌شدگی شده است که می‌تواند ناشی از اسیدیته بالای سیال‌های مسئول دگرسانی، نسبت بالای سیال به سنگ و فعالیت بالای یون‌های کمپلکس ساز در سیال باشد. دمای بالا و شرایط اسیدی باعث تحرک Zr و دمای پایین و شرایط قلیایی سبب تثبیت آن می‌شود [۳۲، ۳۳]. در نمونه‌های مورد بررسی، روند Zr در همه پهنه - های دگرسانی تهی‌شدگی نشان می‌دهد که می‌تواند به دلیل دمای بالا و شرایط اسیدی سیال دگرسان کننده باشد (شکل - های ۷ الف و ب).

Sr نشانگر همپوشی محلول‌های دگرسان کننده درونزاد با محلول‌های برونزاد است. Ba، Rb و Cs در پهنه‌های دگرسانی با سنگ میزبان توده نفوذی به دلیل تثبیت و تمرکز در کانی - های رسی غنی‌شدگی [۲۷، ۲۹] و در پهنه دگرسانی‌های کلریتی - سرپیتی و سیلیسی با سنگ میزبان آندزیتی به دلیل تخریب فلدسپارها تهی‌شدگی نشان می‌دهد. تهی‌شدگی Rb به دلیل تخریب فلدسپارها به ویژه شکستن فلدسپارهای پتاسیم - دار سنگ مادر طی دگرسانی است [۳۰]. اغلب Th طی گسترش فرآیندهای دگرسانی بی‌تحرک می‌ماند [۳۱]، با این



شکل ۶ روند تغییرات عامل غنی‌شدگی (E.F)، تهی‌شدگی و غنی‌شدگی اکسید عناصر اصلی نمونه‌های زیرسطحی و سطحی الف و ب) توده نفوذی (سنگ سالم=F.R) و پ و ت) سنگ‌های آندزیتی در پهنه‌های دگرسانی مختلف.



شکل ۷ روند تغییرات عامل غنی‌شدگی (E.F)، تهی‌شدگی و غنی‌شدگی عناصر سنگ دوست درشت یون در نمونه‌های زیرسطحی و سطحی الف) توده نفوذی (سنگ سالم=F.R) و ب) سنگ‌های آندزیتی و عناصر واسط با شدت میدان بالا در نمونه‌های زیرسطحی و سطحی پ) توده نفوذی و ت) سنگ‌های آندزیتی در پهنه‌های دگرسانی مختلف.

**بررسی تغییرات عناصر واسط با شدت میدان بالا:** حضور عناصر Cr، Co و Ni در سنگ‌های دگرسان شده به شدت به pH محیط وابسته است. pH پایین [۳۴] سبب تخریب کانی‌های فرومنیزین طی گسترش فرآیند دگرسانی شده و شرایط لازم برای شستشوی بخشی و تهی‌شدگی این عناصر را فراهم می‌نماید [۲۳]. همچنین افزایش جرم این عناصر با ورود سیال‌های دگرسان کننده به سامانه رخ می‌دهد. Cr، Co و Ni در همه پهنه‌های دگرسانی با سنگ میزبان توده نفوذی و پهنه سیلیسی تهی‌شدگی، Co در پهنه پروپیلیت غنی‌شدگی و Cr، Co و Ni در پهنه کلریتی-سریسیتی-کربناتی با سنگ میزبان آندزیتی همراه با کانه‌زایی غنی‌شدگی نشان می‌دهند (شکل-های ۷ پ و ت). عناصری چون Co و Ni در سولفیدها جانشین می‌شوند و نسبت Co/Ni شرایط تشکیل کانی‌ها را بیان می‌کند. مقدار Co و Ni و نسبت Co/Ni آن‌ها نیز در نمونه‌های دگرسان شده برای تعیین چگونگی تشکیل کانسارها می‌تواند استفاده شود [۳۵، ۳۶]. از نظر زایشی، نسبت Co/Ni در کانسارهای با خاستگاه آتشفشانی، رسوبی و گرمابی به ترتیب بیش از ۱۰-۵، کمتر از یک و کمتر از ۵ است [۳۵]. این نسبت به طور میانگین برای نمونه‌های سطحی، نمونه‌های سنگ آندزیتی زیرسطحی و نمونه‌های توده نفوذی زیرسطحی مورد بررسی به ترتیب برابر با ۱/۲۸، ۲/۲۴ و ۲/۰۶ ppm بوده که نشانگر خاستگاه گرمابی گستره معدنی تازه‌کنداست.

افزایش جرم عناصر کانی‌ساز Cu، Pb و Zn در سامانه دگرسانی مورد بررسی به نظر می‌رسد که این افزایش جرم به دلیل ورود آن‌ها توسط سیال‌های دگرسان کننده به سامانه رخ داده باشد که می‌تواند برآمده از محلولی با خاستگاه ماگمایی و یا فروشست از سنگ‌های پیرامون باشد. غنی‌شدگی بسیار بالای مس، گاهی سرب و به‌ندرت روی به دلیل حضور کانی‌های سولفیدی (کالکوپیریت، کوولیت، کالکوسیت، بورنیت و گالن) و کانی‌های اکسیدی (مالاکیت و آزوریت) است. غنی‌شدگی روی نیز می‌تواند به دلیل نقش کانی‌های رسی در تثبیت و تمرکز آن باشد [۳۷] (شکل‌های ۸ الف و ب).

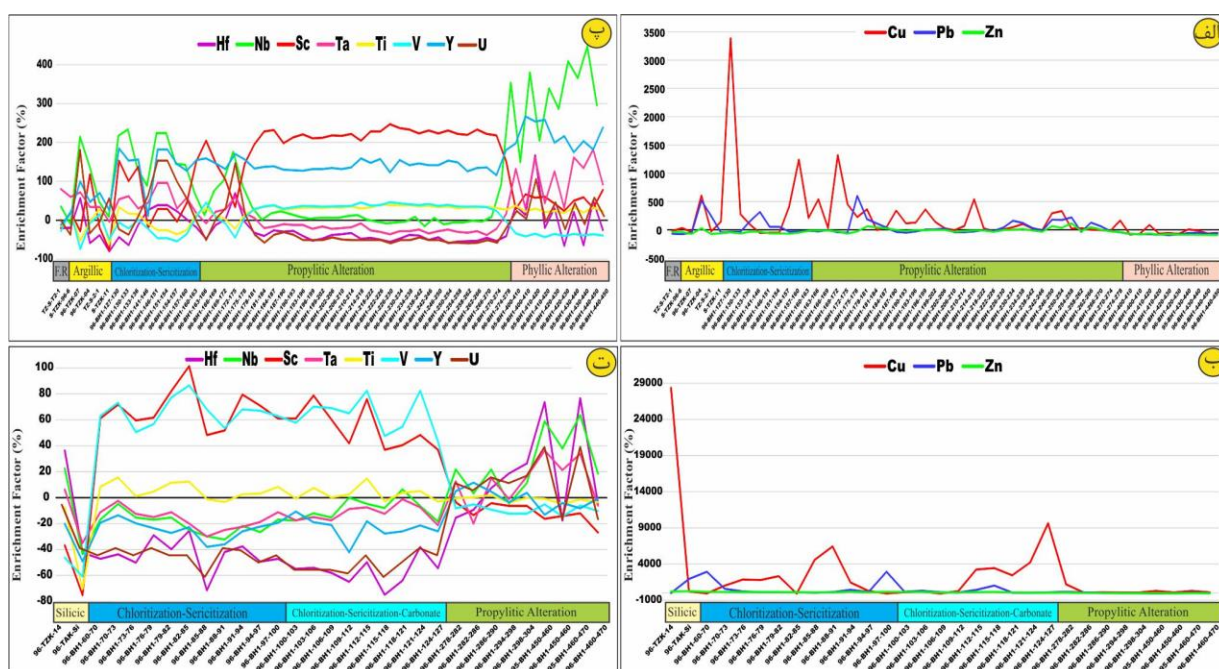
**بررسی تغییرات عناصر با شدت میدان بالا:** روند Hf در همه پهنه‌های دگرسانی تهی‌شدگی نشان می‌دهد. Nb در دگرسانی‌های کلریتی-سریسیتی و فلیک با سنگ میزبان توده نفوذی غنی-شدگی و در سایر دگرسانی‌ها تهی‌شدگی نشان می‌دهد. شستشوی Nb نیز به نوعی بیانگر اسیدیتته بالای سیال‌های

دگرسان کننده است [۲۴]. غنی‌شدگی Nb و Ta می‌تواند به دلیل تثبیت آن‌ها توسط کانی‌های رسی باشد [۳۸]. Ta، V و Y اغلب طی گسترش فرآیندهای دگرسانی بی‌تحرك هستند [۳۱]. در حالیکه در سنگ میزبان آندزیتی با دگرسانی کلریتی-سریسیتی-کربناتی، Ta و Y تهی‌شدگی و V غنی-شدگی، در دگرسانی پروپیلیت Ta غنی‌شدگی و V و Y روند بدون تغییر و در دگرسانی سیلیسی، هر سه عنصر تهی‌شدگی نشان می‌دهند. در سنگ میزبان توده نفوذی، Y در همه دگرسانی‌ها غنی‌شدگی نشان می‌دهد و در دگرسانی‌های آرژلیک، کلریتی-سریسیتی و فلیک، V تهی‌شدگی و Ta غنی‌شدگی، در دگرسانی پروپیلیت V غنی‌شدگی و Ta تهی-شدگی نشان می‌دهد. به نظر می‌رسد که این رفتارهای غیرعادی دوگانه افزایش و کاهش ناشی از اسیدیتته بالای سیال‌های مسئول دگرسانی، نسبت بالای سیال به سنگ و فعالیت بالای یون‌های کمپلکس‌ساز در سیال باشد [۲۱]. غنی‌شدگی V به دلیل تمرکز و تثبیت آن در کانی‌های چون آتازات صورت می‌گیرد [۳۹] (شکل‌های ۸ پ و ت).

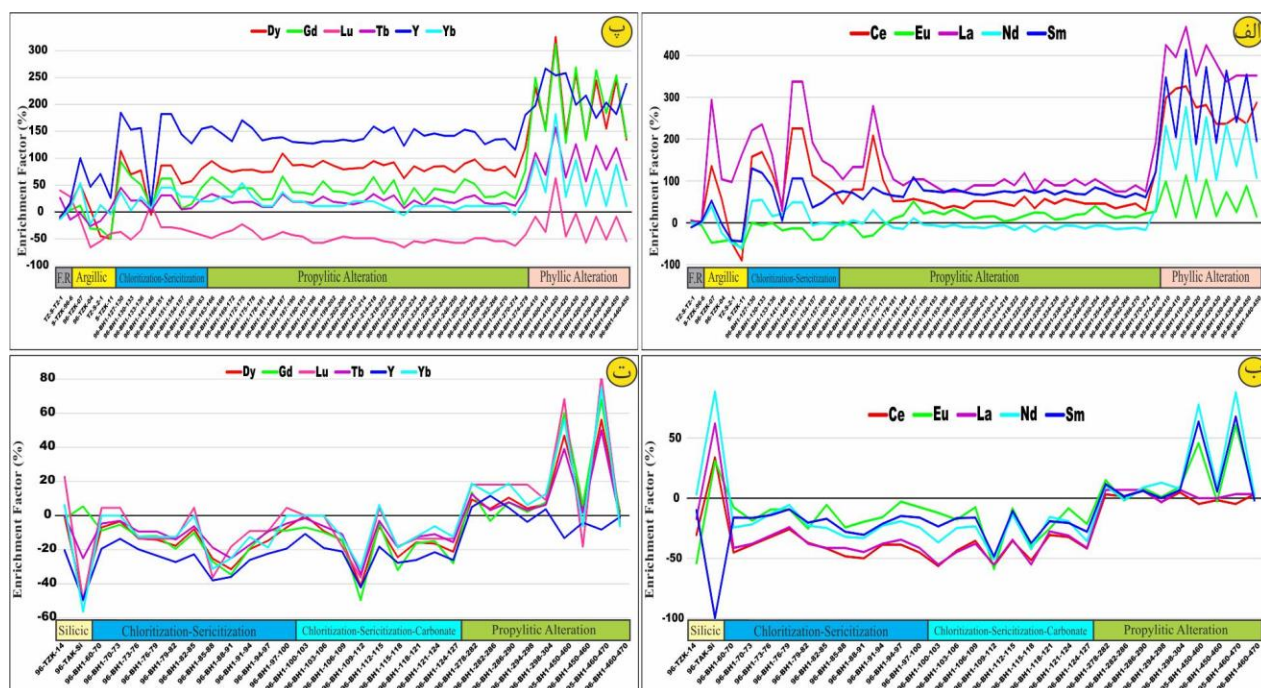
U از عناصر با شدت میدان پایین محسوب می‌شود [۱۹] و خروج نسبی آن از سامانه دگرسانی، طبیعت اکسایشی سیال‌های دگرسان کننده را نشان می‌دهد که با حضور اسپیکولاریت در پهنه کلریتی-سریسیتی-کربناتی در گستره معدنی تازه‌کند همخوانی دارد (شکل‌های ۸ پ و ت).

**بررسی تغییرات عناصر خاکی نادر:** در پهنه‌های دگرسانی، این عناصر رفتار متفاوت دارند و بود و نبود آنها با pH، پتانسیل اکسایش-کاهش (Eh) و غلظت کمپلکس‌های در دسترس و نسبت آب به سنگ (W/R) کنترل می‌شود، به طوری که در شرایط اسیدی و نسبت بالای آب به سنگ و در حضور لیگاندهای کمپلکس‌ساز چون  $\text{SO}_4^{2-}$ ،  $\text{PO}_4^{3-}$ ،  $\text{CO}_3^{2-}$  و  $\text{Cl}^-$  به حرکت در می‌آیند [۴۰، ۴۱]. بررسی عناصر خاکی نادر در گستره تازه‌کند نشان می‌دهد که LREEها با سنگ میزبان توده نفوذی در همه دگرسانی‌ها غنی‌شده‌اند در حالیکه با دگرسانی پروپیلیت غنی‌شدگی کمتری دارند. از بین LREEها Eu کمترین غنی‌شدگی را دارد و در پهنه دگرسانی‌های آرژلیک و کلریتی-سریسیتی با تهی‌شدگی همراه است. LREEها با سنگ میزبان آندزیتی در دگرسانی‌های سیلیسی و پروپیلیت غنی‌شدگی و در پهنه کانه‌زایی کلریتی-سریسیتی-کربناتی تهی‌شدگی نشان می‌دهند (شکل‌های ۹ الف و ب).





شکل ۸ روند تغییرات عامل غنی‌شدگی (E.F)، تهی‌شدگی و غنی‌شدگی عناصر کانی‌ساز Cu، Pb و Zn در نمونه‌های زیرسطحی و سطحی (الف) توده نفوذی (سنگ سالم=F.R) و (ب) سنگ‌های آندزیتی و عناصر با شدت میدان بالا به همراه U در نمونه‌های زیرسطحی و سطحی (پ) توده نفوذی و (ت) سنگ‌های آندزیتی در پهنه‌های دگرسانی مختلف.



شکل ۹ روند تغییرات عامل غنی‌شدگی (E.F)، تهی‌شدگی و غنی‌شدگی LREEها در نمونه‌های زیرسطحی و سطحی (الف) توده نفوذی (سنگ سالم=F.R) و (ب) سنگ‌های آندزیتی و HREEها در نمونه‌های زیرسطحی و سطحی (پ) توده نفوذی و (ت) سنگ‌های آندزیتی در پهنه‌های دگرسانی مختلف.

به ترتیب برابر با  $۴۰/۲۳$ ،  $۱۳/۹۵$ ،  $۱/۰۷$ ،  $۰/۶۵$  و  $۰/۲۸$  بوده، که نشانگر مقادیر پایین عناصر خاکی نادر در توده نفوذی هستند. Ce و Eu در این نمونه‌ها بی‌هنجاری مثبت نشان داده‌اند. توزیع عناصر خاکی نادر در سنگ آندزیتی سالم نیز دارای شیب منفی کم از LREE به سمت HREE است (شکل ۱۰ الف). به طور میانگین، مجموع LREE ها، HREE ها و نسبت -های Hf/Sm، Nb/La و Th/La به ترتیب برابر با  $۳۷/۰۸$ ،  $۰/۵۳$  و  $۰/۴۳$  هستند که نسبت به توده نفوذی مقدار عناصر خاکی نادر بالایی دارند. Ce بی‌هنجاری مثبت و Eu بی‌هنجاری منفی نشان می‌دهد. در نمودار عنکبوتی عناصر کمیاب بهنجار شده نسبت به گوشته اولیه [۴۵]، الگوی جدایش یافته‌ای وجود دارد، به طوری که LREE ها و LILE ها نسبت به HREE ها غنی‌شدگی مشخصی را نشان می‌دهند و در کل از Cs تا Lu یک روند کاهشی دیده می‌شود. براساس این نمودار، در نمونه‌های مربوط به توده نفوذی عناصر Sr، Pb، U و Ba بی‌هنجاری مثبت و Nb، Rb، Y و Th بی‌هنجاری منفی نشان می‌دهند. غنی‌شدگی Sr می‌تواند در ارتباط با پلاژیوکلازهای سالم و بدون دگرسانی باشد. این در حالی است که در سنگ آندزیتی U، Pb، Ta و Rb بی‌هنجاری مثبت و Th، Ti و Nb بی‌هنجاری منفی نشان می‌دهند (شکل‌های ۱۰ الف و ب).

#### توزیع عناصر خاکی نادر در دگرسانی آرژیلیک

الگوی کلی توزیع REE ها بهنجار شده نسبت به کندریت [۴۴] در سنگ میزبان توده نفوذی با دگرسانی آرژیلیک یک شیب منفی مشخص از LREE ها به سمت HREE ها را نشان می‌دهد که نشانگر جدایش و غنی‌شدگی LREE ها نسبت به HREE ها طی فرآیند دگرسانی آرژیلی است. به طور میانگین، مجموع LREE ها، HREE ها و نسبت‌های Hf/Sm، Nb/La و Th/La به ترتیب برابر با  $۵۱/۹۶$ ،  $۱۷/۱۱$ ،  $۰/۸۷$  و  $۰/۴۷$  هستند. تهی‌شدگی بیشتر REE ها به ویژه در ۳ نمونه از دگرسانی آرژیلیک نسبت به سنگ اولیه دیده می‌شود. براساس نتایج تجزیه کانی‌شناسی (XRD)، این نمونه‌ها دارای کانی‌های آلونیت، دیکیت، مونتموریلونیت، آلبیت، کوارتز و مسکویت بوده که فازهای کانایی رایج در دگرسانی آرژیلیک پیشرفته هستند که در اثر واکنش سیال‌های به شدت اسیدی، شستشوی کامل عناصر قلیایی و تخریب کامل فلدسپارها و فازهای سیلیکاتی مافیک تشکیل می‌شوند [۲].

HREE ها روندی مانند LREE ها دارند و در توده نفوذی در همه دگرسانی‌ها غنی‌شدگی نشان می‌دهند، به جز Lu که با کاهش جرم همراه است. HREE ها در سنگ میزبان آندزیتی با دگرسانی‌های سیلیسی و پروپیلیتی غنی‌شدگی دارند و در پهنه کلریتی-سریسیتی-کربناتی با تهی‌شدگی همراه هستند (شکل-های ۹ پ و ت). تهی‌شدگی و خروج LREE ها و HREE ها نشانگر نقش مهم سیال‌های درونزاد در گسترش و تکامل دگرسانی‌ها و نقش فعالیت بالای یون‌های کمپلکس‌ساز در سیال‌های دگرسان کننده است، که شرایط مناسب برای جذب و رویش لانتانیدها فراهم نشده است [۲۱]. غنی‌شدگی آن‌ها نیز بیانگر حضور کانی‌هایی چون کائولینیت، مونت‌موریلونیت و ایلیت برای جذب و رویش لانتانیدها بوده که نقش آن‌ها در تثبیت لانتانیدها به ویژه LREE ها به اثبات رسیده است [۴۲].

#### بررسی عناصر خاکی نادر در گستره معدنی تازه‌کند

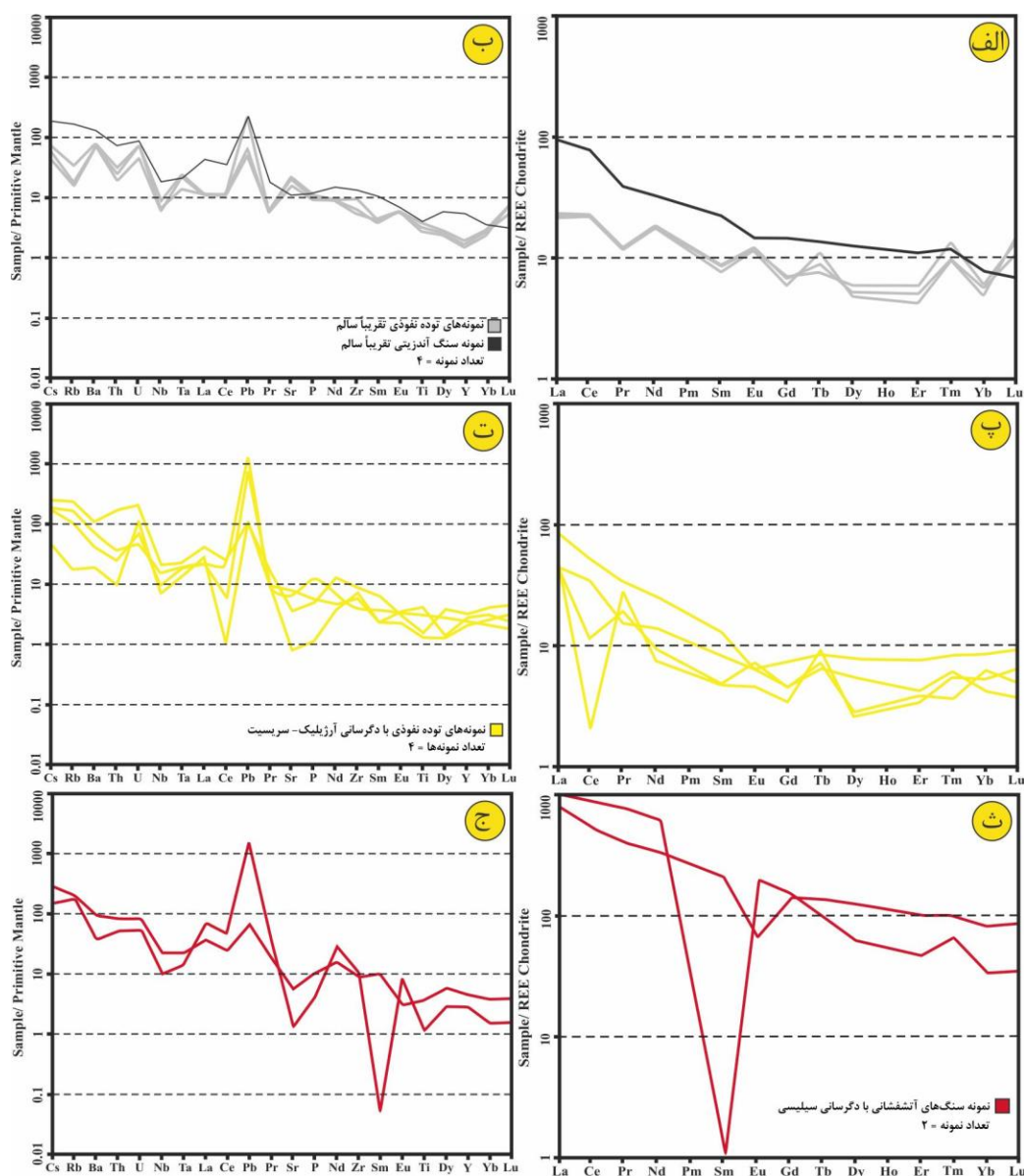
بررسی تمرکز و چگونگی توزیع REE ها در ۹۰ نمونه سنگ میزبان آندزیتی، توده نفوذی و رگه‌های دربردارنده کانه‌سازی سولفیدی  $\pm$  اکسیدی در گستره معدنی تازه‌کند (جدول ۳) نشان می‌دهد که تمرکز عناصر خاکی نادر ( $\Sigma$ REE) در همه نمونه‌ها به نسبت بالا بوده و مقادیر آن‌ها از  $۲۲۶/۷۸$  تا  $۴۲/۲۳$  ppm در تغییر است. تغییرات LREE ها طی دگرسانی روند افزایشی نشان می‌دهند و مقادیر آن‌ها در گستره  $۱۷۷$  - ppm در ۲۹ تغییر است و مقادیر HREE نشان می‌دهد که این عناصر به طور کلی طی فرآیند دگرسانی در منطقه، نسبت به LREE ها کاهش یافته است و مقادیر آن‌ها در گستره  $۱۲/۵$  -  $۴۸/۸$  قرار دارد. نسبت LREE ها به HREE ها حدود  $۱/۷۵$  -  $۸/۵۲$  است، که بیانگر غنی‌شدگی LREE ها است. سیال‌های گرمایی غنی از Cl دارای ویژگی‌هایی چون غنی‌شدگی از LREE ها و مقادیر کمتر از یک برای Hf/Sm، Nb/La و Th/La هستند. سیال‌های غنی از F نیز از LREE ها و HFSE ها غنی بوده و نسبت‌های Hf/Sm، Nb/La و Th/La آن‌ها بیشتر از یک هستند [۴۳].

#### توزیع عناصر خاکی نادر در نمونه‌های توده نفوذی و آندزیت به نسبت سالم

الگوی توزیع عناصر خاکی نادر بهنجار شده نسبت به کندریت [۴۴] در توده نفوذی به نسبت سالم دارای شیب منفی کم از LREE ها به سمت HREE ها است. به طور میانگین، مجموع LREE ها، HREE ها و نسبت‌های Hf/Sm، Nb/La و Th/La

جدول ۳ نتایج محاسبات انجام شده برای عناصر خاکی نادر و کمیاب بر اساس داده‌های تجزیه شیمیایی توده‌های نفوذی و واحدهای آتشفشانی گستره معدنی تازه‌کند به روش ICP-MS بر حسب ppm، که ۹ نمونه اول سطحی و ۸۱ نمونه زیر سطحی همراه با عمق مشخص شده‌اند.

نمونه	LREE	HREE	LREE	ΣREE	Eu/Eu*	Ce/Ce*	Pr/Pr*	(La/Sm)n	Sm/Yb	La/Sm	(La/Yb)n	(Gd/Yb)n	Th/La	Nb/La	Hf/Sm	Co/Ni
S-TZ-T2-1	۴۰۷۵	۱۲۴۹	۲۲۶	۵۲۲۴	۱۷۴	۱۲۸	۰۶۱	۲۹۲	۱۴۸	۴۸۶	۴۸۴	۱۲۳	۰۲۵	۰۷۸	۱۰۷	۱۲
S-TZK-06	۴۰۰۴	۱۵۶۲	۲۵۶	۵۵۶۶	۱۴	۱۲۳	۰۶۱	۲۲۵	۱۲۷	۳۹	۳۶۱	۱۱۸	۰۲۲	۰۵۶	۰۹۵	۱۴۷
S-TZK-13	۳۹۹۱	۱۳۷۳	۲۹۱	۵۳۶۴	۱۵۳	۱۲	۰۵۹	۲۲۸	۱۲۳	۳۱۱	۳۹۶	۱۲۳	۰۲۸	۰۶	۱۲	۱۳۳
S-TZK-07	۹۱۸۶	۲۲۸۳	۴۰۲	۱۱۴۶۹	۰۶۱	۰۸۵	۰۵۵	۶۳۸	۱۴۲	۱۰۵۹	۱۰۱۴	۰۸۹	۰۲۸	۰۴۹	۱۲۴	۰۱۵
S-TZK-11	۲۹۰۳	۱۲۲	۲۲	۴۲۲۳	۱۰۹	۰۰۵	۷۴۶	۱۱۶۷	۰۸۳	۱۹۳۵	۱۰۸۶	۰۳۵	۰۰۴	۰۲۵	۰۴۳	۰۶
S-TZ-2-1	۳۲۲۲	۱۶۷۷	۱۹۳	۴۹۱۹	۱۴۷	۰۳۶	۱۹	۸۵	۰۲۳	۱۴۱	۶۹۳	۰۲۳	۰۱۴	۰۲۵	۱۲۹	۱۲۳
S-TZK-04	۵۴۵۲	۱۵۶۳	۳۴۹	۷۰۱۵	۱۰۴	۱۱۴	۰۷۲	۵۱۸	۱۸۱	۸۵۹	۱۰۵۱	۱۰۹	۰۲	۰۷۱	۰۵۱	۴
S-TZK-14	۹۶۰۷	۲۲۱	۲۹۹	۱۲۸۱۷	۰۳۸	۰۹	۰۹۶	۳۷۱	۲۲۹	۶۱۵	۹۵۴	۱۷۵	۰۲۹	۰۲۹	۰۸۱	۱۸
S-TAK-Si	۱۷۷۰۵	۲۰۷۷	۸۵۲	۱۹۷۸۲	۱۴۵۵	۰۹	۰۹۹	۱۴۱۶	۰۰۳	۲۳۵۰	۴۵۳۷	۴۵۵	۰۰۹	۰۱۵	۶۶۵	۱۰۳
BH1-60-70	۷۲۵۶	۳۱۲۳۴	۲۳۵	۱۰۴۹	۰۸۲	۱۰۱	۰۸۸	۲۸۲	۲۲۷	۴۶۸	۷۱۸	۱۷۲	۰۲۴	۰۶۱	۰۲۴	۱۶۴
BH1-70-73	۷۹۲	۲۲۰۹	۲۳۹	۱۱۲۱۹	۰۷۱	۱۰۶	۰۸۹	۳	۲۲۶	۴۹۷	۷۶	۱۷۹	۰۱۷	۰۶۶	۰۲۶	۱۳۶
BH1-73-76	۸۷۵	۳۰۳۶	۲۸۸	۱۱۷۸۶	۰۸۱	۱۰۶	۰۸۹	۳۲۴	۲۶۶	۵۲۸	۹۵۵	۱۹	۰۱۵	۰۵۲	۰۳۱	۲۰۱
BH1-76-79	۹۵۵۵	۲۹۴۳	۳۲۵	۱۲۴۹۸	۰۷۹	۱۰۵	۰۹۱	۳۲۷	۲۸۱	۵۶	۱۰۶۲	۱۹	۰۱۶	۰۵۲	۰۴۲	۱۶۴
BH1-79-82	۷۹۷۴	۲۸۰۱	۲۸۵	۱۰۷۷۵	۰۷۲	۱۰۹	۰۸۸	۳۱۴	۲۴۶	۵۲۲	۸۶۹	۱۷۴	۰۱۷	۰۵۸	۰۴	۰۷۹
BH1-82-85	۷۵۴۶	۳۰۳۷	۲۴۸	۱۰۵۸۳	۰۸۵	۱۰۷	۰۸۷	۲۲۴	۲۲۴	۴۷۴	۷۱۸	۱۷	۰۱۷	۰۵۸	۰۴۸	۰۵۵
BH1-85-88	۶۹۰۷	۲۴۱۸	۲۸۶	۹۲۳۵	۰۸۱	۰۹۹	۰۸۸	۳۲۸	۲۸۴	۵۴۵	۱۰۴۴	۲۰۱	۰۱۲	۰۵۱	۰۲۱	۱۶۷
BH1-88-91	۶۶۷۵	۲۴۱۸	۲۷۶	۹۰۹۳	۰۹۳	۱	۰۸۸	۲۲	۲۵۱	۵۲۲	۹۰۱	۱۶۵	۰۱۸	۰۵۲	۰۴۵	۲۰۶
BH1-91-94	۷۸۷۲	۲۸۲۴	۲۷۹	۱۰۶۹۶	۰۸۳	۱۰۷	۰۸۷	۳۱۸	۲۴۴	۵۲۸	۸۶۹	۱۷۵	۰۱۸	۰۵۲	۰۴۲	۲۰۸
BH1-94-97	۸۰۹۲	۲۹۷۴	۲۷۲	۱۱۰۶۶	۰۸۵	۱۰۳	۰۸۷	۲۱	۲۸۴	۵۱۵	۹۸۸	۲۱۳	۰۱۵	۰۴۸	۰۳۲	۰۴۴
BH1-97-100	۲۳۹۴	۲۸۰۳	۲۶۴	۱۰۱۹۷	۰۶۹	۱۰۸	۰۸۶	۳۲۳	۲۶۴	۵۲۶	۹۵۷	۴۴۷	۰۱۸	۰۶۴	۰۳۴	۰۸۷
BH1-100-103	۴۵۱۷	۳۳۸۷	۱۷۵	۹۳۰۴	۰۸۱	۱۰۳	۰۸۸	۲۳۷	۲۰۷	۳۹۳	۵۴۹	۱۶۶	۰۲۱	۰۷۸	۰۳۱	۳۵۵
BH1-103-106	۷۳۲۲	۳۱۲۷	۲۳۴	۱۰۴۴۹	۰۷۴	۱۱	۰۸۸	۲۶۷	۲۲۶	۴۴۳	۶۷۶	۱۷	۰۲	۰۸۸	۰۲۹	۰۸۷
BH1-106-109	۸۰۸۷	۲۹۸۶	۲۷۱	۱۱۰۷۲	۰۸۵	۱۱۴	۰۸۳	۲۹۹	۲۵۹	۴۹۶	۸۶۹	۱۸۵	۰۴۵	۰۵۸	۰۲۷	۰۴۴
BH1-109-112	۵۴۳۵	۱۲۳۳	۲۵۵	۷۵۶۸	۰۶۳	۱۱۱	۰۸	۳۵۱	۲۰۳	۵۸۳	۷۹۹	۱۶۹	۰۲۵	۰۵۵	۰۳۶	۰۸۲
BH1-112-115	۸۴۴۶	۲۲	۲۶۴	۱۱۶۴۶	۰۷۷	۱۰۵	۰۸۹	۲۹۶	۲۲۸	۴۹۱	۷۵۵	۱۷	۰۱۸	۰۶۲	۰۳	۰۶۷
BH1-115-118	۵۹۹۶	۲۶۸۹	۲۲۳	۸۶۸۵	۰۷۱	۱۱۸	۰۸۱	۲۸۹	۲۰۸	۲۸	۶۷۶	۱۵۸	۰۲۳	۰۸۸	۰۲۱	۰۹۹
BH1-118-121	۸۸۶۳	۲۸۴۸	۳۱۱	۱۱۷۱۱	۰۷	۱۰۵	۰۹	۳۴۴	۲۵	۶	۱۰۱۴	۱۸۱	۰۸۱	۰۶۴	۰۲۴	۱۰۸
BH1-121-124	۸۵۷۲	۲۹۸۲	۲۸۷	۱۱۵۵۴	۰۸۶	۱۰۹	۰۸۵	۳۵	۲۲۹	۵۸۱	۹۰۱	۱۷۲	۰۱۹	۰۵۸	۰۴۴	۱۶۵
BH1-124-127	۷۲۳۴	۲۷۸۲	۲۶	۱۰۰۱۶	۰۸۵	۱۱۲	۰۸۳	۳۲۸	۲۲۳	۵۴۵	۸۲	۱۵۶	۰۲	۰۵۹	۰۳۴	۰۷۸
BH1-127-130	۹۴۰۷	۳۱۴۷	۲۹۹	۱۲۵۵۴	۰۷۲	۱۰۷	۰۸۹	۳۴۵	۲۴	۵۷۲	۹۲۹	۱۷۲	۰۲۱	۰۶	۰۲	۱۲۳
BH1-130-133	۹۷۲۴	۲۶۹۸	۲۶	۱۲۴۲۲	۰۷۵	۱۰۷	۰۸۹	۳۷۹	۳۰۵	۶۲۸	۱۲۹۵	۱۸۸	۰۱۹	۰۶	۰۲	۲۰۵
BH1-133-136	۷۷۱۷	۲۷۶۱	۲۸	۱۰۴۷۸	۰۹۱	۱۱۴	۰۸۳	۳۴۹	۲۰۷	۵۷۹	۸۱۱	۱۲۳	۰۳	۰۵۴	۰۵۸	۱۶
BH1-141-146	۱۰۴۲	۳۰۳۱	۳۴۴	۱۲۴۵۱	۰۷۳	۱۱۱	۰۸۷	۲۷۱	۱۸۵	۷۸۱	۹۷۶	۱۲۵	۰۵۵	۰۵	۰۹۱	۱۷۸
BH1-146-151	۱۲۴۴۹	۳۰۱۴	۳۷۷	۱۲۴۳۳	۰۷۳	۱۰۶	۰۸۷	۵۲۶	۲۰۲	۸۷۲	۱۱۹۲	۱۲۶	۰۲۴	۰۵۲	۰۸۱	۱۲۶
BH1-151-154	۱۱۴۷۱	۲۹۹۴	۳۸۳	۱۲۴۴۵	۰۷۷	۱۰۸	۰۸۶	۵۲	۲۰۵	۸۶۲	۱۱۹۲	۱۶۵	۰۴۵	۰۴۲	۰۸۳	۱۶۹
BH1-154-157	۷۴۲۴	۲۵۴۲	۲۹۲	۹۹۶۶	۰۷۵	۱۰۷	۰۸۳	۵۲۹	۱۵۲	۸۷۷	۹۰۱	۱۰۱	۰۵۷	۰۵۱	۱۰۸	۵۵۵
BH1-157-160	۶۹۰۶	۲۴۴۶	۲۸۲	۹۲۵۲	۰۷۲	۱۱	۰۸۴	۴۱۳	۱۶۵	۶۸۵	۷۶۶	۱۰۹	۰۵۳	۰۵۹	۰۸۳	۴۳۳
BH1-160-163	۶۵۰۹	۲۷۳۷	۲۴۸	۹۲۴۶	۰۸۵	۱۰۸	۰۸۲	۴۴۳	۲۰۱	۵۶۹	۷۷۲	۱۸۸	۰۲۸	۰۴۴	۰۵۸	۱۲۹
BH1-163-166	۵۶۷۵	۲۸۴۵	۲	۸۵۱	۰۹۳	۱	۰۸۱	۲۸۸	۲۰۹	۴۷۸	۶۷۶	۱۶۸	۰۱۲	۰۴۴	۰۳۶	۱۰۸
BH1-166-169	۶۶۲۸	۲۷۰۹	۲۴۵	۹۳۴۷	۰۸۷	۱۰۶	۰۸۷	۳۲۷	۱۹۱	۵۵۹	۷۲۱	۱۶۵	۰۲۰	۰۴۶	۰۶۲	۲۵۵
BH1-169-172	۶۴۹۶	۲۵۶۸	۲۵۳	۹۰۶۴	۰۶۹	۱۰۶	۰۸۷	۳۷۱	۱۷۳	۶۱۵	۷۲۱	۱۳	۰۲۵	۰۵۲	۰۷۹	۱۶۹
BH1-172-175	۱۰۲۴۶	۲۹۰۲	۳۵۷	۱۲۲۴۸	۰۶۶	۱۱۵	۰۸۲	۵۱	۱۷۱	۸۴۷	۹۷۶	۱۱۵	۰۲۴	۰۴۴	۱۱۱	۱۳۶
BH1-175-178	۷۲۳۶	۲۵۵۲	۲۶۳	۹۹۷۷	۰۹۱	۱۰۸	۰۸۲	۳۸۱	۱۹	۴۲۲	۸۱۱	۱۲۷	۰۲۳	۰۴۴	۰۶۷	۱۶۹
BH1-178-181	۵۶۰۶	۲۵۱۹	۲۲۵	۸۱۷۹	۱۱۸	۱۰۹	۰۷۱	۳۰۷	۴۱۲	۵۰۹	۷۲۸	۱۶۵	۰۱۵	۰۳۹	۰۴۹	۱۸۵
BH1-181-184	۵۵۲۴	۲۵۶	۲۱۶	۸۰۸۷۴	۱۲۷	۱۱۶	۰۶۹	۲۹	۲۰۸	۴۸۱	۶۷۶	۱۲۶	۰۱۵	۰۲۲	۰۴۴	۰۴۴
BH1-184-187	۶۱۹	۲۷۷۹	۲۲۳	۸۹۹۶	۱۲۴	۱۰۴	۰۸	۲۴۲	۲۱۸	۴۰۱	۵۹۱	۱۸۸	۰۴۴	۰۵۵	۰۴۳	۱۱۱
BH1-187-190	۵۷۹۵	۲۵۷۵	۲۲۵	۸۲۷	۱۲	۱۰۵	۰۷۶	۲۸۵	۲۱۱	۴۷۲	۶۷۶	۱۶۹	۰۱۸	۰۳۶	۰۴۸	۱۷۷
BH1-190-193	۵۵۸۲	۲۵۶۹	۲۱۷	۸۱۲۳	۱۲۶	۱۰۷	۰۷۷	۲۶۷	۲۰۹	۴۴۴	۶۲۷	۱۲۹	۰۱۶	۰۲۷	۰۵	۰۸۱
BH1-193-196	۵۲	۲۵۱۷	۲۰۷	۷۷۱۷	۱۲۲	۱۰۸	۰۷۳	۲۵۱	۲۲۲	۴۱۷	۶۲۴	۱۶۵	۰۱۳	۰۳۸	۰۴۲	۱۲۳
BH1-196-199	۵۴۰۳	۲۶۲۷	۲۰۶	۸۰۳	۱۲	۱۰۹	۰۷۷	۲۴	۲۲۲	۳۹۹	۶۲۴	۱۷۲	۰۰۹	۰۴۶	۰۳۲	۱۲۱
BH1-199-202	۵۲۰۱	۲۵۶۶	۲۰۳	۷۷۶۷	۱۱۹	۱۰۷	۰۷۷	۲۴۹	۲۲۳	۴۱۴	۶۲۴	۱۵۲	۰۱	۰۲۷	۰۳۷	۱۵۱
BH1-202-206	۵۵۸۸	۲۵۸۲	۲۱۶	۸۱۷	۱۱۱	۱۱۴	۰۷۱	۲۷۹	۲۱۶	۴۲۳	۶۷۶	۱۵۱	۰۱۲	۰۳۴	۰۴۴	۱۲۴
BH1-206-210	۵۵۵۲	۲۵۶۲	۲۱۷	۸۱۱۴	۱۱۸	۱۱۵	۰۶۹	۲۸۲	۱۹۹	۴۶۸	۶۲۷	۱۲۴	۰۱۱	۰۴۴	۰۴۶	۱۲۸
BH1-210-214	۵۶۳۱	۲۶۰۶	۲۱۶	۸۲۳۷	۱۱۵	۱۱۴	۰۷۱	۲۷۴	۲۰۴	۴۵۵	۶۲۷	۱۶۱	۰۱۲	۰۳۵	۰۴۷	۰۹
BH1-214-218	۵۶۷۵	۲۸۴۵	۲	۸۵۱	۰۹۳	۱	۰۸۱	۲۸۸	۲۰۹	۴۷۸	۶۷۶	۱۶۸	۰۱۲	۰۴۴	۰۳۶	۱۰۸
BH1-218-222	۵۲۹۷	۲۶۷۹	۱۹۸	۷۹۷۶	۱۰۸	۱۰۸	۰۷	۲۷۲	۲۲۳	۴۵۱	۶۷۶	۱۶۷	۰۱۱	۰۲۲	۰۳۸	۱۶۶
BH1-222-226	۶۰۷۲	۲۷۹۱	۲۱۸	۸۸۶۴	۱۰۶	۱۰۷	۰۷۴	۳۰۲	۲۴۸	۵۰۳	۸۴۵	۱۹	۰۰۷	۰۲۷	۰۲۴	۱۴
BH1-226-230	۵۰۴۱	۲۳۶۶	۲۱۳	۷۲۰۷	۱۲۷	۱۱۳	۰۶۶	۲۵۳	۲۶	۴۲	۷۲۷	۱۶۷	۰۰۸	۰۲۲	۰۳۱	۰۸۸
BH1-230-234	۸۸۵۶	۲۷۴	۲۱۴	۸۵۹۶	۱۱۷	۱۱۱	۰۷۲	۲۸۴	۲۲۹	۴۷	۷۲۸	۱۵۹	۰۰۷	۰۴۸	۰۳۶	۱۱۳
BH1-234-238	۵۳۸۸	۲۵۸	۲۰۹	۷۹۸۸	۱۱۶	۱۱۲	۰۸	۲۸	۲۱۵	۴۶۴	۶۷۶	۱۲۲	۰۱۱	۰۲۱	۰۴۵	۱۰



شکل ۱۰ الف) الگوی توزیع عناصر خاکی نادر نمونه‌های سطحی تقریباً سالم توده نفوذی و سنگ آندزیتی بهنجار شده نسبت به کندریت [۴۴]، ب) عناصر کمیاب بهنجار شده نسبت به گوشته اولیه [۴۵]، پ) عناصر خاکی نادر نمونه‌های سطحی در پهنه دگرسانی آرژیلیک، بهنجار شده نسبت به کندریت [۴۴]، ت) عناصر کمیاب بهنجار شده نسبت به گوشته اولیه [۴۵]، ث) عناصر خاکی نادر نمونه‌های سطحی در پهنه دگرسانی و کانه‌زایی سیلیسی بهنجار شده نسبت به کندریت [۴۴] و ج) عناصر کمیاب بهنجار شده نسبت به گوشته اولیه [۴۵].

می‌دهند و در کل از Cs تا Lu یک روند کاهشی دیده می‌شود. براساس این نمودار، عناصر Pb, Rb, Ba, Zr و U دارای بی‌هنجاری مثبت هستند و افزایش Rb در ارتباط با تشکیل کانی‌های رسی و سریسیت است. Sr, Y, Ce, Ti و Ta و Nb دارای بی‌هنجاری منفی هستند، که تپی‌شدگی شدید Sr در ارتباط با دگرسانی و تخریب پلاژیوکلازهاست (شکل ۱۰ پ و ت).

در واقع، بیشترین تپی‌شدگی عناصر خاکی نادر در پهنه دگرسانی آرژیلیک پیشرفته دیده می‌شود که می‌تواند به علت حضور همبافت‌های کلریدی، شرایط اسیدی و نسبت بالای آب به سنگ باشد [۲۰]. عناصر Ce و Eu در این پهنه هر دو روند بی‌هنجاری منفی و مثبت را نشان می‌دهند. در نمودار عنکبوتی عناصر کمیاب بهنجار شده نسبت به گوشته اولیه [۴۵]، الگوی جدایش یافته‌ای دیده می‌شود، به طوری که LREEها و HREEها نسبت به HREEها غنی‌شدگی مشخصی را نشان

## توزیع عناصر خاکی نادر در دگرسانی سیلیسی

الگوی کلی توزیع REE ها به‌هنگار شده نسبت به کندریت [۴۴] در سنگ میزبان آندزیتی دگرسان شده سیلیسی دربردارنده کانی‌سازی یک شیب منفی مشخص از LREE ها به سمت HREE ها را نشان می‌دهد که نشانگر جدایش و غنی‌شدگی LREE ها نسبت به HREE ها طی فرآیند دگرسانی است. به‌طور میانگین، مجموع LREE ها، HREE ها و نسبت های  $\text{Th/La}$  و  $\text{Nb/La}$ ،  $\text{Hf/Sm}$  به ترتیب برابر با ۱۳۶/۵۶، ۲۶/۴۴، ۳۳/۶۵، ۰/۳۹ و ۰/۱۹ هستند. در نمودار عنکبوتی مربوط به نمونه‌های دگرسانی سیلیسی، تغییرات عناصر خاکی نادر از روند مربوط به ترکیب سنگ اولیه توده نفوذی پیروی نمی‌کند بلکه تابع روند سنگ‌های آندزیتی منطقه است و غنی‌شدگی بیشتر REE ها (بجز Sm) دیده می‌شود. در این پهنه، عنصر Ce بی‌هنجاری ندارد و عنصر Eu بی‌هنجاری منفی نشان می‌دهد. در نمودار عنکبوتی عناصر کمیاب به‌هنگار شده نسبت به گوشته اولیه [۴۵]، الگوی جدایش یافته‌ای دیده می‌شود که یک روند کاهشی از Cs تا Lu را نشان می‌دهد. براساس این نمودار، عناصر  $\text{U}$ ،  $\text{Rb}$ ،  $\text{Pb}$ ،  $\text{Dy}$  و  $\text{La}$  دارای بی‌هنجاری مثبت هستند که افزایش Pb در ارتباط با کانه‌سازی گالن و افزایش Rb در ارتباط با تشکیل کانی‌های رسی و سرسپت است. نسبت به، عناصر  $\text{Sr}$ ،  $\text{Sm}$ ،  $\text{Zr}$ ،  $\text{Nb}$ ،  $\text{Ta}$  و  $\text{Ti}$  بی‌هنجاری منفی نشان می‌دهند (شکل‌های ۱۰ و ج).

## توزیع عناصر خاکی نادر در دگرسانی کلریتی - سرسپتی

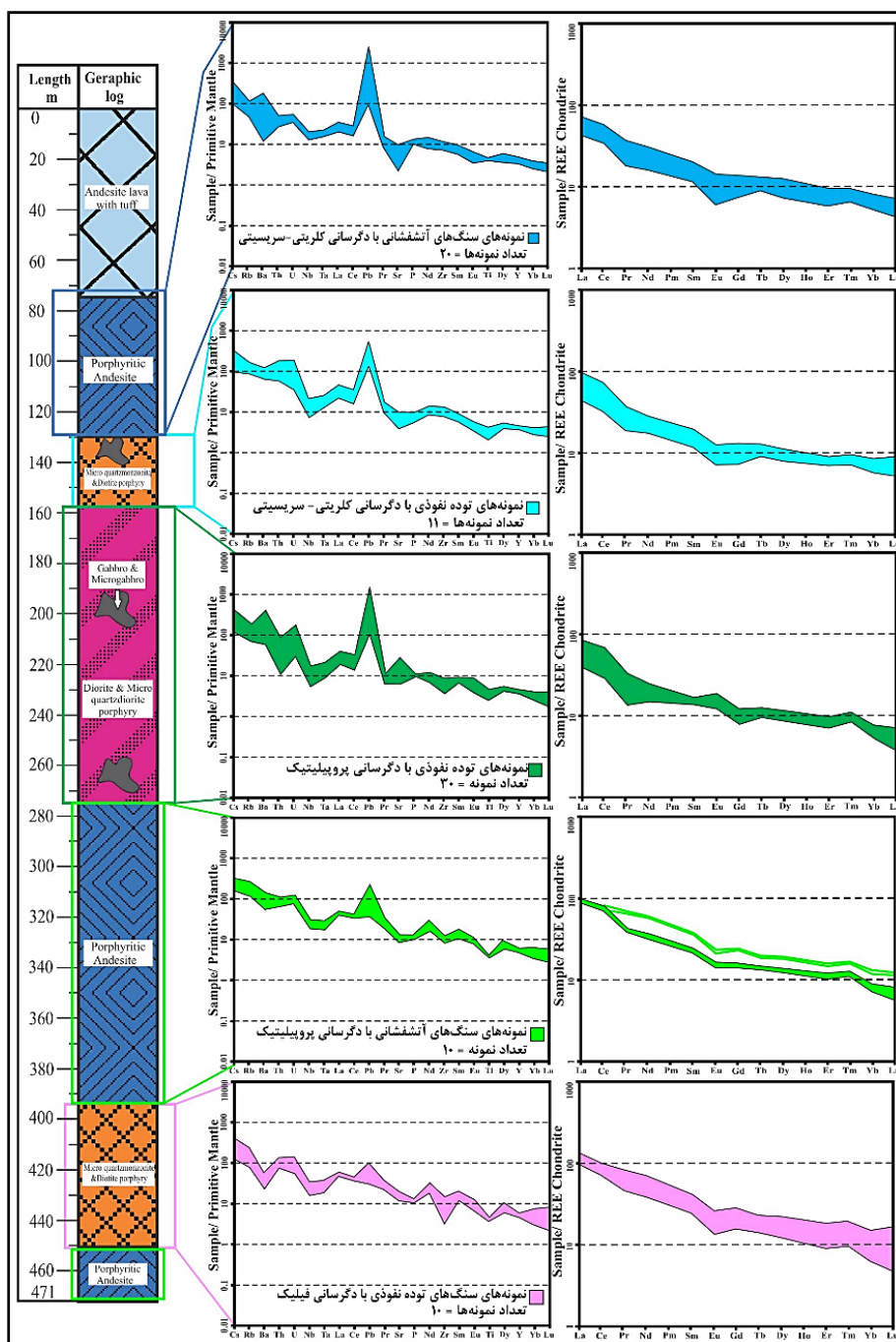
الگوی کلی توزیع REE ها به‌هنگار شده نسبت به کندریت [۴۴] در سنگ میزبان آندزیتی و توده نفوذی دگرسان شده کلریتی - سرسپتی دربردارنده کانی‌سازی سولفیدی - اکسیدی نیز یک شیب تند منفی از LREE ها به سمت HREE ها را نشان می‌دهد که نشانگر جدایش و غنی‌شدگی LREE ها نسبت به HREE ها طی فرآیند دگرسانی است و الگوی توزیع عناصر خاکی نادر در هر دو سنگ میزبان با هم همخوانی دارند. به‌طور میانگین، مجموع LREE ها، HREE ها و نسبت های  $\text{Th/La}$  و  $\text{Nb/La}$ ،  $\text{Hf/Sm}$  به ترتیب در سنگ میزبان آندزیتی برابر با ۷۵/۹۶، ۲۸/۹۲، ۰/۳۴، ۰/۶۲ و ۰/۱۸ و در سنگ میزبان توده نفوذی برابر با ۸۴/۷۶، ۲۸/۱۰، ۰/۶۵، ۰/۵۰ و ۰/۳۶ هستند. رخداد بی‌هنجاری مثبت Ce و منفی Eu در دگرسانی کلریتی - سرسپتی در هر دو سنگ میزبان برجسته است. نمودار عنکبوتی مربوط به نمونه‌های دگرسانی کلریتی -

سرسپتی از روند تغییرات سنگ آندزیتی سالم پیروی می‌کند و تهی‌شدگی کم REE ها دیده می‌شود. میزان تهی‌شدگی REE ها در این دگرسانی‌ها و فراگیر بودن دگرسانی کلریتی - سرسپتی می‌تواند بیانگر نسبت بالای آب به سنگ سیال‌های مسئول دگرسانی باشد [۲۰]. نمودار عنکبوتی عناصر کمیاب به‌هنگار شده نسبت به گوشته اولیه [۴۵]، مانند سایر نمونه‌های دگرسانی‌ها، یک الگوی جدایش یافته را نشان می‌دهد و گویای روند کاهشی از Cs تا Lu است. براساس این نمودار، عناصر  $\text{Pb}$ ،  $\text{Ba}$ ،  $\text{Rb}$ ،  $\text{U}$  و  $\text{P}$  نسبت به سنگ اولیه دارای بی‌هنجاری مثبت و عناصر  $\text{Nb}$ ،  $\text{Ta}$ ،  $\text{Zr}$ ،  $\text{Sr}$  و  $\text{Ti}$  دارای بی‌هنجاری منفی هستند (شکل ۱۱).

## توزیع عناصر خاکی نادر در دگرسانی پروپلیتیک

الگوی کلی توزیع REE های به‌هنگار شده نسبت به کندریت [۴۴] در سنگ میزبان آندزیتی و توده نفوذی همراه با دگرسانی پروپلیتی نیز مانند سایر دگرسانی‌ها دارای یک شیب منفی مشخص از LREE ها به سمت عناصر HREE ها بوده که نشانگر جدایش و غنی‌شدگی LREE ها نسبت به HREE ها طی فرآیند دگرسانی است. به‌طور میانگین، مجموع LREE ها، HREE ها و نسبت های  $\text{Th/La}$  و  $\text{Nb/La}$ ،  $\text{Hf/Sm}$  به ترتیب در سنگ میزبان آندزیتی برابر با ۱۲۷/۵۷، ۳۸/۸۴، ۰/۵۳، ۰/۵۱ و ۰/۲۴ و در سنگ میزبان توده نفوذی برابر با ۵۸/۶۸، ۲۶/۴۰، ۰/۴۴، ۰/۳۵ و ۰/۱۴ هستند. رخداد بی‌هنجاری مثبت Ce و منفی Eu با سنگ میزبان آندزیتی و بی‌هنجاری مثبت Ce و Eu با سنگ میزبان توده نفوذی دیده می‌شود. در نمودار عنکبوتی مربوط به نمونه‌های دگرسانی پروپلیتی با سنگ میزبان آندزیتی و توده نفوذی، تغییرات عناصر تقریباً از روند مربوط به سنگ اولیه سالم خود پیروی می‌کند و غنی‌شدگی جزئی بیشتر REE ها دیده می‌شود، که می‌تواند به دلیل جذب سطحی توسط کانی‌هایی چون کلریت، اپیدوت و کانی‌های رسی باشد [۲۰]. در نمودار عنکبوتی عناصر کمیاب به‌هنگار شده نسبت به گوشته اولیه [۴۵]، الگوی جدایش یافته‌ای از LREE ها و LILE ها نسبت به HREE ها همراه با یک روند کاهشی از Cs تا Lu دیده می‌شود و براساس این نمودار، عناصر  $\text{Rb}$ ،  $\text{Ba}$ ،  $\text{U}$ ،  $\text{Th}$ ،  $\text{Sr}$  و  $\text{Pb}$  دارای بی‌هنجاری مثبت هستند و  $\text{Nb}$ ،  $\text{Ta}$ ،  $\text{Ti}$  و  $\text{Zr}$  بی‌هنجاری منفی نشان می‌دهند (شکل ۱۱).





شکل ۱۱ روند تغییرات عمقی الگوی توزیع عناصر خاکی نادر بهنجار شده نسبت به کندریت [۴۴] و عناصر کمیاب بهنجار شده نسبت به گوشته اولیه [۴۵] در پهنه‌های دگرسانی کلریتی-سریسیتی، پروپیلیتی و فیلیک در توده نفوذی و واحد آندزیت پورفیری.

#### توزیع عناصر خاکی نادر در دگرسانی فیلیک

الگوی کلی توزیع REE‌های بهنجار شده نسبت به کندریت [۴۴] در سنگ میزبان توده نفوذی همراه با دگرسانی فیلیک یک شیب منفی مشخص از LREE‌ها به سمت HREE‌ها را نشان می‌دهد که نشانگر جدایش و غنی‌شدگی LREE‌ها نسبت به HREE‌ها طی فرآیند دگرسانی است. به طور

میانگین، مجموع LREE‌ها، Hf/Sm و نسبت‌های Hf/La و Nb/La به ترتیب ۱۴۷/۰۷، ۳۸/۷۷، ۰/۳۴، ۰/۵۳ و ۰/۲۶ هستند. همچنین رخداد بی‌هنجاری‌های مثبت Ce و منفی Eu در این دگرسانی دیده می‌شود. غنی‌شدگی بیشتر REE‌ها قابل مشاهده است که می‌تواند به علت جذب سطحی توسط کانی‌های رسی و آلبیت باشد که ضریب همبستگی

مثبت و بالا با اکسیدهای  $\text{SiO}_2$  و  $\text{Na}_2\text{O}$  نشان می‌دهند. در نمودار عنکبوتی عناصر کمیاب بهنجار شده نسبت به گوشته اولیه [۴۵]، یک الگوی جدایش یافته‌ای دیده می‌شود، که یک روند کاهشی از Cs تا Lu نشان می‌دهند. طبق این نمودار عناصر Th, U, Dy و Pb دارای بی‌هنجاری مثبت بود و عناصر Ba, Ta, Nb, P, Ti و Zr بی‌هنجاری منفی نشان می‌دهند (شکل ۱۱).

بر پایه یافته‌های زمین‌شیمی عناصر خاکی نادر نمونه سنگ‌های آتشفشانی و توده نفوذی گستره معدنی تازه‌کند و تحلیل نمودارهای عنکبوتی بهنجار شده نسبت به کندریت و گوشته اولیه، غنی‌شدگی عناصر سنگ دوست درشت یون (Pb, Ba, Rb, Cs, U, K, Th) و LREE ها و تهی‌شدگی عناصر با شدت میدان بلوری بالا (Ti, Y, Zr, Nb, Dy) و HREE ها وجود دارد که شاخص فعالیت ماگمایی محیط‌های فرورانشی است [۴۶]. با توجه به الگوی مشابه و هم‌روند نمودارهای عنکبوتی در سنگ‌های آذرین تازه‌کند می‌توان این امر را نشانگر نزدیکی زایشی انواع سنگ‌ها و خاستگاه مشابه آنها دانست، همچنین می‌توان محیط زمین‌ساختی و به احتمال بسیار منبع مشابه را برای آنها در نظر گرفت [۴۷].

#### تفسیر بی‌هنجاری‌های Eu و Ce

عناصر Eu و Ce در سامانه‌های زمین‌شناسی بیش از یک حالت اکسایشی ( $\text{Ce}^{3+}$ ,  $\text{Ce}^{4+}$ ,  $\text{Eu}^{3+}$ ,  $\text{Eu}^{2+}$ ) در طبیعت دارند و در الگوی بهنجار شده REE ها به صورت غنی‌شدگی یا تهی‌شدگی نمایان می‌شوند [۴۸]. بنابراین تحلیل رفتار این دو عنصر نسبت به سایر REE ها راهنمای خوبی برای درک تغییرات اکسایش-کاهش و pH محیط محسوب می‌شود. در این پژوهش برای اندازه‌گیری مقادیر بی‌هنجاری‌های Eu, Ce و Pr در مناطق دربردارنده کانی‌سازی و سنگ میزبان دگرسان شده آنها به ترتیب از روابط زیر استفاده شد [۴۹] که نتایج آن در جدول ۳ ارائه شده است.

$$\text{Eu/Eu}^* = \text{Eu}_N / [((\text{Sm})_N \times (\text{Gd})_N)^{1/2}] \quad (2)$$

$$\text{Ce/Ce}^* = 2\text{Ce}_N / (\text{La}_N + \text{Pr}_N) \quad (3)$$

$$\text{Pr/Pr}^* = \text{Pr}_N / [((\text{Ce})_N \times (\text{Nd})_N)^{1/2}] \quad (4)$$

در روابط بالا، حرف N بهنجار شدن عناصر نسبت به کندریت [۵۰] را نشان می‌دهد. برپایه محاسبات انجام شده، میانگین بی‌هنجاری  $\text{Eu/Eu}^*$ ،  $\text{Ce/Ce}^*$  و  $\text{Pr/Pr}^*$  به ترتیب در سنگ - های آندزیتی به نسبت سالم ۰/۷۸، ۱/۱۵ و ۰/۸۰، در سنگ -

های آندزیتی با دگرسانی سیلیسی ۰/۷۴۶، ۰/۹۰ و ۰/۹۸، در سنگ‌های کلریتی-سریسیتی ۰/۷۹، ۱/۰۷ و ۰/۸۷ و در سنگ - های پروپلیتی ۰/۷۶، ۱/۰۸ و ۰/۸۷ بدست آمدند. همچنین میانگین بی‌هنجاری  $\text{Eu/Eu}^*$ ،  $\text{Ce/Ce}^*$  و  $\text{Pr/Pr}^*$  به ترتیب در توده نفوذی سالم ۱/۵۶، ۱/۳۰ و ۰/۶۰، در توده نفوذی با دگرسانی آرژیلی ۱/۰۵، ۰/۶۰ و ۲/۷۶، با دگرسانی کلریتی-سریسیتی ۰/۷۹، ۱/۰۸ و ۰/۸۵، با دگرسانی پروپلیتی ۱/۱۳، ۱/۰۹ و ۰/۷۴ و با دگرسانی فلیک ۰/۶۸، ۰/۹۸ و ۰/۹۷ هستند. فرآیندهای موثر در ته‌نشست عناصر خاکی نادر توسط محلول - های گرمابی به عوامل مختلفی بستگی دارند. شرایط فیزیکوشیمیایی سیال گرمابی طی روند تکاملی آنها دائم تغییر می‌کند. تغییر از جمله در Eh، pH و غلظت یون‌های کربناتی، فسفاتی و فلورایدی محلول، عامل اصلی ته‌نشست کانی‌های REE در سیال‌های گرمابی محسوب می‌شوند. بر پایه نتایج زمین‌شیمی، نمونه توده نفوذی تقریباً سالم، مقدار  $\text{Eu/Eu}^*$  و  $\text{Ce/Ce}^*$  بیش از یک و بی‌هنجاری مثبت Ce و Eu را نشان می‌دهد. بی‌هنجاری مثبت Ce نشانگر محیط تشکیل با فعالیت بالای اکسیژن در زمان تبلور این توده است [۲۰]. به علت تشابه یونی  $\text{Eu}^{2+}$  با  $\text{Ca}^{2+}$ ، Eu می‌تواند بجای Ca وارد ساختار پلاژیوکلازها شده و باعث بی‌هنجاری مثبت Eu شود. از سوی دیگر، Eu در شرایط اکسیدی بی‌تحرك است و با جذب سطحی توسط اکسیدها متمرکز می‌شود [۵۱، ۵۲]. گستره تغییرات کمتر از ۱ برای نسبت  $\text{Eu/Eu}^*$  و بی‌هنجاری‌های منفی Eu و مثبت Ce برای دگرسانی‌های کلریتی-سریسیتی و پروپلیتی میزبان کانه‌زایی رگه-رگچه‌های سولفیدی-اکسیدی نشان‌دهنده محیط گرمابی اسیدی، دمای بالای ۲۵۰ درجه سانتی گراد و فعالیت بالای اکسیژن طی گسترش این دگرسانی‌ها هستند [۱۹، ۵۳] که با تشکیل کانی‌های هماتیت، اسپیکولاریت و مگنتیت با بافت ماریتیتی همخوانی دارد. همچنین بی‌هنجاری منفی Eu می‌تواند در ارتباط با تخریب پلاژیوکلازها طی دگرسانی و خروج Ca و Eu از محیط باشد [۱۹]. برای کنترل این نتایج از نمودار دومتغیره  $\text{Ce/Ce}^*$  نسبت به  $\text{Pr/Pr}^*$  [۴۹] استفاده شد (شکل ۱۲). نمونه‌های دگرسانی فلیک و دو نمونه آرژیلی در گستره بی‌هنجاری منفی Ce قرار دارند که بیانگر تهی‌شدگی Ce و بی‌هنجاری مثبت Eu و گویای شرایط احیایی و خنثی محلول‌های گرمابی هستند که با حضور سولفیدهای گرمابی، به ویژه پیریت همخوانی دارد.

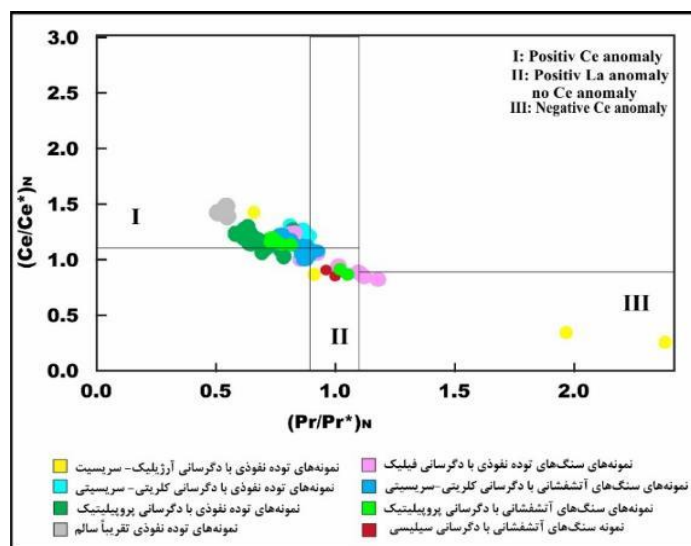
## کنترل کانی‌شناسی سنگ بر توزیع عناصر خاکی نادر

چند دسته کانی به عنوان میزبان REEها در پهنه‌های دگرسانی گزارش شده‌اند که از آن جمله می‌توان به کانی‌های رسی، کانی‌های فسفات‌دار، اکسیدها و هیدرواکسیدهای منگنز و آهن، کانی‌های تیتانیوم‌دار، فسفات‌های ثانویه و زیرکن اشاره کرد [۲۶]. در این پژوهش به منظور مشخص نمودن کانی‌های میزبان REEها، از ضریب همبستگی رتبه‌ای پیرسون [۱۹] استفاده شد (جدول ۴). همبستگی مثبت و بالا بین  $\text{SiO}_2$  و La، Ce، Pr و Nd ( $r=0.53$  با CaO و  $r=0.38$  با Tm)،  $\text{K}_2\text{O}$  و Lu ( $r=0.23$ ) و  $\text{Na}_2\text{O}$  و REEها ( $r=0.45$ ) وجود دارد. که نشانگر نقش اصلی کانی‌های آلبیت، موسکویت، ایلیت و مونتموریلونیت در تمرکز و تثبیت REEها به جز در پهنه دگرسانی آرژیلی است. بین REEها و اکسیدهای  $\text{Fe}_2\text{O}_3$  و MnO ضرایب همبستگی منفی و بالا وجود دارند (به ترتیب برابر با  $r=0.44$  و  $r=0.42$ ) که نشان دهنده عدم تمرکز REEها توسط کانی‌های آهن و منگنزدار است. از سویی، وجود ضرایب همبستگی مثبت و بالا بین  $\text{P}_2\text{O}_5$  و REEها، به جز La، Ce، Pr و Lu ( $r=0.45$  با  $\text{TiO}_2$ ، Sm، Eu، Dy و Er) ( $r=0.32$  با Zr، و LREEها به جز Eu ( $r=0.41$ )) نشان می‌دهد که کانی‌های فسفات‌های ثانویه، تیتانیوم‌دار و زیرکن می‌توانند در کنترل و تثبیت عناصر خاکی نادر مؤثر باشند. این

احتمال وجود دارد که افزون بر فازهای کانیایی شناسایی شده در بررسی‌های سنگ‌نگاری، کانی‌های دیگری نیز میزبان REEها در این سنگ‌ها باشند که با بررسی‌های میکروسکوپی شناسایی نشده‌اند. همبستگی مثبت و خوب بین عنصر Y و REEها ( $r=0.65$ ) بیانگر نقش مؤثر کانی زنونیم در توزیع REEها در سنگ میزبان دگرسان شده است.

## نوع محلول‌های مسئول دگرسانی گرمایی

یکی از روش‌های زمین‌شیمیایی برای تعیین خاستگاه محلول دگرسان کننده، استفاده از مقادیر  $\text{TiO}_2$  نمونه‌هاست. برخی بر این باورند که مقدار  $\text{TiO}_2$  کمتر از یک مربوط به ماهیت درونزاد و بیشتر از یک مربوط به ماهیت برونزاد است [۵۴]. مقادیر  $\text{TiO}_2$  برای نمونه‌های زیرسطحی در گستره ۰.۳۹ تا ۰.۹۸ و در نمونه‌های سطحی از حدود ۰.۱۵ در دگرسانی سیلیسی تا ۱.۰۷ در دگرسانی آرژیلی متغیر است. استفاده از نمودار Ba+Sr نسبت به Ce+Y+La و مقادیر Zr نسبت به  $\text{TiO}_2$  از دیگر روش‌های تشخیص نوع محلول‌های دگرسان کننده و عامل کانی‌سازی در منطقه می‌باشد [۲۴]. با جایابی نمونه‌های مورد بررسی در این نمودارها، هر دو فرآیند درونزاد با نقش بسیار مهم و برجسته و برونزاد در گسترش و تکامل پهنه‌های دگرسانی گستره معدنی تازه‌کند سهیم بوده‌اند (شکل ۱۳).



شکل ۱۲ نمودار  $(\text{Ce}/\text{Ce}^*)_n$  نسبت به  $(\text{Pr}/\text{Pr}^*)_n$  که بر اساس آن، بیشتر نمونه‌های مورد بررسی در گستره I قرار دارند و بی‌هنجاری مثبت Ce را نشان می‌دهند [۵۰].



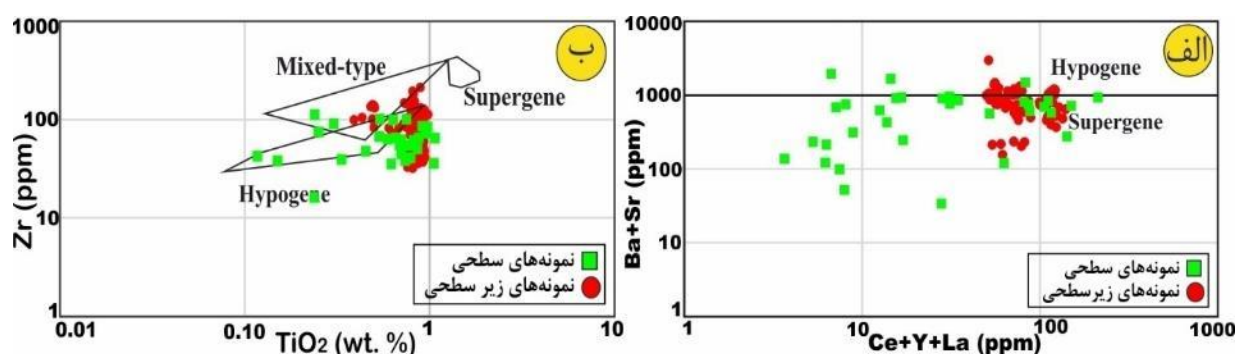
جدول ۴ بررسی ماتریس ضریب همبستگی رتبه‌ای پیرسون بین عناصر خاکی نادر و اکسیدهای اصلی در نمونه‌های سطحی و زیر سطحی گستره مورد بررسی (\* همبستگی متوسط، \*\* همبستگی قوی).

	SiO <sub>2</sub>	Al <sub>2</sub> O <sub>3</sub>	CaO	Fe <sub>2</sub> O <sub>3</sub>	K <sub>2</sub> O	MgO	MnO	Na <sub>2</sub> O	P <sub>2</sub> O <sub>5</sub>	TiO <sub>2</sub>	Zr	Y
La	۰.۶۶**	-۰.۵۵**	-۰.۲۲*	-۰.۶۶**	۰.۰۷۹	-۰.۷۷**	-۰.۶۵**	۰.۳۷**	۰.۰۱۲	-۰.۲۷**	۰.۴۹**	۰.۶۵**
Ce	۰.۵۱**	-۰.۴۲**	-۰.۱۳	-۰.۵۸**	-۰.۰۳۴	-۰.۶۶**	-۰.۵۷**	۰.۴۹**	۰.۱۷	-۰.۱۲	۰.۵۸**	۰.۷۴**
Pr	۰.۵۵**	-۰.۵۳**	۰.۱۴	-۰.۶۱**	-۰.۰۳۷	-۰.۷۰**	-۰.۶۵**	۰.۴۶**	۰.۱۹	-۰.۱۶	۰.۳۴**	۰.۵۵**
Nd	۰.۴۲**	-۰.۴۵**	-۰.۰۱	-۰.۵۷**	-۰.۰۹	-۰.۶۱**	-۰.۶۰**	۰.۵۰**	۰.۳۳**	-۰.۰۵	۰.۲۶*	۰.۵۳**
Sm	۰.۰۵	-۰.۰۲	۰.۱۴	-۰.۳۵**	-۰.۲۶*	-۰.۳۶**	-۰.۳۸**	۰.۶۲**	۰.۵۵**	۰.۲۹**	۰.۱۷	۰.۷**
Eu	-۰.۱۲	-۰.۰۲	۰.۴۴**	-۰.۲۵*	-۰.۲۹**	-۰.۰۷	-۰.۱۷	۰.۲۸**	۰.۵۳**	۰.۳۶**	-۰.۱۷	۰.۴**
Gd	۰.۲۱*	-۰.۲۶*	۰.۰۷	-۰.۴۱**	-۰.۲۷*	-۰.۴۴**	-۰.۴۲**	۰.۵۴**	۰.۴۹**	۰.۱۹	۰.۲۲*	۰.۶۸**
Tb	۰.۱۶	-۰.۱۹	۰.۰۹	-۰.۴۰**	-۰.۲۳*	-۰.۴۲**	-۰.۴۱**	۰.۵۲**	۰.۴۷**	۰.۲	۰.۱۹	۰.۶۸**
Dy	۰.۰۴	-۰.۰۵	۰.۱۶	-۰.۲۸**	-۰.۳۰**	-۰.۲۷**	-۰.۲۶*	۰.۵۲**	۰.۵۶**	۰.۳۳**	۰.۱۵	۰.۷۶**
Er	۰.۰۸	-۰.۰۱	۰.۱۸	-۰.۳۲**	-۰.۲۰*	-۰.۲۸**	-۰.۲۶*	۰.۴۳**	۰.۴۸**	۰.۲۸**	۰.۱۶	۰.۷۵**
Tm	۰.۰۳	۰.۰۲	۰.۳۸**	-۰.۴۴**	-۰.۱۰	-۰.۲۷*	-۰.۳۸**	۰.۴۰**	۰.۴۴**	۰.۱۹	۰.۰۳	۰.۵۲**
Yb	۰.۲۴*	-۰.۰۸	۰.۰۴	-۰.۳۸**	-۰.۰۰۲	-۰.۳۸**	-۰.۳۶**	۰.۲۶**	۰.۲۴*	۰.۴۰	۰.۱۸	۰.۵۷**
Lu	۰.۲۰	-۰.۱۵	۰.۰۹	-۰.۴۴**	۰.۲۳*	-۰.۳۶**	-۰.۴۰**	۰.۲۷*	۰.۰۷	-۰.۲۴*	۰.۱۲	۰.۰۷

\*\* Correlation is significant at the 0.01 level (2-tailed).

\* Correlation is significant at the 0.05 level (2-tailed).

N = 90



شکل ۱۳ الف) نمودار (Ce+Y+La) نسبت به (Ba+Sr) [۲۴] و ب) نمودار TiO<sub>2</sub> نسبت به Zr، برای تعیین خاستگاه محلول‌های دگرسان کننده [۲۴].

#### برداشت

شواهد سنگ‌نگاری برای ظهور و فراوانی کانی‌های گرمایی سریسیت، کلریت، اپیدوت، ایلیت و کربنات‌ها همخوانی دارند و تنها نمونه‌های دگرسانی فیلیک با سنگ میزبان توده نفوذی و نمونه‌های دگرسانی پروپیلیتی با سنگ میزبان آندزیتی در گستره دگرسانی ضعیف و سنگ مادر سالم قرار می‌گیرند. همچنین براساس بررسی‌های CIA، بیشترین شدت دگرسانی مربوط به رگه‌های سیلیسی و ضعیف‌ترین آن مربوط به دگرسانی فیلیک با سنگ میزبان نفوذی و پروپیلیتی با سنگ میزبان آندزیتی است. محاسبه عامل غنی‌شدگی در پهنه‌های دگرسان این منطقه نشان می‌دهد که دما و pH محلول‌های دگرسان کننده و ترکیب کانی‌شناسی پهنه‌های دگرسان نقش مهمی در تهی‌شدگی و غنی‌شدگی عناصر مختلف در این منطقه داشته‌اند. همچنین، pH پایین محلول‌های دگرسان کننده، عامل مهمی در تجزیه کانی‌هایی چون پلاژیوکلاز،

براساس یافته‌های زمین‌شیمیایی، ترکیب اصلی توده‌های نفوذی منطقه معدنی تازه‌کند در گستره کوآرتزموزنویت، مونزویت، مونزودیوریت تا گابرویدیوریت متغیر است، همچنین واحدهای آتشفشانی در گستره تراکی آندزیت، آندزیت و آندزیت بازالتی واقع هستند. سیال‌های گرمایی برآمده از توده‌های نفوذی مسئول دگرسانی‌های گرمایی درونزاد کلریت-سریسیت، فیلیک، پروپیلیتی، کربناتی، آرژیلی پیشرفته و متوسط، سیلیسی و برونزاد اکسید و هیدرواکسیدهای آهن همراه با کانه‌زایی سولفیدی-اکسیدی هستند. نمودار AI نسبت به CCPI، به نام نمودار جعبه‌ای دگرسانی، نشان دهنده قرارگیری بیشتر نمونه‌های سطحی و زیرسطحی دگرسان شده در قلمرو دگرسانی گرمایی است که روند اصلی دگرسانی کلریتی-اپیدوتی-کربناتی را نشان می‌دهد. این یافته‌ها با

- [3] Large R.R., Gemmell J.B., Paulick H., Huston D., "The alteration boxplot: a simple approach to understanding the relationship between alteration mineralogy and lithogeochemistry associated with VHMS deposit", *Economic Geology*, 96 (2001) 957-972.
- [4] White N.C., Hedenquist J.W., "Epithermal gold deposits: styles, characteristics and Exploration", *Society of Economic Geologists, Newsletter*, 23 (1995) 9-13.
- [5] Warren I., Simmons S.F., and Mauk J.L., "Whole-rock geochemical techniques for evaluating hydrothermal alteration, mass changes, and compositional with epithermal Au-Ag mineralization", *Economic Geology*, 102 (2007) 923-948.
- [6] Gemmell J.B., "Hydrothermal alteration associated with the Gosong epithermal Au-Ag deposit Halmahera, Indonesia; Mineralogy, geochemistry, and exploration implications", *Economic Geology*, 102 (2007) 893-922.
- [7] Nabatian G., Ghaderi M., Corfu F., Neubauer F., Bernroider M., Prokofiev V., Honarmand M., "Geology, alteration, age and origin of iron oxide-apatite deposits in Upper Eocene quartz monzonite, Zanjan district, NW Iran", *Mineralium Deposita*, 49 (2014) 217-234.
- [8] Aghazadeh M., Castro A., Rashidnejad Omran N., Emami M.H., Moinvaziri H., Badrzadeh Z., "The gabbro (shoshonitic)-monzonite-granodiorite association of Khankandi pluton, Alborz Mountains, NW Iran", *J. Asian Earth Sci*, 38 (2010) 199-219.
- [9] Ajali N., Torkian A., Tale Fazel E., "Rasht abad Copper-Gold intermediate sulfidation epithermal deposit (north of Zanjan): Evidence of mineralization, Fluid inclusion and stable isotope C-O (in Persian)", *Iranian Journal of Crystallography and Mineralogy*, 29 (2021) 207-220.
- [10] Kouhestani H., Mokhtari M.A.A., Kezhang Q., Junxing Z., "Fluid inclusion and stable isotope constraints on ore genesis of the Zajkanepithermal base metal deposit, Tarom-Hashhtinmetallogenic belt, NW Iran", *Ore Geology Reviews*, Vol:109 (2019) p:564-584.
- [11] Yasami N., Ghaderi M., Madanipour S., Taghilou B., "Structural control on overprinting high-sulfidation epithermal on porphyry mineralization in the Chodarchay deposit, northwestern Iran", *Ore Geology Reviews*, 86 (2017) 212-224.

فلدسپار قلیایی و کانی‌های فرومنیزین و خروج  $\text{Na}_2\text{O}$ ,  $\text{K}_2\text{O}$  و  $\text{CaO}$  است. الگوی کلی توزیع REE‌های بهنجار شده نسبت به کندریت و گوشته اولیه در سنگ میزبان توده نفوذی و واحدهای آتشفشانی دگرسان شده و به نسبت سالم یک شیب منفی مشخص و غنی‌شدگی LREEها و LILEها و تهی‌شدگی HREEها و HFSEها در طی فرآیند دگرسانی را نشان می‌دهد که شاخص فعالیت ماگمایی محیط‌های فرورانشی است. الگوی مشابه و هم‌روند نمودارهای عنکبوتی سنگ‌های آذرین تازه‌کند، نشانگر نزدیکی زایشی انواع سنگ‌ها و خاستگاه مشابه آنهاست، که می‌توان محیط زمین‌ساختی و به احتمال بسیار منبع مشابه را برای آنها در نظر گرفت. تحلیل نتایج زمین-شیمیایی نقش اصلی کانی‌های آلبیت، موسکویت، کلریت، اپیدوت، ایلیت و مونتموریلونیت و کانی‌های فسفات‌های ثانویه، تیتانیوم‌دار و زیرکن در تمرکز و تثبیت REEها و عدم تمرکز آنها را توسط کانی‌های آهن و منگنزدار نشان می‌دهد. همبستگی مثبت و خوب بین عنصر Y و REEها بیانگر نقش مؤثر کانی زئوتايم در توزیع REEها در سنگ میزبان دگرسان شده است. بی‌هنجاری‌های  $\text{Ce}$ ,  $\text{Eu}$ ,  $\text{Pr}$  و  $\text{Ce/Ce}^*$ ,  $\text{Eu/Eu}^*$  در کانسنگ‌ها به‌مراه سنگ میزبان سالم و دگرسان شده بررسی شده‌اند. با بررسی تغییرات رفتار عناصر اصلی، فرعی، کمیاب و خاکی نادر می‌توان گفت که هر نوع دگرسانی شرایط فیزیکی‌شیمیایی ویژه به خود را داشته که ناشی از عملکرد تزریق چند باره سیال گرمایی طی دو فرآیند درون‌زاد و برون‌زاد است، به طوریکه فرآیندهای درون‌زاد نسبت به فرآیند برون‌زاد نقش بسیار مهم و برجسته‌ای در گسترش و تکامل پهنه‌های دگرسانی گستره معدنی تازه‌کند داشته‌اند.

### قدردانی

نگارندگان از حمایت‌های مالی معاونت پژوهشی و تحصیلات تکمیلی دانشگاه تبریز برخوردار بوده‌اند. نگارندگان همچنین از حمایت‌های مالی شرکت صنعت بنا ماشین بهره گرفته‌اند، که به این وسیله از مسئولین این شرکت تشکر می‌نمایند. نگارندگان از نظرات و پیشنهادات سازنده داوران محترم مجله نیز سپاسگزاری می‌نمایند.

### مراجع

- [1] Arndt N., Ganino C., "Metals and Society: an Introduction to Economic Geology", Springer, (2012) 160p.
- [2] Pirajno F., "Hydrothermal Processes and Mineral Systems", Springer, (2009) 1250p.

- [23] Arslan M., Kadir S., Abdioglu E., Kolayli H., "Origin and formation of Kaolin Minerals in Saprolite of Tertiary Alkaline volcanic rocks. Eastern pontides, NE Turkey", Clay Minerals, 41 (2007) 597-617.
- [24] Dill H. G., Bosse H. R., Kassbohm J., "Mineralogical and chemical studies of volcanic-related argillaceous industrial minerals of the Central America Cordillera (Werstern Salvador)", Economic Geology, 95 (2000) 517-538.
- [25] Koppi A. J., Edis R., Foeld D. J., Geering H. R., Klessa D. A., Cockayne D. J. H., "REE trends and Ce-U- Mn associations in weathered rock from Koongarra, northern territory, Australia", Geochimica et Cosmochimica Acta, 60 (1996) 1695-1707.
- [26] Abedini A., Calagari A. A., "Geochemical characteristics of the Arabshah kaolin deposit, Takab geothermal field, NW Iran", Arabian Journal of Geosciences, 9 (2016) 1-16.
- [27] Simmons S.F., White N.C., John D., "Geological characteristics of epithermal precious and base metal deposits", Economic Geology 100<sup>TH</sup> ANNIVERSARY VOLUME, (2005) 485N522.
- [28] Plank T., Langmuir C. H., "The chemical composition of subducting sediment and its consequence for the crust and mantle", Chemical Geology, 145 (1988) 325-394.
- [29] White N.C., Leake M.J., McCaughey S.N., Parris B.W., "Epithermal gold deposits of the southwest Pacific", Journal of Geochemical Exploration 54 (1995) 87-136.
- [30] Heald P., Foley N. K., Hayba D. O., "Comparative anatomy of volcanic – hosted epithermal deposits: acid – sulfate and adularia –sericite type", Economic Geology, 82 (1987) 1-26.
- [31] Jiang, S.Y., Yang, J.H., Ling, H.F., Feng, H.Z., Chen, Y.Q., Chen, J., "Re–Os isotopes and PGE geochemistry of black shales and intercalated Ni–Mo polymetallic sulfide bed from the Lower Cambrian Niutitang Formation, South China". Progress in Natural Science (Special issue), (2004) 18–24
- [32] Salvi S., Williams-Jones A. E., "The role of hydrothermal processes in concentrating high field strength elements in the Strange Lake peralkaline complex, northeastern Canada", Geochimica et Cosmochimica Acta, 60 (1996) 1917-1932.
- [12] Kouhestani H., Azimzadeh A.M., Mokhtari, M.A.A., Ebrahimi M., "Mineralization and fluid evolution of epithermal base metal veins from the Aqkand deposit, NW Iran. Neues Jahrbuch für Mineralogie Abhandlungen", Journal of Mineralogy and Geochemistry, 194 (2017) 139–155.
- [13] Mehrabi B., Ghasemi Siani M., Goldfarb R., Azizi H., Ganerod M., Marsh E.E., "Mineral assemblages, fluid evolution and genesis of polymetallic epithermal veins, Gulloje district, NW Iran", Ore Geology Reviews 78 (2016) 41–57.
- [14] Amini B., "Geological map of IRAN 1:100000 Tarom (in Persian)", Geological Survey of Iran (2000).
- [15] Whitney, D.L. and Evans, B.W., "Abbreviations for names of rock-forming minerals", American Mineralogist, 95 (2010) 185–187.
- [16] Ishikawa Y., Sawaguchi T., Iwaya S., Horiuchi M., "Delineation of prospecting targets for Kuroko deposits based on modes of volcanism of underlying dacite and alteration halos", Mining Geology, 26 (1976) 105-117.
- [17] Fedo C.M., Nesbitt P., Young G.M., "Unraveling the effect of potassium metasomatism in sedimentary rocks and paleosols, with implications for paleoweathering conditions and provenance", Geology 23 (1995) 363-381.
- [18] Malpas J., Duzgoren-Aydin N.D., Aydin A., "Behaviour of chemical elements during weathering of pyroclastic rocks. Hong Kong", Environment International 26 (2001) 359-368.
- [19] Rollinson H.R., "Using Geochemical Data: Evaluation, Presentation, Interpretation", Longman Scientific and Technical, New York (1993) 352.
- [20] Fulignati P., Gincada A., Sbrana A., "Rare earth element (REE) behavior in the alteration facies of the active hydrothermal system of volcano (Aeolian magmatic islands, Italy)", Journal of Volcanology and Geothermal Research, 88 (1999) 325-342.
- [21] Karakaya N., "REE and HFS element behaviour in the alteration facies of the Erenler Da56 Volcanics (Konya, Turkey) and kaolinite occurrence", Journal of Geochemical Exploration, 101 (2009) 185-208.
- [22] Mason B., Moore C.B., "Principle of geochemistry", John Wiley, New York (1984) 344 p.

- [43] Bi X.W., Hu, R.Z., Peng, J.T., Wu K.X., "REE and HFSE geochemical characteristics of pyrites in Yaō a gold deposit: tracing ore forming fluid signatures. *Bulletin of Mineralogy, Petrology and Geochemistry*, 23 (2004) 1-4 (in Chinese with English abstract).
- [44] Boynton W.V., "Cosmochemistry of the rare earth elements: meteorite studies. In: Henderson, P. (Ed.), *Rare Earth Element Geochemistry*", Elsevier, Amsterdam, (1984) 63–114.
- [45] McDonough W. F., S. S. Sun., "The composition of the Earth", *Chem. Geol.*, 120 (1995) 223-253.
- [46] Wilson M., "Igneous petrogenesis: A global tectonic approach", Unwin Hymen, London, (1989) 466.
- [47] Chen W., Shu L., Santosh M., "Late Paleozoic post-collisional magmatism in the Eastern Tianshan Belt, Northwest China: New insights from geochemistry, geochronology and petrology of bimodal volcanic rocks", *Lithos*, 127 (2011) 581-598.
- [48] McLennan S.M., "Rare earth elements in Sedimentary rocks. Influence of provenance and sedimentary processes. In: Lipin, B.R., McKay, G.A. (Eds.), *Geochemistry and mineralogy of rare earth elements*. Reviews in Mineralogy, 21 (1989) 169-200.
- [49] Taylor Y, McLennan S. M., "The continental crust: Its composition and evolution", 1st ed. Oxford, UK: Blackwell (1985).
- [50] Bau, M., Dulski, P., "Distribution of yttrium and rare-earth elements in the Penge and Kuruman iron-formations, Transvaal Supergroup, South Africa". *Precambrian Res*, 79 (1996). 37–55.
- [51] Giese U., Bau M., Dulski P., "Trace element availability during experimental leaching of midocean ridge basalt at 70°C", *Terra Nova*, 5 (1993) 54.
- [52] Giese U., Bau M., "Trace element accessibility in mid-ocean ridge and ocean island basalt: an experimental approach", *Mineralogical Magazin*, 58A (1994) 329-330.
- [53] Sverjensky D. A., "Europium redox equilibria in aqueous solution", *Earth Planet Sci Lett*, 67 (1984) 70–78.
- [54] Maiza P. J., Pieroni D., Marfil S. A., "Geochemistry of hydrothermal Kaolins in the SE area of Los Menucos, Province of Rio Negro, Argentina", *Clay Odyssey Elsevier*, Amsterdam (2001) 123-130.
- [33] Nesbitt H. W., Wilson R. E., "Recent chemical weathering of basalts", *American Journal of Science*, 292 (1992) 740-777.
- [34] Marques J.J., Schulze D., Curi N., Mertzman S., "Major element geochemistry and geomorphic relationships in Brazilian Cerrado soils", *Geoderma*, 119 (2004) 179 – 195
- [35] Price B.J., "Minor element in pyrites from the Smithers Map Area, British Columbia and Exploration Applications of Minor element Studies (doctoral dissertation)". Vancouver: Columbia University, (1972).
- [36] Zhou Jiaxi, Huang Zhilong, Zhou Guofu, Li Xiaobiao, Ding Wei, Bao Guangping, "Trace elements and rare earth elements of Sulfide minerals in the Tianqiao Pb-Zn ore deposit, Guizhou province, China". *Acta Geologica Sinica*, 85(2011) 189-199.
- [37] Muchangos A., "The mobility of rare-earth and other elements in the process of alteration of rhyolitic rocks to bentonite (Lebombo Volcanic Mountainous Chain, Mozambique)", *Journal of Geochemical exploration*, 88 (2006) 300-303.
- [38] Panahi A., Young G. M., Rainbird R. H., "Behavior of major and trace elements (including REE) during Paleoproterozoic pedogenesis and diagenetic alteration of an Archean granite near Vill Marie, Quebec, Canada" *, Geochimica et Cosmochimica Acta*, 64 (2000) 2199-2220.
- [39] Barnett M.O., Jardine P.M., Brooks S.C., Selim H.M., "Adsorption and transport of uranium (VI) in subsurface media", *Soil Science Society of America Journal*, 64 (2000) 908-917.
- [40] Wood S. A., "The aqueous geochemistry of the rare earth elements and yttrium: 2. Theoretical prediction of speciation in hydrothermal solutions to 350°C at saturation water vapor pressure", *Chemical Geology*, 88 (1990) 99-125.
- [41] Haas J. R., Shock E. L., Sassani D. C., "Rare earth elements in hydrothermal systems: estimates of standard partial molal thermodynamic properties of aqueous complexes of the rare earth elements at high pressures and temperatures", *Geochimica Cosmochimica Acta*, 59 (1995) 4329-4350.
- [42] Abdioğlu E., Arslan M., Kadir S., Temizel İ., "Alteration mineralogy, lithochemistry and stable isotope geochemistry of the Murgul (Artvin, NE Turkey) volcanic hosted massive sulfide deposit: implications for the alteration age and ore forming fluids", *Ore Geology Reviews*, 66 (2015) 219-242.